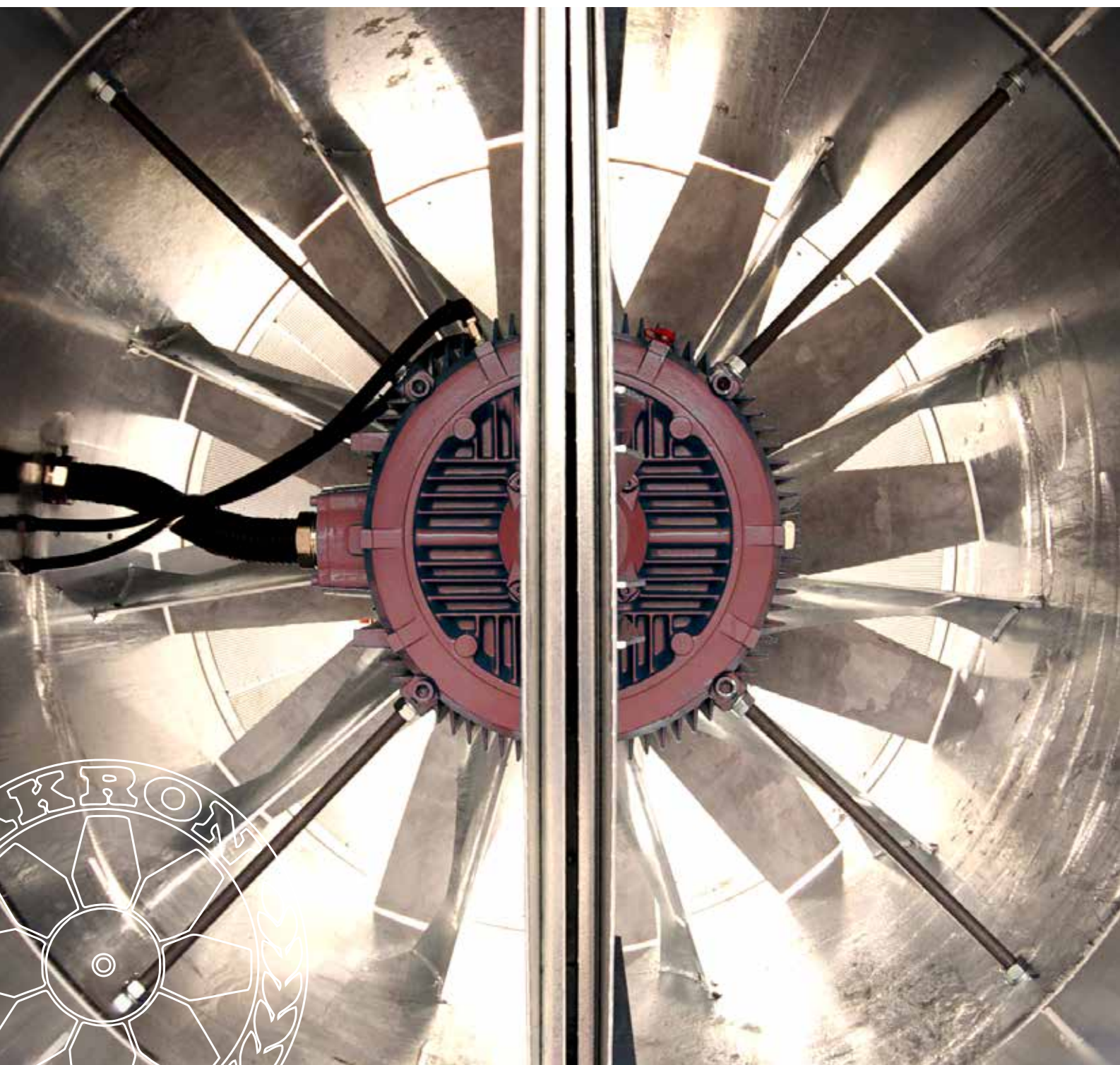


AKRON

Fläktlösningar ▪ *Fan solutions*







Luft. Det mest undflyende av de fyra elementen. Den tar varje möjlighet att smita genom minsta läcka och tar alltid minsta motståndets väg. Den är i princip osynlig, ändå är dess existens tydlig och nödvändig för alla landlevande varelser. Trots ringa massa kan den ändå fälla skogar och flytta sanddyner.

På Akron har vi ägnat de senaste sextio åren åt att bemästra luftens flöde. Vi har lagt tiotusentals timmar på forskning och utveckling av fläktteknologi, på design av bladprofiler, på optimering och modularisering av fläktar och tillbehör. Idag har vi ett av marknadens absolut bredaste och mest omfattande utbud av fläktar för industriella applikationer. Oavsett om du är i behov av en bris eller full storm har vi fläkten för dig.

Air. The most elusive of the four elements. It uses every opportunity to escape through the smallest leak and always takes the path of least resistance. Although never seen, it is felt and needed by every living thing above sea level. Without much weight, it can still fell forests and move deserts.

At Akron, we have devoted the past 60 years to master the flow of air. We have put tens of thousands of hours into research and development of fan technology, of blade profile design, optimisation and modulisation of fans and auxiliary technology. Today, we have one of the widest and most comprehensive ranges of industrial fans on the market. No matter if you require a breeze or a full storm - we have the fan for you.



Akron har levererat högeffektiva fläktlösningar för lantbruk och industriella processer sedan 1950-talet. Egen forskning, utveckling och tillverkning ger oss ojämförbara möjligheter att optimera för varje kunds särskilda behov, med bibehållen högsta kvalitet, tillgänglighet och funktion. Vi har en stark miljöprofil och är helt självförsörjande på såväl värme som elenergi.

Akron has delivered high-efficiency fan solutions to agricultural and industrial processes since the 1950s. Proprietary research, development and manufacturing allows for unparalleled ability to optimise for every customer's individual needs, following the highest standards for quality, availability and functionality. We have a strong environmental profile and are completely self-supporting regarding both heat and electricity.

Tillämpliga standarder och direktiv

Applicable standards and directives

Akrons produkter utvecklas, testas och tillverkas i enlighet med bl a följande standarder.

Akron's products are designed, tested and manufactured in conformance to e g the standards below.

Kvalitet och produktion / Quality and production

- | | |
|-----------------|---|
| ISO 9001 | Ledningssystem för kvalitet - krav <i>Quality management systems - requirements</i> |
| ISO 3834 | Kvalitetskrav för smältsvetsning av metalliska material <i>Quality requirements for fusion welding of metallic materials</i> |
| ISO 1090 | Utförande av stål- och aluminiumkonstruktioner <i>Execution of steel structures and aluminium structures</i> |

Prestanda / Performance

- | | |
|-----------------|---|
| ISO 5801 | Industrifläktar - Kapacitetsprovning med standardiserade luftvägar <i>Industrial fans - Performance and testing using standard airways</i> |
|-----------------|---|

Akustik / Acoustics

- | | |
|-----------------|---|
| ISO 3741 | Bestämning av ljudeffektnivåer för bullerkällor - Precisionsmetoder för bredbandskällor i efterklangsrum <i>Determination of sound power levels of noise sources - Precision methods for broad-band sources in reverberation rooms</i> |
|-----------------|---|

Balansering och vibrationer / Balancing and vibrations

- | | |
|------------------|--|
| ISO 1940 | Balanseringskrav på rotorer i stabilt (styvt) läge <i>Balance quality requirements for rotors in a constant (rigid) state</i> |
| ISO 10816 | Mätning och bedömning av maskinvibrationer på icke-roterande delar <i>Evaluation of machine vibration by measurements on non-rotating parts</i> |
| ISO 14694 | Industrifläktar - Specifikationer för balansering och vibrationsnivåer <i>Industrial fans - Specifications for balance quality and vibration levels</i> |

Explosiv miljö ATEX / Explosive environment ATEX

- | | |
|-----------------|---|
| EN 14986 | Konstruktion av fläktar för explosionsfarlig miljö <i>Design of fans working in potentially explosive environments</i> |
| EN 1127 | Förhindrande av och skydd mot explosion <i>Explosion prevention and protection</i> |
| EN 13463 | Icke-elektrisk utrustning avsedd för användning i explosiv atmosfär <i>Non-electrical equipment for use in potentially explosive atmospheres</i> |

Direktiv / Directives

- | | |
|--------------------|--|
| 2006/42/EC | Maskindirektivet <i>Machinery directive</i> |
| 2006/95/EC | Lågspänningsdirektivet <i>Low voltage directive</i> |
| 2004/108/EC | EMC-direktivet <i>EMC directive</i> |
| 94/9/EC | ATEX-direktivet <i>ATEX directive</i> |



Luftflöde och tryckförluster i system *Air flow and pressure losses in systems*

Ett systems olika tryckförluster kan delas in i två typer beroende på ursprung:

Formförluster är lokala och uppstår vid böjar, areaändringar, spjällblad, galler, motorbryggor mm där formen av det som luften strömmar i eller runt orsakar ett motstånd.

Friktionförluster uppstår när luftmolekyler strömmar längs en yta och bromsas på grund av friktion. Vid stor ytråhet blir friktionförlusten stor.

Båda typerna av tryckförlust växer med hastigheten. Vid mycket långsam, laminär, strömning står tryckförlusten i direkt proportion till lufthastigheten ($\Delta p \sim v$) och vid normal, turbulent, strömning till lufthastigheten i kvadrat ($\Delta p \sim v^2$).

Systemets sammanlagda tryckförlust fås genom att addera de ingående lokala förlusterna. Varje lokal förlust är beroende av den hastighet som råder vid den aktuella störningen.

Den sammanlagda tryckförlusten i en anläggning kan beskrivas med hjälp av en kurva i ett tryck-flödesdiagram - en så kallad "systemlinje". Den punkt där en fläktkurva och en systemlinje korsar varandra visar vilket tryck och flöde man får med den valda fläkten.

The different pressure losses of a system can be divided into two types depending on origin:

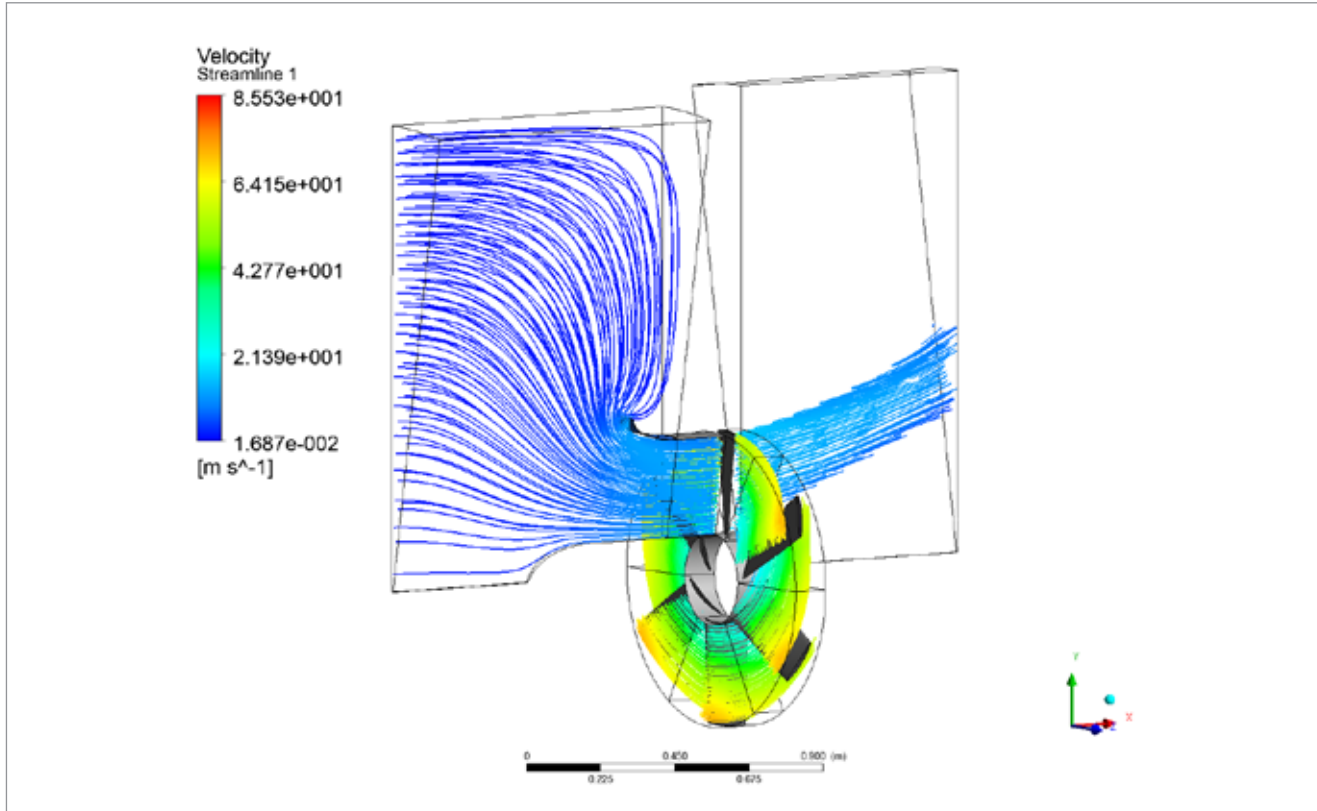
Element losses are losses due to bends, area changes, dampers, inlet grids, motor attachments etc., where the shape of the obstacle which the air flows in or around determine the size of the loss.

Friction losses are caused by the friction of air molecules flowing along a surface. A large surface roughness will result in a large friction loss.

Both types of loss increase with the flow rate. If the flow rate is very low and laminar, then the pressure loss is proportional to the velocity of the fluid. If the flow rate is normal and turbulent, the pressure loss will instead be proportional to the square of the velocity.

The sum of the pressure losses in a system is obtained by adding all the contributions of each component in the system. Each component of the loss depends on the local velocity.

The sum can be described by a curve in a pressure-flow diagram and is called a "system line". The point where a fan curve crosses a system line determines the pressure and flow that is obtained with the chosen fan.



Fläktteori

I fläktar, liksom i kompressorer och pumpar, tillförs energi till fluiden (gasen eller vätskan). Energi tillförseln gör att trycket och temperaturen ökar. Temperaturökningen är önskad och därför ett mått på förlusterna i maskinen. Det nyttiga energitillskottet till luften som passerar genom en fläkt består enbart av tryckökning. Tryckökningen – ”tryckuppsättningen” – i en fläkt är så liten i förhållande till atmosfärtrycket att densitetsökningen kan försummas.

Fläktens tryckuppsättning behövs för att åstadkomma önskat flöde och övervinna de motstånd som uppstår i det system där fläkten är installerad. Man kan skapa ett högt tryck vid systeminloppet med hjälp av en tryckande fläkt eller ett lågt tryck vid systemutloppet med hjälp av en sugande fläkt. Beroende på lösning får man ett övertryck eller ett undertryck i systemet.

Till motståndet i systemet kommer motståndet i och runt själva fläkten. En bra installation har både låga interna fläktmotstånd (inga hinder inbyggda i själva fläkten) och låga externa montagemotstånd (inga hinder på väg in i eller ut ur fläkten). Beroende på hur installationen ser ut kan ett och samma fläkthjul därför leverera olika stor nyttig tryckuppsättning till systemet.

Fan theory

In fans as well as in compressors and pumps, energy is added to the fluid (the gas or liquid). The addition of energy causes an increase in pressure and temperature. The temperature increase is undesirable and hence a measure of losses in the machine. The useful energy in the air passing through a fan consists of pressure only. Compared with the atmospheric pressure, the pressure increase in a fan is so small that the density increase can be neglected.

The pressure rise is needed to achieve a desired flow rate and to overcome the flow resistances present in the system where the fan is installed. It is possible to create a high pressure at the system inlet by using an upstream fan, or a low pressure at the system outlet by using a downstream fan. Depending on the chosen solution, the system either operates at over- or underpressure.

In addition to the resistance in the system, there is a resistance within and in the vicinity of the fan itself. A good installation has both low internal fan losses (no obstacles internally in the fan casing) as well as low entrance and exit losses (no obstacles in the fan inlet or outlet). Depending on the installation, one impeller can achieve different pressure raises to a system.

Fläktlagarna

Det är inte praktiskt möjligt att prova fram prestanda för varje fläktstorlek och vid varje varvtal som fläkten kan användas. Det är inte heller möjligt att simulera alla tänkbara variationer av inkommende lufts densitet.

Istället kan Fläktlagarna nedan användas för att räkna fram prestanda för andra storlekar, varvtal och densiteter än vad fallet var vid provtillfället. Dessa lagar används mest för att beräkna ändringar av flöde, tryckökning och effektbehov då storlek, varvtal eller densitet ändras.

The fan laws

It is not possible in practice to test the performance of every size of fan at all rotational speeds at which it may be applied. Nor is it possible to simulate every inlet air density which may be encountered.

Instead, by using the Fan Laws below, it is possible to accurately calculate the performance of a fan at other sizes, speeds and air densities than those of the original rating tests. These laws are most often used to calculate changes in flow rate, pressure rise and required power of a fan when the size, rotational speed or air density is changed.

| Fläktlagarna ▪ The fan laws | | |
|--|---|--|
| Likformighetslagarna <i>Uniformity laws</i> | $q \sim D^3$ | Flödet [q] är relativt till fläktens diameter [D] upphöjd till 3. <i>Air flow [q] relates to the fan diameter [D] to the power of 3.</i> |
| | $\Delta p \sim D^2$ | Tryckökningen över fläkten [Δp] är relativ till fläktens diameter [D] upphöjd till 2. <i>The pressure rise over the fan [Δp] relates to the fan diameter [D] to the power of 2.</i> |
| | $P \sim D^5$ | Effektbehovet [P] är relativt till fläktens diameter [D] upphöjd till 5. <i>Required power [P] relates to the fan diameter [D] to the power of 5.</i> |
| Varvtslagslagarna <i>Rotational speed laws</i> | $q \sim n$ | Flödet [q] är relativt till fläktens varvtal [n]. <i>Air flow [q] relates to the fan rotational speed [n].</i> |
| | $\Delta p \sim n^2$ | Tryckökningen över fläkten [Δp] är relativ till fläktens varvtal [n] upphöjt till 2. <i>The pressure rise over the fan [Δp] relates to the fan rotational speed [n] to the power of 2.</i> |
| | $P \sim n^3$ | Effektbehovet [P] är relativt till fläktens varvtal [n] upphöjt till 3. <i>Required power [P] relates to the fan rotational speed [n] to the power of 3.</i> |
| Densitetslagarna <i>Density laws</i> | $\Delta p \sim r$ | Tryckökningen över fläkten [Δp] är relativ till luftens densitet [r]. <i>The pressure rise over the fan [Δp] relates to the density of the air [r].</i> |
| | $P \sim r$ | Effektbehovet [P] är relativt till luftens densitet [r]. <i>Required power [P] relates to the density of the air [r].</i> |
| Kombinationer av fläktlagarna <i>Combinations of fan laws</i> | $q \sim n \times D^3$ | Flödet [q] är relativt till varvtalet [n] gånger fläktens diameter [D] upphöjd till 3. <i>Air flow [q] relates to the fan rotational speed [n] times the fan diameter [D] to the power of 3.</i> |
| | $\Delta p \sim n^2 \times D^2 \times r$ | Tryckökningen över fläkten [Δp] är relativ till varvtalet [n] upphöjt till 2, multiplicerat med fläktens diameter [D] upphöjt till 2, multiplicerat med luftens densitet [r]. <i>The pressure rise over the fan [Δp] relates to the fan rotational speed [n] to the power of 2, multiplied with the fan diameter [D] to the power of 2, multiplied with the air density [r].</i> |
| | $P \sim n^3 \times D^5 \times r$ | Effektbehovet [P] är relativt till varvtalet [n] upphöjt till 3, multiplicerat med fläktens diameter [D] upphöjt till 5, multiplicerat med luftens densitet [r]. <i>Required power [P] relates to the fan rotational speed [n] to the power of 3, multiplied with the fan diameter [D] to the power of 5, multiplied with the air density [r].</i> |

Exempel på användande av likformighetslagarna :

En fördubbling av diametern [D] ger 8 gånger så stort flöde [q]. Samma fördubbling resulterar i 32 gånger så stort effektbehov [P].

Exempel på varvtslagslagarna : En fördubbling av varvtalet ger en fördubbling av flödet [q] och 4 gånger så stor tryckökning över fläkten [Δp].

Example use of the uniformity laws : Doubling the diameter [D] results in 8 times the air flow [q]. The same doubling results in an increase in the required power [P] by 32 times.

Example use of the rotational speed laws : Doubling the fan speed [n] results in doubling of the air flow [q] and 4 times the pressure change over the fan [Δp].

Fläktdiagram

De redovisade diagram där fläktens tryckuppsättning benämns " Δp_s " eller " Δp_{stat} " gäller för installationsfall "A" och "C", dvs för fläktar som transporterar luft till kammar. " Δp_s " är totaltrycksskillnaden mellan en punkt uppströms fläkten och en punkt i kammaren nedströms fläkten. De diagram där fläktens tryckuppsättning benämns " Δp_t " eller " Δp_{tot} " gäller för installationsfall "B" och "D", dvs för fläktar som transporterar luft till kanaler. " Δp_t " är totaltrycksskillnaden mellan en punkt uppströms fläkten och en punkt i kanalen nedströms fläkten. Installationsfallen A-D beskrivs i detalj i standarden ISO 5801.

I vissa fläktdiagram visas ett antal numrerade linjer "L" som korsar själva fläktkurvan. Linjerna, som är andragradskurvor ($\Delta p \sim v^2$), kallas arbetslinjer eller systemlinjer. Vid dämda punkten, där flödet är noll, är också $L=0$. I det fall tryckuppsättningen är lika med dynamiska trycket vid fläktutloppet är $L=10$. Axialfläktar arbetar med bäst verkningsgrad vid stora luftflöden, normalt vid $L \geq 4$.

Akrons fläktdiagram gäller för luftdensitet $1,2\text{kg/m}^3$, dvs vid havsnivå, 20°C och 50% relativ fuktighet. Fläktens luftflöde och verkningsgrad påverkas ej av avvikande densitet, ändå är tryckuppsättning och effektbehov proportionella mot densiteten.

Använd tabellen nedan för att korrigera för avvikande densitet baserat på höjd över havet och temperatur.

Fan performance diagrams

Fan performance diagrams where the fan pressure raise is denoted " Δp_s " or " Δp_{stat} " apply to installation categories "A" and "C", i.e. for fans transporting air to chambers. " Δp_s " is the total pressure difference between a point upstream of the fan and a point in the chamber downstream of the fan. Fan pressure raises denoted " Δp_t " or " Δp_{tot} " apply to installation categories "B" and "D", i.e. for fans transporting air to ducts. " Δp_t " is the total pressure difference between a point upstream of the fan and a point in the duct downstream of the fan. The installation categories A-D are described in detail in the ISO 5801 standard.

In some diagrams, a number of lines "L" that cross the fan curves are shown. These lines are quadratic curves ($\Delta p \sim v^2$), and are called system lines. When $L = 0$, the flow rate is zero, and if the pressure rise is equal to the dynamic pressure at the outlet, $L = 10$. Axial fans work at highest efficiency at large flow rates, $L \geq 4$ typically.

Akron fan performance diagrams are valid for air density $1,2\text{kg/m}^3$, i. e. at sea level, 20°C and 50% relative humidity. Air flow and fan efficiency are not affected by deviating density, however both pressure rise and required power are proportional to the air density.

Use the table below to make corrections for deviating density based on temperature and altitude.

| Korrektionsfaktorer för avvikande temperatur och höjd över havet ▪ Correction factors for deviating temperature and altitude | | | | | | | | | | | | | |
|--|-------|-------|-------|-------|-------|-------|----------|-------|-------|-------|-------|-------|-------|
| | -40°C | -30°C | -20°C | -10°C | 0°C | 10°C | 20°C | 40°C | 60°C | 80°C | 100°C | 150°C | 200°C |
| - 2 000 m | 1,586 | 1,520 | 1,460 | 1,405 | 1,353 | 1,306 | 1,261 | 1,180 | 1,110 | 1,047 | 0,991 | 0,874 | 0,781 |
| - 1 000 m | 1,414 | 1,356 | 1,302 | 1,253 | 1,207 | 1,164 | 1,124 | 1,053 | 0,989 | 0,933 | 0,883 | 0,779 | 0,697 |
| Sea level | 1,257 | 1,206 | 1,158 | 1,114 | 1,073 | 1,035 | 1 | 0,936 | 0,880 | 0,830 | 0,786 | 0,693 | 0,620 |
| 1 000 m | 1,115 | 1,069 | 1,027 | 0,988 | 0,952 | 0,918 | 0,887 | 0,830 | 0,780 | 0,736 | 0,697 | 0,614 | 0,550 |
| 2 000 m | 0,986 | 0,946 | 0,909 | 0,874 | 0,842 | 0,812 | 0,812 | 0,734 | 0,690 | 0,651 | 0,616 | 0,544 | 0,486 |
| 3 000 m | 0,870 | 0,834 | 0,801 | 0,771 | 0,743 | 0,716 | 0,692 | 0,648 | 0,609 | 0,574 | 0,544 | 0,479 | 0,429 |
| 4 000 m | 0,765 | 0,733 | 0,704 | 0,678 | 0,653 | 0,630 | 0,608 | 0,569 | 0,535 | 0,505 | 0,478 | 0,421 | 0,377 |

Exempel: En fläkt skall ge 1100Pa vid arbete 1 000m under havsytan vid temperaturen 0°C . Korrektionsfaktorn blir då 1,207. Luftdensiteten är alltså 20,7% högre än vad som gäller i fläktdiagrammen. Motsvarande tryck vid havsytan och 20°C blir då $1100 / 1,207 = 911\text{Pa}$. Sök alltså i fläktdiagrammet efter en fläkt som ger 911Pa vid $1,2\text{kg/m}^3$. Axeleffekten som erhålls ur diagrammet måste sedan ökas i samma grad (+20,7%) för att motorn skall bli rätt dimensionerad.

Example: The desired pressure from a fan is 1100Pa at 1 000m below sea level and 0°C . The correction factor then is 1,207. Thus the air density is 20,7% higher than what applies to the fan diagrams. The comparable pressure at sea level and 20°C is then $1100 / 1,207 = 911\text{Pa}$. Find a fan in the diagram that gives 911Pa at $1,2\text{kg/m}^3$. Note that the shaft power given in the diagram must be increased by the same factor (+20,7%) for the correct dimensioning of the motor.

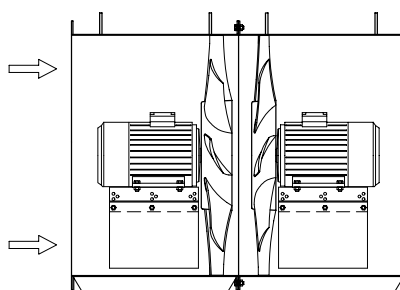
Fläktar i paralleldrift

Om man vill åstadkomma ett stort luftflöde i en anläggning med lågt motstånd kan man låta två eller flera fläktar arbeta parallellt sida vid sida. Alla fläktar i anläggningen arbetar då mot samma tryck men fläktarnas flöde adderas till varandra. Genom att i ett fläktdiagram för varje tryckuppsättning fördubbla en fläkts flöde får man en ny fläktkurva som gäller för två likadana parallellt monterade fläktar. Den nya fläktkurvan, för två parallellt monterade fläktar, korsar anläggningens systemlinje vid ett påtagligt större flöde och ett något större tryck än vad den ursprungliga fläktkurvan (för en fläkt) gör.

Fläktar i seriell drift

Om man vill övervinna ett stort motstånd i en anläggning där behovet av flöde är måttligt kan man låta två eller flera fläktar arbeta i serie efter varandra. Alla fläktar i anläggningen arbetar då med samma flöde men fläktarnas totaltryckuppsättningar adderas till varandra. Genom att i ett fläktdiagram för varje flöde fördubbla en fläkts tryckuppsättning får man en ny fläktkurva som gäller för två likadana seriellt monterade fläktar. Den nya fläktkurvan, för två seriellt monterade fläktar, korsar anläggningens systemlinje vid ett något större flöde och ett påtagligt större tryck än vad den ursprungliga fläktkurvan (för en fläkt) gör.

När luften passerat genom det första fläktsteget är strömningen inte helt axiell utan luftens väg framåt går i en skravformad bana. Det andra fläktsteget kan utformas så att det på ett optimalt sätt fångar upp den skravformade luftströmmen och detta görs då med hjälp av ett kontraroterande fläkthjul. Akron tvåstegsfläktar AKD, där de två fläkthjulen är av olika typ är utformade på detta sätt.



Alternativt kan det mellan fläktstegen monteras ledskenor som på ett optimalt sätt fångar upp den skravformade luftströmmen och riktar om den till i det närmaste axiell riktning. De två fläkthjulen är då av samma typ och har samma rotationsriktning. Eftersom fläkthjulet i det andra medrotterande fläktsteget går något lättare är det vanligen

Fans operating in parallel

If it is desirable to achieve a large flow rate in a setup with a low flow resistance, one option is to let two or more fans work in parallel. All fans in the setup will then work against the same counter pressure, but the individual flows of the fans will be added to each other. By doubling the fan's flow rate for each pressure in a fan diagram, a new fan curve, which applies to two identical fans mounted in parallel, is obtained. The fan curve for two fans operating in parallel will cross the plant's system line at a considerably larger flow and a somewhat greater pressure than the original curve (for one fan) does.

Fans operating in series

If it is desirable to overcome a large counter pressure in a setup where the flow rate is modest it is possible to let two or more fans work in series. All fans in the setup will then work at the same flow rate, but the fans' individual pressure rises will be added to each other. By doubling the fan's total pressure rise for each air flow in a fan diagram, a new fan curve is obtained, which applies to two serially mounted identical fans. The fan curve for two serially mounted fans will cross the plant's system line at a somewhat larger flow and a considerably greater pressure rise than the original fan curve (for one fan) does.

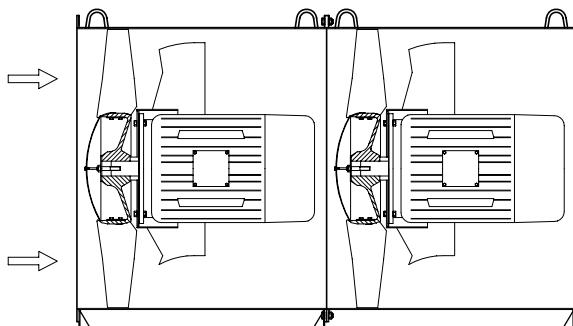
Once the air has passed the first fan, the air stream is no longer fully axial, but moves in a spiral pattern. The second fan can be arranged so that it takes this into account and uses the spiraling air stream in an optimal manner. This is achieved by using a counter-rotating impeller. The Akron two-stage fans AKD with different impellers are designed in this way.

Akron AKD med kontraroterande fläkthjul. För högsta verkningsgrad matchas de båda fläktenheterna mot varandra.

Akron AKD with counter-rotating impellers. The two fan units are designed to match each other for optimal efficiency.

Alternatively, guide vanes that straighten the flow can be mounted after the first impeller. In these cases both impellers can co-rotate and be of the same type. Since the downstream impeller in a co-rotating setup runs at a lower load it is usually compensated with a higher blade pitch angle or run at a higher rotational speed.

kompenserat med en något högre bladvinkel eller ett något högre varvtal. Akron fläktar AGM, AGH och AGX har inbyggda ledskenor och kan seriemonteras som de är.



The Akron AGM, AGH and AGX fans are equipped with built-in guide vanes and can be mounted in series without modification.

Två Akron AGM monterade seriellt. Ledskenorna efter det första fläktjulet rätar upp luftströmmen för att optimera nästkommande fläktjuls arbete.

Two Akron AGM in series. The guide vanes after the first impeller straightens the air flow for optimal performance of the second impeller.

Startmetoder och varvtalsreglering

Direktstart

Billig och enkel - startströmmen är 6-8 ggr märkströmmen vilket kan försaka nättörningsproblem. Små kortslutna motorer, normalt upp till 4,0 kW, startas ofta med direktstart. Vid eget nät kan betydligt större effekter direktstartas.

Y/D-start

Med Y-koppling minskar startströmmen till ca 30% jämfört med direktstart och startmomentet reduceras till ca 25%. Allt för låga startmoment ger långa startförlopp och kan försaka avsevärd motoruppvärmning. Vid oftentligt nät använder man normalt Y/D-start för motorer från och med 5,5 kW.

Frekvensomriktare

Frekvensreglering är vanligen det bästa sättet att varvtalsreglera och starta en fläkt. Fördelarna med frekvensomriktaren är bl a att energibesparingen blir stor vid låga varvtal. Under 20 Hz kan dock kylningsproblem, och under 10 Hz kan magnetiseringssproblem som ger hackig drift uppstå. Exakt frekvens då sådana problem uppstår skiljer mellan olika motorer och frekvensomriktare.

Frekvensomriktare kan behöva kompletteras med filter för att ej ge upphov till störningar på nätet och eventuellt även ett bromsmotstånd för att skydda omriktaren mot retardationskrafter.

Vid frekvensreglering bör motorns lindningar förses med termokontakter eller termistor för att undvika överhettning. Vid högre spänning än normalt, t.ex. 690V, behöver motorn vanligen förses med förstärkt lindningsisolering.

Starting methods and speed control

Direct on line, DOL

Inexpensive and simple, starting current is 6-8 times greater than the motor rating which may cause disturbance in the mains. Small motors, normally up to 4,0 kW, are commonly DOL started. Considerably larger motors can be DOL started if connected to a private net.

Star-Delta S/D-start

When starting a star-connected motor the starting current is reduced to about 30% compared to DOL and the starting torque is reduced to about 25%. Too low starting torque prolong the starting time and may lead to excessive heating of the motor. In public nets it is common to use S/D-starters on motors from 5,5 kW and up.

Frequency converter

Frequency control is generally the best method of speed control and start up of a fan. Benefits include large energy savings at lower speeds. Cooling problems may occur below 20 Hz and magnetization problems below 10 Hz. Exact frequencies where such problems occur differ between different motors and frequency converters.

Frequency converters may need to be fitted with a filter not to cause disturbance in the mains and/or a braking resistance to protect the converter from retardational forces.

When using a frequency converter the motor windings should be fitted with thermo contacts or thermistors to prevent overheating. When using a converter at higher voltage than normally, e.g. 690V, the motor normally needs reinforced winding insulation.

Akustik

Ljudeffekt (enhet Watt) i form av vibrationer tillförs luften runt fläkten. Beroende på bl a avstånd från fläkten, fläktens placering samt omgivningens ljudabsorption ger ljudeffekten upphov till olika stora ljudtryck (enhet Pascal). Ljudtrycket anger storleken på de svängningar som sätter t ex trumhinnan i rörelse. Ljudeffekten och ljudtrycket presenteras oftast som logaritmiska värden, de kallas då ljudeffektnivå (L_w) respektive ljudtrycksnivå (L_p). Båda har enheten dB.

Det mänskliga örat fungerar bra runt 2000 Hz men har begränsad känslighet för både högre och lägre frekvenser. Vid beräkningar efterliknar man örat genom att låta ljudet filtreras, vanligen med ett A-filter. Det värde som erhålls då ljudtrycksnivån justeras med A-filtret kallas ljudnivå (L_{pA}) med enhet dB(A).

Acoustics

Sound power (unit Watts) in the form of audible air vibrations is caused by the fan. Depending on e.g. the distance to and placement of the fan unit and the sound absorption by the environment, sound power causes sound pressure (unit Pascal) around the fan. Sound pressure relates to the amplitude of the oscillations making the eardrum vibrate. Sound power level (L_w) and sound pressure level (L_p) are logarithmic values with the unit dB.

The human ear is specialised in amplifying frequencies around 2000Hz, for higher and lower frequencies it becomes less sensitive. The A-filter is commonly used to replicate the ear mathematically. A filtered sound pressure level is called sound level (L_{pA}), unit dB(A).

| Dämpning för A-filter ▪ A-filter reduction | | | | | | | | | Hz |
|--|-----|-----|-----|-----|----|----|----|----|----|
| Frekvens Frequency | 63 | 125 | 250 | 500 | 1k | 2k | 4k | 8k | Hz |
| Dämpning Reduction | -26 | -16 | -9 | -3 | 0 | +1 | +1 | -1 | dB |

Ljudredovisning i fläktdiagram

Ljudmätningar i Akrons laboratorium görs i enlighet med ISO 3741. De i diagrammen presenterade bullevärdena avser fläktens totala avgivna ljudeffektnivå L_{Wtot} (dB) utan avdrag för A-filter. Korrektionsfaktorer för oktavbandsuppdelning presenteras i tabeller vid diagrammen.

Beräkning av ljudnivå

Ljudnivån beräknas genom att omvandla ljudeffektnivå till ljudtrycksnivå och sedan justera med A-filtret. Skillnaden mellan L_w och L_p , ΔL , utläses ur diagrammet nedan. A-filtret dras ifrån i varje oktavband varefter oktavbandsvärdena från 125-8000 Hz summeras logaritmiskt ($L_p = 10 \log [10^{0,1 \times L_{p125}} + 10^{0,1 \times L_{p250}} + \dots + 10^{0,1 \times L_{p8k}}]$). 63Hz-bandet behöver ej ingå i beräkningen.

Ljuddämpare har olika dämpningsförmåga beroende på storlek, material och konstruktion. Dämpningen är olika i de olika frekvensbanden precis som A-filtret. Denna dämpning dras ifrån i varje oktavband innan den logaritmiska summeringen görs.

Presentation of fan noise in diagrams

Noise measurements in Akron's laboratory are according to ISO 3741. The noise levels presented in the diagrams refer to the total sound power level L_{Wtot} (dB) emitted from the fan, without A-filter reduction. Correction factors for conversion to octave bands can be found in tables by the diagrams.

Sound level calculation

The sound level is calculated by converting sound power level to sound pressure level and then applying the A-filter. The difference between L_w and L_p , ΔL , is read from the diagram below. Apply the A-filter to each octave band and calculate the sound level by logarithmic summation ($L_p = 10 \log [10^{0,1 \times L_{p125}} + 10^{0,1 \times L_{p250}} + \dots + 10^{0,1 \times L_{p8k}}]$). Note that the 63Hz range does not need to be included in the calculation.

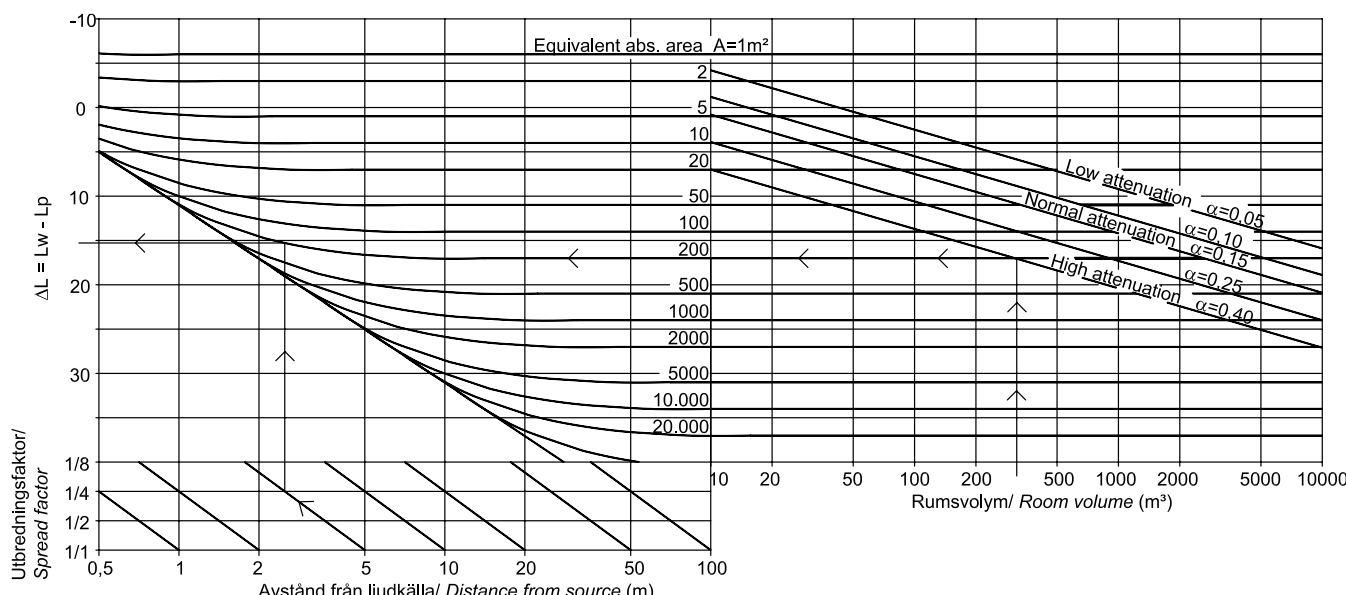
A silencer's ability to reduce noise depends on size, material and the construction. The attenuation is also different in each octave band. Reduce the sound power level with the attenuation of the silencer before calculating the sound level by logarithmic summation.

Utbredningsfaktorn Q anger hur koncentrerad spridningen av ljudet är. Finns inga hinder och ljudet sprids helt sfäriskt är $Q=1$, men sitter källan på en vägg sprids ljudet bara i en halv sfär, $Q=1/2$, osv.

Den ekvivalenta absorptionsarean A är summan av rummets delytor multiplicerat med respektive absorptionsfaktor α . En helt reflekterande yta har $\alpha=0$ medan $\alpha=1$ är helt absorberande. A kan uppskattas till höger i diagrammet nedan.

The spread factor Q shows the concentration of the sound distribution. When $Q=1$ there are no obstacles and sound is spread spherical in all directions. If the source is placed on a surface, half the sphere is obstructed and $Q=1/2$.

The equivalent absorption area A is the sum of the partial surfaces of the room multiplied with the corresponding absorption factors α . α varies from entirely reflecting 0 to entirely absorbing 1. The right part of the diagram below is used to estimate A.



Exempel: En ljudkälla, $L_{w\text{tot}}=100\text{dB}$, $K_{\text{ok}}=-19,-12,-9,-8,-6,-6,-10,-17$, sitter i vinkeln mellan tak och vägg. Ljudet utbreder sig då i en $1/4$ -sfär från källan. Lokalen är 300 m^3 med väldämpade ytor. Bestäm ljudnivån i en punkt 5 m från ljudkällan.

Till höger i diagrammet bestäms rummets ekvivalenta absorptionsarea till 200 m^2 . Till vänster i diagrammet går man sedan i tur och ordning in med avståndet 5m, utbredningsfaktorn $1/4$ och den ekvivalenta absorptionsarean 200 m^2 och avläser ΔL till 15dB .

Ljudtrycksnivån blir $100-15=85\text{dB}$. Dela med hjälp av K_{ok} upp 85 dB i oktavband och lägg på A-filtret. Summa slutligen alla oktavband logaritmiskt. Slutresultatet i det aktuella fallet blir en ljudnivå på 84 dB(A) .

Example: A sound source with $L_{w\text{tot}}=100\text{dB}$, $K_{\text{ok}}=-19,-12,-9,-8,-6,-6,-10,-17$, is placed in the corner between the ceiling and a wall. The sound is spread in a quarter ($1/4$) of a sphere from the source. The room is 300 m^3 with highly absorbing surfaces. Determine the sound level in a spot 5 m from the source.

The equivalent absorption area is determined to 200 m^2 to the right in the diagram. To the left in the diagram, in turn enter distance 5m, spread factor $1/4$ and equivalent absorption area 200 m^2 and read $\Delta L=15\text{dB}$.

The sound pressure level is $100-15=85\text{dB}$. Use K_{ok} to split the sound pressure level into octaves and then add the A-filter. Calculate the sound level by logarithmic summation of each octave band. The sound level is 84 dB(A) in this case.



**AFC****AFR**

Axialfläktar för vägg- eller modulmontage *Axial flow fan units for wall or modular mount*



Akrons galvaniserade axialfläktar AF för vägg- eller modulmontage, där flera fläktar monteras parallellt, är primärt avsedda för miljöer där normalt korrosionsskydd krävs. AFC har cirkulär ram med fästöron medan AFR är utrustad med en kraftig integrerad kvadratisk montage-ram med infästningspunkter runtom på yttersidor och framsida.

AFC och AFR-chassina erbjuds i 100% galvaniserat ut-förande, typ glv.

AFC och AFR levereras med valfritt Akron axialfläkt- hjul, antingen helgjutet eller justerbart.

AFC och AFR är konstruerade för optimalt arbete vid luftriktning MF (Motor-Fläkt hjul) men kan även användas vid riktning FM (Fläkt hjul-Motor) eller reverserande drift. MF är huvudalternativ, dels för att fläktomfattningen är dysformad och dels eftersom fläkt hjulet, med hjälp av motorbryggan, arbetar med bästa verkningsgrad vid denna luftriktning. MF ger även bättre kylningsgrad vid denna luftriktning.

Väderskydd finns som tillbehör till AFR, såväl med som utan integrerad ljuddämpning.

Beröringsskydd, monterat mellan motor och fläkt hjul, ingår i AFC och AFR. Beröringsskydd på fläkt hjulets motsatta sida (tillbehör) skall finnas om fläkten installeras på ett sätt som gör den sidan åtkomlig.

Akron's galvanised axial fan units AF for wall or modular mount, where a number of units are mounted in parallel, are designed for environments where normal corrosion protection is required. The AFC has a circular frame with mounting lugs while AFR has a strong integrated square mounting frame with attachment points around the outer sides and on the front.

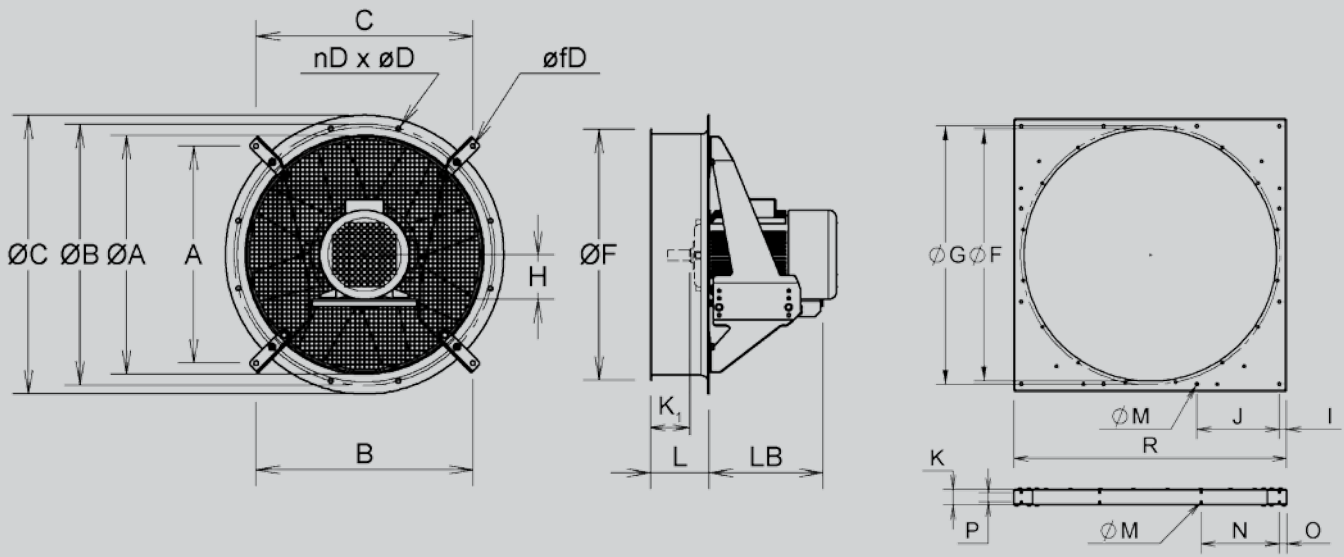
The AFC and AFR casings are offered in 100% galvanized materials, type glv.

AFC and AFR comes with any of Akron's axial impellers, either solid cast or adjustable.

AFC and AFR are designed for optimal operation at MF direction of air (Motor-Fan) but may also be used at FM direction (Fan-Motor) or reversing directions. MF is the main option; Firstly the casing is formed to an inlet nozzle and secondly the impeller, with help from the motor bracket, achieves the best efficiency with this air flow direction. MF also provides better cooling of the motor.

Weather protections are available as accessories for AFR, with or without integrated sound attenuation.

A wire guard, mounted between the motor and the impeller, is included in the AFC and AFR fan units. A wire guard on the opposite side (accessory) must be fitted if the unit is installed in a way that makes that side accessible.



| AF fläktchassi ▪ AF fan casing | | | | | | | | | | | | | | | | | |
|--------------------------------|----------|----------|----------|---------|---------|---------|-----------|----|----------|----------|------------------------|------------------------|---------|----------|----------------------|---------|----------|
| Storlek Size | ØA mm | ØB mm | ØC mm | A mm | B mm | C mm | ØfD mm | nD | ØD mm | ØF mm | H _{min} mm | H _{max} mm | L mm | LB mm | K ₁ mm | t mm | m* kg |
| 050 | 500 | 560 | 600 | 470 | 470 | 470 | 12 | 12 | 12 | 530 | 71 | 112 | 147 | 206,5 | 122 | 3 | 13 |
| 056 | 560 | 620 | 660 | 488 | 488 | 488 | 12 | 12 | 12 | 590 | 71 | 132 | 150 | 286,5 | 125 | 3 | 16 |
| 060 | 600 | 656 | 700 | 545 | 545 | 545 | 12 | 12 | 12 | 630 | 71 | 132 | 150 | 286,5 | 125 | 3 | 16 |
| 063 | 630 | 690 | 730 | 545 | 545 | 545 | 12 | 12 | 12 | 660 | 71 | 132 | 150 | 286,5 | 127 | 3 | 17,5 |
| 071 | 710 | 770 | 810 | 596 | 478 | 715 | 12 | 16 | 12 | 740 | 80 | 132 | 150 | 286,5 | 125 | 3 | 19 |
| 080 | 800 | 860 | 900 | 673 | 539 | 806 | 12 | 16 | 12 | 830 | 80 | 132 | 150 | 286,5 | 125 | 3 | 22 |
| 090 | 900 | 970 | 1000 | 742 | 594 | 890 | 12 | 16 | 12 | 930 | 90 | 132 | 150 | 286,5 | 140 | 3 | 25 |
| 100 | 1000 | 1070 | 1100 | 811 | 650 | 973 | 13 | 16 | 12 | 1030 | 100 | 160 | 195 | 253 | 160 | 3 | 36 |
| 112 | 1120 | 1190 | 1220 | 868 | 585 | 1150 | 13 | 20 | 12 | 1150 | 112 | 180 | 195 | 396 | 160 | 3 | 53 |
| 125 | 1250 | 1320 | 1350 | 955 | 645 | 1265 | 13 | 20 | 12 | 1280 | 132 | 200 | 195 | 452 | 160 | 3 | 57 |
| 140 | 1400 | 1470 | 1500 | - | - | - | - | 20 | 12 | 1430 | 160 | 250 | 225 | 524 | 230 | 4 | - |
| 160 | 1600 | 1680 | 1720 | - | - | - | - | 24 | 12 | 1630 | 160 | 280 | 225 | 614 | 230 | 4 | - |

*) Vikt avser chassis exkl motor och fläkthjul.

*) Weight is for casing excl motor and impeller.

| AFR fläktrum ▪ AFR fan frame | | | | | | | | | | | |
|------------------------------|---------|----------|----------|---------|---------|---------|----------|---------|---------|---------|---------|
| Storlek Size | R mm | ØF mm | ØG mm | I mm | J mm | K mm | ØM mm | N mm | O mm | P mm | m kg |
| 050 | 625 | 540 | 560 | 30 | 142 | 50 | 11 | 175 | 50 | 0 | 10 |
| 056 | 685 | 600 | 620 | 30 | 158 | 50 | 11 | 195 | 50 | 0 | 11 |
| 063 | 755 | 670 | 690 | 30 | 175 | 50 | 11 | 215 | 50 | 0 | 12 |
| 071 | 835 | 750 | 770 | 30 | 240 | 50 | 11 | 245 | 50 | 0 | 13 |
| 080 | 925 | 840 | 860 | 30 | 268 | 50 | 11 | 275 | 50 | 0 | 21 |
| 090 | 1025 | 940 | 970 | 30 | 297 | 50 | 11 | 310 | 50 | 0 | 23 |
| 100 | 1125 | 1050 | 1070 | 30 | 340 | 50 | 11 | 350 | 50 | 0 | 26 |
| 112 | 1270 | 1170 | 1190 | 30 | 335 | 100 | 13 | 350 | 50 | 60 | 29 |
| 125 | 1400 | 1300 | 1320 | 30 | 370 | 100 | 13 | 400 | 50 | 60 | 32 |
| 140 | 1550 | 1450 | 1470 | 30 | 411 | 100 | 13 | 450 | 50 | 60 | 36 |
| 160 | 1750 | 1650 | 1680 | 30 | 523 | 100 | 13 | 500 | 50 | 60 | 40 |

Notera!

- Luftriktning MF (Motor-Fläkt) eller FM (Fläkt-Motor) måste anges vid beställning.
- Bladvinkel på ställbara fläkthjul PFJ1 och PFJ2 optimeras från fall till fall.

Please note!

- Air direction MF (Motor-Fan) or FM (Fan-Motor) must be indicated when ordering.
- Pitch angle for adjustable impellers PFJ1 and PFJ2 can be optimized to fit requested performance.

**AEC****AER**

Reverserbar premiumfläkt, rostfritt chassi *Reversible premium fan, stainless steel*

Akrons unika reverserbara premiumfläkt AEC med cirkulär montagefläns och AER med kvadratisk montageram, med fläkthjul PFe2, har oöverträffad verkningsgrad och energieffektivitet.

Akrons samlade erfarenhet från sextio år inom fläkt-teknik och ett fokuserat utvecklingsteam, som noggrant analyserat alla förlustkällor, har resulterat i kraftiga reduktion av energikostnader vid bl.a. virkestorkning. I normalfallet är motorn i AEC och AER en storlek mindre än vad som behövs i motsvarande traditionella fläkt med samma prestanda. Sortimentet sträcker sig upp till Ø1250 mm och vänder sig till både nyinstallationer och renoveringar där man vill uppdatera till kortare torktid och mindre eleeffekt.

Patenterat fläkthjul

Hjärtat i fläkten är PFe2-fläkthjulets patenterade konstruktion. Bladens profil, ytfinhet och en rad andra optimerande åtgärder ger marknadens i särklass högsta verkningsgrad för reverserbara fläktar och en omedelbar påverkan på driftskostnaden.

Fläktens chassi är utfört i rostfritt stål och är konstruerat för optimal funktion vid reversering, dvs omväxlande luftriktning FM och MF.

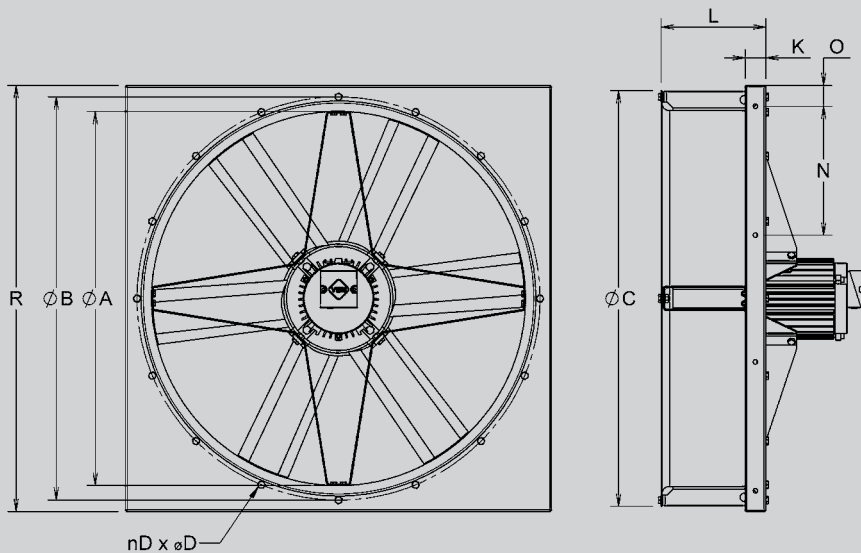
Akron's unique reversible premium fan AEC with circular mounting flange and AER with square mounting frame, with impeller PFe2, has unrivaled efficiency and energy performance.

Akron's overall experience from sixty years in fan technology and a focused development team, who has carefully analyzed all sources of losses, have resulted in the substantial reduction of energy costs at e.g. timber drying. In the normal case the motor in AEC and AER is one size smaller than needed in the corresponding traditional fan with the same performance. The range extends up to Ø1250 mm and is used at new installations as well as renovations where you want to upgrade to shorter drying time and less electric power.

Patented impeller

The heart of the fan is the PFe2-impeller of patented design. The blade's profile, surface finish and a range of other optimization measures provides the market's by far highest efficiency for reversible fans and an immediate impact on operating costs.

The fan casing is made of stainless steel and is designed for optimum performance when reversing. i.e. alternating air directions FM and MF.



| AEC fläktchassi ▪ AEC fan casing | | | | | | | | | | | | | |
|----------------------------------|----------|----------|----------|----|----------|-----------|---------|-----------|-----------|-----------|---------------------------------|--------------|--------------|
| Storlek Size | ØA mm | ØB mm | ØC mm | nD | ØD mm | K** mm | L mm | N** mm | O** mm | R** mm | Motor- storlek Motor Size | AEC m* kg | AER m* kg |
| 071 | 710 | 770 | 810 | 16 | 12 | 50 | 250 | 245 | 50 | 835 | 90-100 | 20 | 28 |
| 080 | 800 | 860 | 900 | 16 | 12 | 50 | 250 | 275 | 50 | 925 | 90-112 | 27 | 30 |
| 090 | 900 | 970 | 1000 | 16 | 12 | 50 | 250 | 310 | 50 | 1025 | 100-132 | 25 | 34 |
| 100 | 1000 | 1070 | 1100 | 16 | 12 | 50 | 250 | 350 | 50 | 1125 | 100-132 | 30 | 46 |
| 112 | 1120 | 1190 | 1220 | 20 | 12 | 50 | 250 | 350 | 50 | 1270 | 112-160 | 35 | 64 |
| 125 | 1250 | 1320 | 1350 | 20 | 12 | 50 | 250 | 400 | 50 | 1400 | 132-160 | 40 | 66 |

*) Vikt avser chassis exkl motor och fläktjul.

**) Måttet avser endast AER.

*) Weight is for casing excl motor and impeller.

**) Dimensions related to AER only.

Motorn i AEC och AER är utvecklad tillsammans med VEM GmbH och uppfyller alla de krav man kan ställa på energisparmotorer för det tuffa klimatet vid bl.a. virkestorkning. Dessutom är motorns upphängning och ytterre utformning designade för eliminering av de luftströmningsförluster som finns i traditionella fläktar.

Beröringsskydd för in- och/eller utloppssida (tillbehör) skall monteras om fläkten installeras på ett sätt som annars gör de rörliga delarna åtkomliga.

The motor in AEC and AER is developed together with VEM GmbH and meets all requirements put on energy saving motors for the tough climate at e.g. timber drying. In addition the motor's suspension and external configuration are designed to eliminate the air flow losses found in traditional fans.

A wire guard for the inlet and/or outlet side (accessory) must be fitted if the fan is installed in a way that would otherwise make the moving parts accessible.

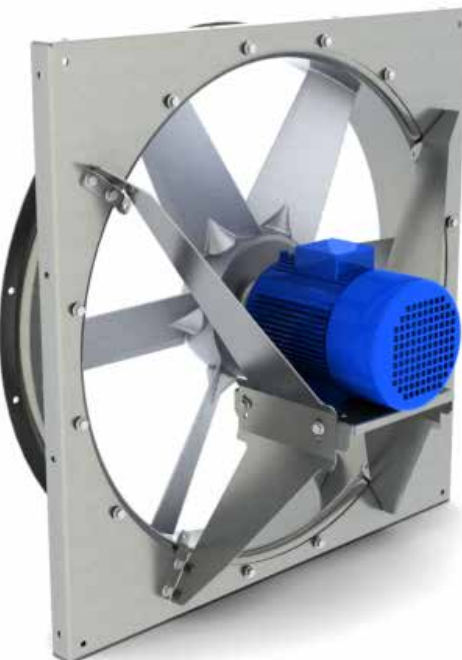
| Kapacitet AEC/AER ▪ Capacities AEC/AER | | |
|--|------------------------------------|--|
| Storlek Size | Rek motorstorlek Rec motor size | Max luftflöde / Max air flow @ 170 Pa / 80°C (200 Pa / 20°C) |
| 071 | 2,2 - 3,0 kW | 5,5 - 6,4 m³/s |
| 080 | 2,2 - 4,0 kW | 6,4 - 8,8 m³/s |
| 090 | 2,2 - 5,5 kW | 7,3 - 11,9 m³/s |
| 100 | 3,0 - 7,5 kW | 9,6 - 15,5 m³/s |
| 112 | 4,0 - 11,0 kW | 12,3 - 20,6 m³/s |
| 125 | 5,5 - 15,0 kW 4pol | 15,2 - 26,5 m³/s |
| 125 | 4,0 - 11,0 kW 6pol | 12,6 - 21,9 m³/s |

Notera!

- Fläktjhulets bladantal och bladvinkel optimeras för varje enskild anläggning.

Please note!

- The impeller's solidity and pitch angle is optimized for each individual plant.

**ACR**

Rostfria axialfläktar för vägg- eller modulmontage *Stainless axial flow fan units for wall or modular mount*

Akrons axialfläkt ACR för vägg- eller modulmontage, där flera fläktar monteras parallellt, är avsedd för miljöer där utökat korrosionsskydd krävs. ACR har en kraftig integrerad kvadratisk montageram med infästningspunkter runtom på yttersidor och framsida.

ACR-chassit erbjuds i 100% rostfritt utförande, typ stl, och kan levereras med valfritt Akron axialfläkthjul, antingen helgjutet eller justerbart. Fläkthjul med justerbara blad finns för både en luftriktning, typ PFJ1 och för reverserande riktning typ PFJ2.

ACR är konstruerat att kunna arbeta optimalt både med en luftriktning och reverserande. I fall med icke reverserande luftriktning kan ACR-fläkten antingen monteras för luftriktning MF (Motor-Fläkthjul) eller FM (Fläkthjul-Motor). MF är huvudalternativ eftersom fläkthjulet då med hjälp av motorbryggan arbetar med bästa verkningsgrad. MF ger även bättre kylningsgrad för motorn; motor utan egen kyfläkt kan oftast användas i detta fall.

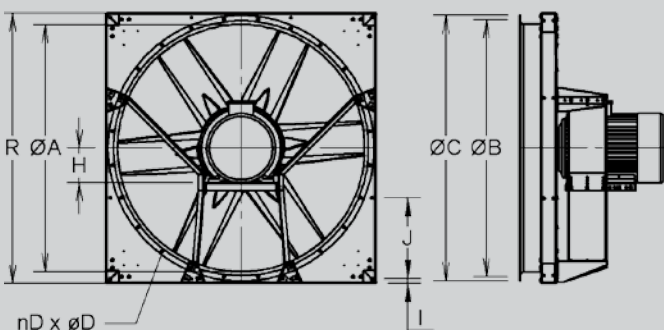
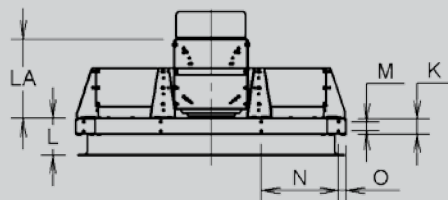
Eventuellt beröringsskydd för in- eller utloppssida är tillbehör. Beröringsskydd skall finnas om fläkten installeras på ett sätt som gör de rörliga delarna åtkomliga.

Akron's axial fan unit ACR for wall or modular mount, where several units are mounted in parallel, is designed for environments where enhanced corrosion protection is required. ACR has a strong integrated square mounting frame with attachment points on the front and on the outer sides.

The ACR casing is offered in 100% stainless steel, type stl and can be delivered with any of Akron's axial impellers, either solid cast or adjustable. Impellers with adjustable blades are available for either single direction of air, type PFJ1 or for reversible directions type PFJ2.

ACR is designed to operate optimally with both single direction of air and reversing. In cases with single direction of air the ACR fan unit can, again, be optionally mounted; Either for direction MF (Motor-Fan) or FM (Fan-Motor) where MF is the main option since the impeller then, with help from the motor bracket, works at the best efficiency. MF also provides better cooling of the motor, a motor without its own cooling fan can most often be used in this case.

Any wire guard for in- or outlet side is an accessory. A wire guard must be fitted if the fan unit is installed in a way that makes the moving parts accessible.



ACR fläktchassi ▪ *ACR fan casing*

| Storlek <i>Size</i> | ØA mm | ØB mm | ØC mm | nD | ØD mm | H _{min} mm | H _{max} mm | I mm | J mm | R mm | t mm | m* kg |
|------------------------|----------|----------|----------|----|----------|------------------------|------------------------|---------|---------|---------|---------|----------|
| 050 | 500 | 560 | 600 | 12 | 12 | 71 | 112 | 30 | 142 | 625 | 3 | 22 |
| 056 | 560 | 620 | 660 | 12 | 12 | 71 | 132 | 30 | 158 | 685 | 3 | 25 |
| 063 | 630 | 690 | 730 | 12 | 12 | 71 | 132 | 30 | 175 | 755 | 3 | 27 |
| 071 | 710 | 770 | 810 | 16 | 12 | 80 | 132 | 30 | 240 | 835 | 3 | 30 |
| 080 | 800 | 860 | 900 | 16 | 12 | 80 | 132 | 30 | 268 | 925 | 3 | 43 |
| 090 | 900 | 970 | 1000 | 16 | 12 | 100 | 160 | 30 | 297 | 1025 | 3 | 52 |
| 100 | 1000 | 1070 | 1100 | 16 | 12 | 100 | 160 | 30 | 340 | 1125 | 3 | 58 |
| 112 | 1120 | 1190 | 1220 | 20 | 12 | 112 | 180 | 30 | 335 | 1270 | 3 | 70 |
| 125 | 1250 | 1320 | 1350 | 20 | 12 | 132 | 200 | 30 | 370 | 1400 | 3 | 80 |
| 140 | 1400 | 1470 | 1500 | 20 | 12 | 160 | 250 | 30 | 411 | 1550 | 4 | 100 |
| 160 | 1600 | 1680 | 1720 | 24 | 12 | 160 | 280 | 30 | 523 | 1750 | 4 | 113 |

*) Vikt avser chassi exkl motor och fläktjhul.

*) Weight is for casing excl motor and impeller.

Notera!

- Luftriktning MF (Motor-Fläkt) eller FM (Fläkt-Motor) måste anges vid beställning.
- Bladvinkel på ställbara fläktjhul PFJ1 och PFJ2 optimeras från fall till fall.

Please note!

- Air direction MF (Motor-Fan) or FM (Fan-Motor) must be indicated when ordering.
- Pitch angle for adjustable impellers PFJ1 and PFJ2 can be optimized to fit requested performance.

ACR fläktchassi (vy ovanifrån) ▪ *ACR fan casing (top view)*

| Storlek <i>Size</i> | K mm | L mm | LA mm | M mm | N mm | O mm |
|------------------------|---------|---------|----------|---------|---------|---------|
| 050 | 50 | 140 | 192 | 0 | 175 | 50 |
| 056 | 50 | 140 | 253 | 0 | 195 | 50 |
| 063 | 50 | 140 | 253 | 0 | 215 | 50 |
| 071 | 50 | 140 | 254 | 0 | 245 | 50 |
| 080 | 50 | 180 | 254 | 0 | 275 | 50 |
| 090 | 50 | 180 | 354 | 0 | 310 | 50 |
| 100 | 50 | 180 | 365 | 0 | 350 | 50 |
| 112 | 100 | 225 | 391 | 60 | 350 | 50 |
| 125 | 100 | 225 | 434 | 60 | 400 | 50 |
| 140 | 100 | 225 | 524 | 60 | 450 | 50 |
| 160 | 100 | 225 | 614 | 60 | 500 | 50 |



PFV

Axialfläktar för vägg- eller modulmontage *Axial flow fan units for wall or modular mount*

Akrons axialfläkt PFV för vägg- eller modulmontage, där flera fläktar monteras parallellt, är avsedd för miljöer där utökat korrosionsskydd krävs. PFV har en integrerad kvadratisk montageram med infästningspunkter i hörnen och är avsedd för fläkthjul av mindre diameter.

PFV-chassit erbjuds i 100% rostfria material, stål och aluminium och kan levereras med valfritt Akron axialfläkthjul.

PFV är konstruerade för optimalt arbete vid luftriktning MF (Motor-Fläkthjul) men kan även användas vid riktning FM (Fläkthjul-Motor). MF är huvudalternativ; dels är ramen dysformad och dels arbetar fläkthjulet, med hjälp av motorbryggan, med bästa verkningsgrad vid denna luftriktning. MF ger även bättre kyllning av motorn.

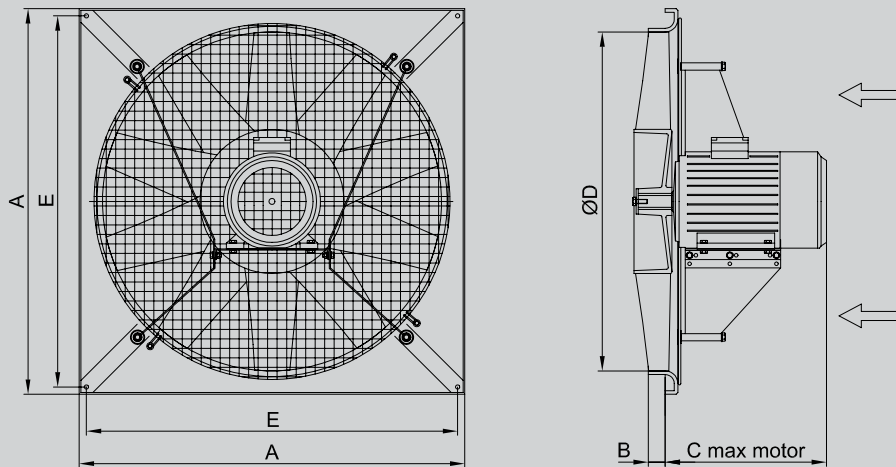
Beröringsskydd, monterat mellan motor och fläkthjul, ingår i PFV. Beröringsskydd på fläkthjulets motsatta sida (tillbehör) skall finnas om fläkten installeras på ett sätt som gör den sidan åtkomlig.

Akron's axial fan unit PFV for wall or modular mount, where a number of units are mounted in parallel, is designed for environments where enhanced corrosion protection is required. PFV has an integrated square mounting frame with attachment points in the corners and is available for smaller impeller diameters.

The PFV casing is offered in 100% stainless materials, steel and aluminium and comes with any of Akron's axial impellers.

PFV is designed for optimal operation at MF direction of air (Motor-Fan) but may also be used at FM direction (Fan-Motor). MF is the main option; Firstly the casing is formed to an inlet nozzle and secondly the impeller, with help from the motor bracket, achieves the best efficiency with this air flow direction. MF also provides better cooling of the motor.

A wire guard, mounted between the motor and the impeller, is included in the PFV fan unit. A wire guard on the opposite side (accessory) must be fitted if the unit is installed in a way that makes that side accessible.



| PFV fläktchassi ▪ PFV fan casing | | | | | | | |
|----------------------------------|---------|---------|---------|----------|---------|----------|--------------------|
| Storlek Size | A mm | B mm | C mm | ØD mm | E mm | m* kg | Motor min - max |
| 031 | 400 | 30 | 250 | 305 | 366 | 5 | 63 - 80 |
| 035 | 450 | 30 | 250 | 350 | 416 | 6 | 63 - 80 |
| 045 | 550 | 35 | 360 | 450 | 516 | 10 | 63 - 100 |
| 050 | 600 | 35 | 360 | 500 | 566 | 11 | 63 - 100 |

*) Vikt avser chassis exkl motor och fläkthjul.
*) Weight is for casing excl motor and impeller.

Fläktvägg i virkestork med PFJ2 ställbara fläkthjul.
Fan wall in wood kiln with PFJ2 adjustable impellers.



**AKS****AKL**

Axialfläktar för kanalmontage *Axial flow fan units for duct mount*

Akrons axialfläktar för kanalmontage, AKS (kortare) och AKL (längre), passar i de flesta industriapplikationer. AK kan monteras mot kanalsystem med samma diameter eller mot annan diameter med adapter.

AK-chassin erbjuds i antingen 100% galvaniserat, typ glv, eller i 100% rostfritt utförande, typ stl.

AK levereras med valfritt Akron axialfläkhjul, antingen helgjutet eller justerbart.

AK-fläkten kan monteras med valfri luftriktning; MF (Motor-Fläkhjul) eller FM (Fläkhjul-Motor). MF är huvudalternativ eftersom fläkhjulet då med hjälp av motorbryggan arbetar med bästa verkningsgrad. Vid detta utförande kan fläkten förses med ledskeneapparat (tillbehör) på utloppet för ytterligare höjning av verkningsgraden om fläktens utlopp är anslutet till kanal. MF ger även bättre kylning av motorn; motor utan egen kylfläkt kan oftast användas i detta fall.

Till AK finns en rad tillbehör såsom montageramar, inloppsdyser, utloppsdiffusorer, ljudrämplare, stödfötter etc.

Eventuellt beröringsskydd för in- eller utloppssida är tillbehör. Beröringsskydd skall finnas om fläkten installeras på ett sätt som gör de rörliga delarna åtkomliga.

Akron's axial fan units AKS (shorter) and AKL (longer) are suitable for most industrial applications. AK fans can be fitted to ductworks with the same diameter or, with an adaptor, to other diameters.

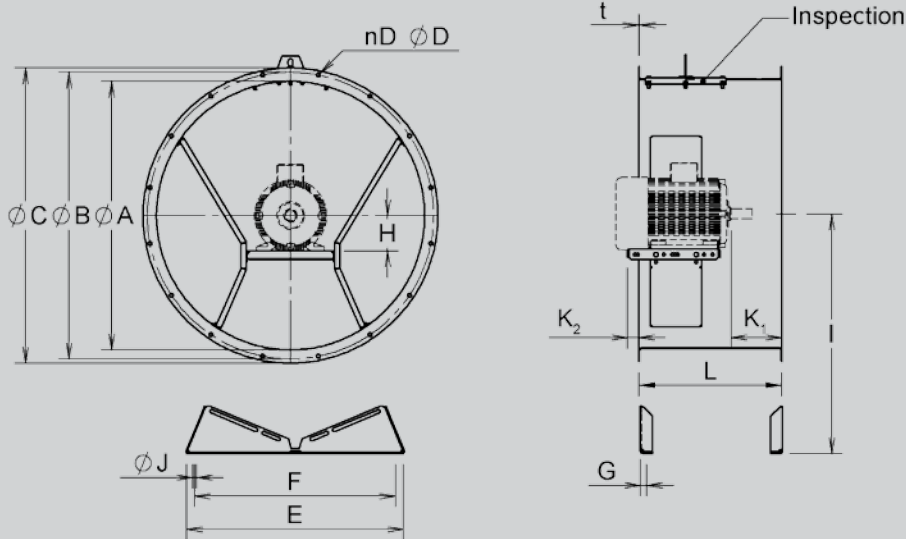
The AK casings are offered in either 100% galvanized materials, type glv, or in 100% stainless steel, type stl.

AK can be delivered with any of Akron's axial impellers, either solid cast or adjustable.

The AK fan unit can optionally be mounted with air direction MF (Motor-Fan) or with FM (Fan-Motor). MF is the main option since the impeller then, with help from the motor bracket, works with the best efficiency. In this case it is possible to mount guide vanes (accessory) at the fan outlet, which will additionally increase the efficiency if the fan unit outlet is connected to ducting. MF also provides better cooling of the motor, a motor without its own cooling fan can often be used in this case.

A number of accessories are available for the AK, such as mounting frames, inlet nozzles, outlet diffusers, silencers, support feet etc.

Any wire guard for the in- or outlet side is an accessory. A wire guard must be fitted if the fan unit is installed in a way that makes the moving parts accessible.



| AK fläktchassi ▪ AK fan casing | | | | | | | | | | | | |
|--------------------------------|----------|----------|----------|----|----------|------------------------|------------------------|---------|----------------------|----------------------|---------|------------|
| Storlek Size | ØA mm | ØB mm | ØC mm | nD | ØD mm | H _{min} mm | H _{max} mm | L mm | K ₁ mm | K ₂ mm | t mm | m* kg |
| AKS 090 | 900 | 970 | 1000 | 16 | 14,5 | 100 | 160 | 419 | 153 | 122 | 3 | 45 |
| AKS 100 | 1000 | 1070 | 1100 | 16 | 14,5 | 100 | 160 | 419 | 153 | 122 | 3 | 50 |
| AKS 112 | 1120 | 1190 | 1220 | 20 | 14,5 | 112 | 180 | 544 | 268 | 155 | 3 | 56 |
| AKS 125 | 1250 | 1320 | 1350 | 20 | 14,5 | 132 | 200 | 545 | 205 | 148 | 3 | 80 / 99*** |
| AKL 031 | 315 | 355 | 397 | 8 | 12 | 63 | 80 | 325 | 74 | -76 | 2 | 9,7 |
| AKL 035 | 350 | 395 | 430 | 8 | 12 | 63 | 90 | 375 | 81 | -95 | 2 | 11 |
| AKL 040 | 400 | 450 | 500 | 8 | 12 | 63 | 90 | 325 | 75 | -41,5 | 2 | 12 |
| AKL 050** | 500 | 560 | 600 | 12 | 12 | 71 | 112 | 325 | 140 | 50 | 2 | 20 |
| AKL 060 | 600 | 656 | 700 | 8 | 12 | 71 | 132 | 410 | 140 | 42 | 2 | 28 |
| AKL 063** | 630 | 690 | 730 | 12 | 12 | 71 | 132 | 410 | 140 | 42 | 2 | 29 |
| AKL 071** | 710 | 770 | 810 | 16 | 12 | 80 | 132 | 410 | 140 | 42 | 3 | 32 |
| AKL 080** | 800 | 860 | 900 | 16 | 12 | 80 | 132 | 410 | 190 | 92 | 3 | 38 |
| AKL 090** | 900 | 970 | 1000 | 16 | 14,5 | 100 | 160 | 535 | 190 | 50 | 3 | 52 |
| AKL 100** | 1000 | 1070 | 1100 | 16 | 14,5 | 100 | 160 | 535 | 190 | 50 | 3 | 60 |
| AKL 112** | 1120 | 1190 | 1220 | 20 | 14,5 | 112 | 180 | 660 | 250 | 22 | 3 | 80 |
| AKL 125** | 1250 | 1320 | 1350 | 20 | 14,5 | 132 | 200 | 660 | 250 | 107 | 3 | 93 |
| AKL 140 | 1400 | 1470 | 1500 | 20 | 14,5 | 160 | 250 | 914 | 250 | -160 | 4 | 141 |
| AKL 160 | 1600 | 1680 | 1720 | 24 | 18,5 | 160 | 280 | 894 | 250 | -140 | 4 | 162 |

*) Vikt avser chassis exkl motor och fläktjul.

*) Weight is for casing excl motor and impeller.

**) Erbjuds även i rostfritt stål "stl".

**) Also available in stainless steel "stl".

***) Förstärkt för motorstorlek 200.

***) Reinforced for motor size 200.

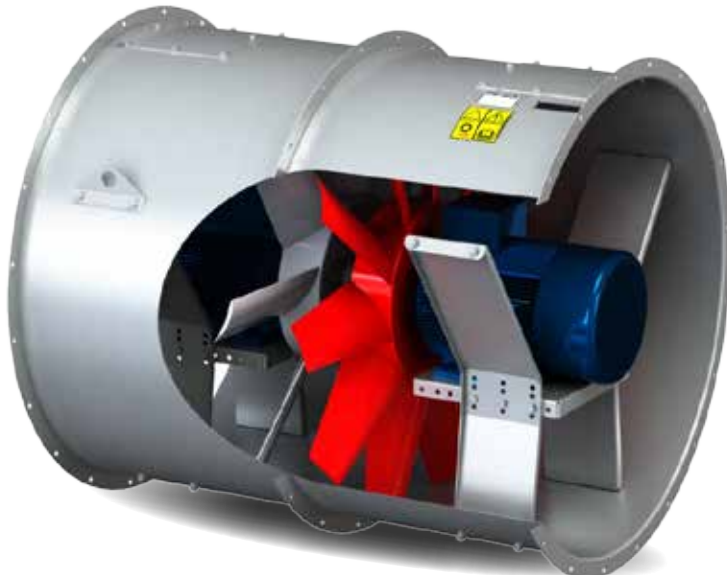
| Stödfot ▪ Support feet | | | | | | |
|------------------------|---------|---------|---------|---------|----------|---|
| Storlek Size | E mm | F mm | G mm | I mm | ØJ mm | |
| 050 | 480 | 440 | 30 | 329 | 11 | 2 |
| 060 | 480 | 440 | 30 | 382 | 11 | 2 |
| 063 | 480 | 440 | 30 | 398 | 11 | 2 |
| 071 | 810 | 750 | 30 | 448 | 13 | 5 |
| 080 | 810 | 750 | 30 | 497 | 13 | 5 |
| 090 | 810 | 750 | 30 | 556 | 13 | 5 |
| 100 | 810 | 750 | 30 | 610 | 13 | 5 |
| 112 | 950 | 900 | 40 | 640 | 18 | 9 |
| 125 | 950 | 900 | 40 | 710 | 18 | 9 |
| 140 | 950 | 900 | 40 | 788 | 18 | 9 |
| 160 | 950 | 900 | 40 | 892 | 18 | 9 |

Notera!

- Luftriktning MF (Motor-Fläkt) eller FM (Fläkt-Motor) måste anges vid beställning.
- Bladvinkel på ställbara fläktjul PFJ1 optimeras från fall till fall.

Please note!

- Air direction MF (Motor-Fan) or FM (Fan-Motor) must be indicated when ordering.
- Pitch angle for adjustable impellers PFJ1 are optimized to fit requested performance.

**AKD**

Tvåstegs axialfläktar med kontraroterande hjul *Two-stage axial fans with counter-rotating impellers*

Akrons tvåstegs axialfläkt AKD, med kontraroterande hjul, passar i de flesta industriapplikationer. AKD kan monteras mot kanalsystem med samma diameter eller, med hjälp av adapter, mot annan diameter. Alternativt kan AKD monteras mot vägg, då lämpligen tillsammans med kvadratisk montageram (tillbehör).

AKD erbjuds i 100% galvaniserat utförande, typ glv.

De kontraroterande fläktens hjulen i AKD är placerade på några cm avstånd från varandra och är noggrant utprovade avseende bladantal, bladprofil och vinklar för att ge optimal verkningsgrad och tryckuppsättning.

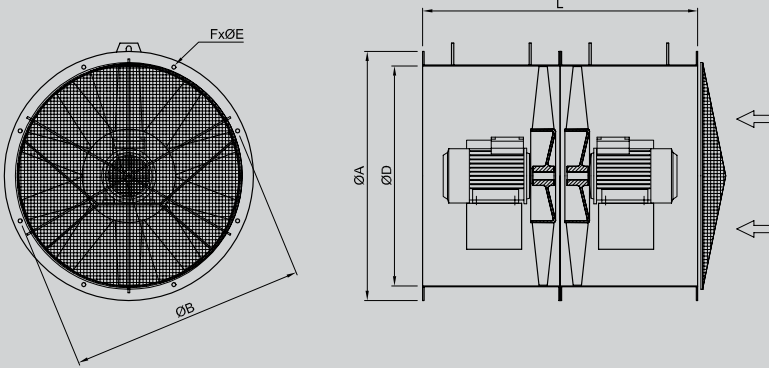
Eventuellt beröringsskydd för in- eller utloppssida är tillbehör. Beröringsskydd måste finnas om fläkten installeras på ett sätt som gör de rörliga delarna åtkomliga.

Akron's two stage axial fan unit AKD, with counter rotating impellers, is suitable for most industrial applications. AKD can be fitted to ductworks with the same diameter or, with an adapter, to other diameters. Alternatively, AKD may be mounted on a wall, then together with a square mounting frame (accessory).

The AKD casing is offered in 100% galvanized materials, type glv.

The counter rotating impellers in AKD are mounted within a few cm from each other and are thoroughly tested regarding number of blades, blade profiles and pitch angles for optimum efficiency and pressure gain.

Any wire guard for the in- or outlet side is accessory. A wire guard must be fitted if the fan unit is installed in a way that makes the moving parts accessible.



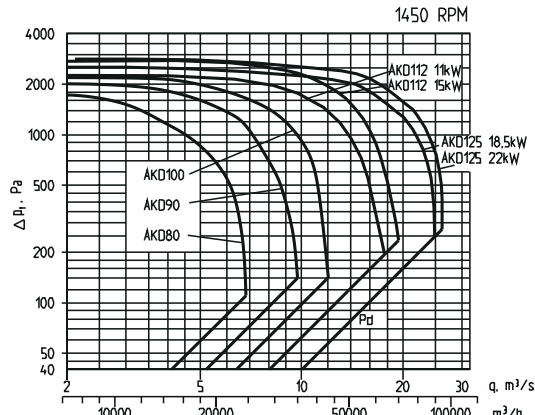
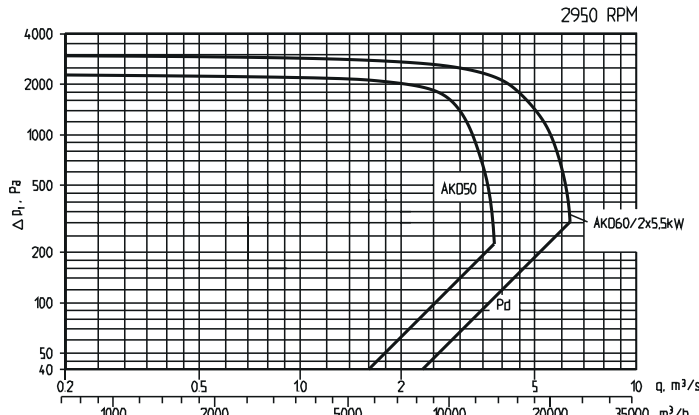
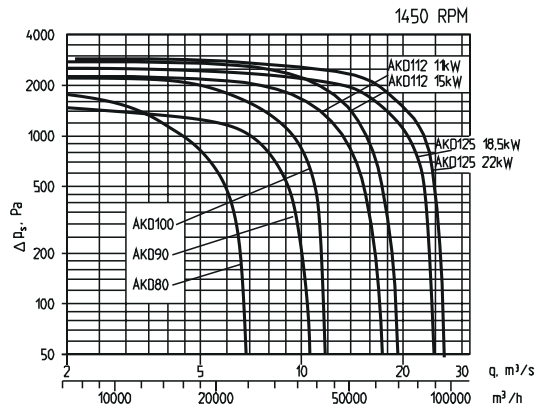
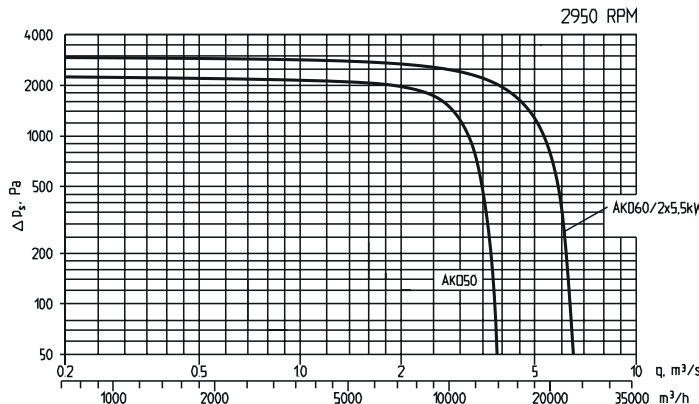
AKD tvåstegs axialfläkt ▪ AKD two-stage axial fan unit

| Storlek Size | Fläkthjul ▪ Impeller | | Motor ▪ Motor | | ØA mm | ØB mm | ØD mm | ØE mm | F | L mm | m* kg |
|-----------------|------------------------|--------------------|---------------|-----------------|----------|----------|----------|----------|----|---------|----------|
| | Steg 1 Stage 1 | Steg 2 Stage 2 | kW | Storlek Size | | | | | | | |
| 050 | PF25H/495/14,5° | PF25V/495/11° | 2 x 3,0 | 100 / ø28 | 600 | 560 | 500 | 12 | 12 | 650 | 90 |
| 060 | PF60-5/H/595/12° | PF60-4/V/595/9° | 2 x 5,5 | 112 / ø28 | 700 | 656 | 600 | 11 | 8 | 820 | 163 |
| 063 | PF25H/625 | PF25V/625 | 2 x 5,5 | 112 / ø28 | 730 | 690 | 630 | 12 | 12 | 820 | 170 |
| 080 | PF90H/795/15° | PFH90/H/795/8,5° | 2 x 4,0 | 112 / ø28 | 900 | 860 | 800 | 12 | 16 | 820 | 263 |
| 090 | PF90V/895/14° | PFH90/H/895/7° | 2 x 5,5 | 132 / ø38 | 1000 | 970 | 900 | 14,5 | 16 | 1070 | 350 |
| 100 | PF100V/995/12° | PFH100/H/995/6° | 2 x 7,5 | 132 / ø38 | 1100 | 1070 | 1000 | 14,5 | 16 | 1070 | 382 |
| 112-11 | PF112V/1114/12° | PFH112/H/1114/6° | 2 x 11,0 | 160 / ø42 | 1220 | 1190 | 1120 | 14,5 | 20 | 1320 | 456 |
| 112-15 | PFJ1 40L-12/H/1114/36° | PFH112/V/1114/10° | 2 x 15,0 | 160 / ø42 | 1220 | 1190 | 1120 | 14,5 | 20 | 1320 | 456 |
| 125-18,5 | PF125V/1243/14,5° | PFH125/H/1243/8,5° | 2 x 18,5 | 180 / ø48 | 1350 | 1320 | 1250 | 14,5 | 20 | 1320 | 590 |
| 125-22 | PF125V/1243/18° | PFH125/H/1243/13° | 2 x 22,0 | 180 / ø48 | 1350 | 1320 | 1250 | 14,5 | 20 | 1320 | 590 |

*) Vikt avser totalvikt inkl chassis, motor och fläkthjul.

*) Weight is total inclusive casing, motor and impeller.

Kapaciteter AKD ▪ Capacities AKD



**AGM****AGH**

Axialfläktar för tunga applikationer *Heavy duty axial flow fan units*

Akrons extra förstärkta axialfläktar AGM och AGH passar i de allra mest krävande industriapplikationer såsom i gruvor och vid tunnelbyggen. AG-fläktar kan monteras mot kanalsystem med samma diameter eller mot annan diameter med adapter.

AG-chassit erbjuds i 100% varmgalvaniserat material, typ glv. Chassit i AGH tillverkas i extra grov stålplåt och dessutom löper fläkthjulet i en påmonterad separat cylinder.

AG i storlekar 071 och uppåt levereras med Akrons justerbara fläkthjul PFJ1. Mindre storlekar har helgjutna fläkthjul. För att utnyttja energin i luften fullt ut är fläkten utrustad med en ledskeneapparat efter fläkthjulet, som riktar upp luften till axiell strömning och samtidigt höjer trycket i luften.

AG-fläktarna kan seriekopplas till flerstegspaket för att ytterligare förstärka fläkteffekten. Normalt levereras då paketet med gemensam ram för enkel placering.

Till AG finns en rad tillbehör i förstärkt utförande såsom inloppsdyvor med integrerat beröringsskydd, utloppsdiffusorer, ramstativ, ljuddämpare etc.

Eventuellt beröringsskydd för AG-fläktens in- eller utloppssida är tillbehör. Beröringsskydd skall finnas om fläkten installeras på ett sätt som gör de rörliga delarna åtkomliga.

Akron's reinforced axial fan units AGM and AGH are suitable for the toughest industrial applications such as mines and tunnels. AG fan units can be fitted to ductworks with the same diameter or, with an adapter, to other diameters.

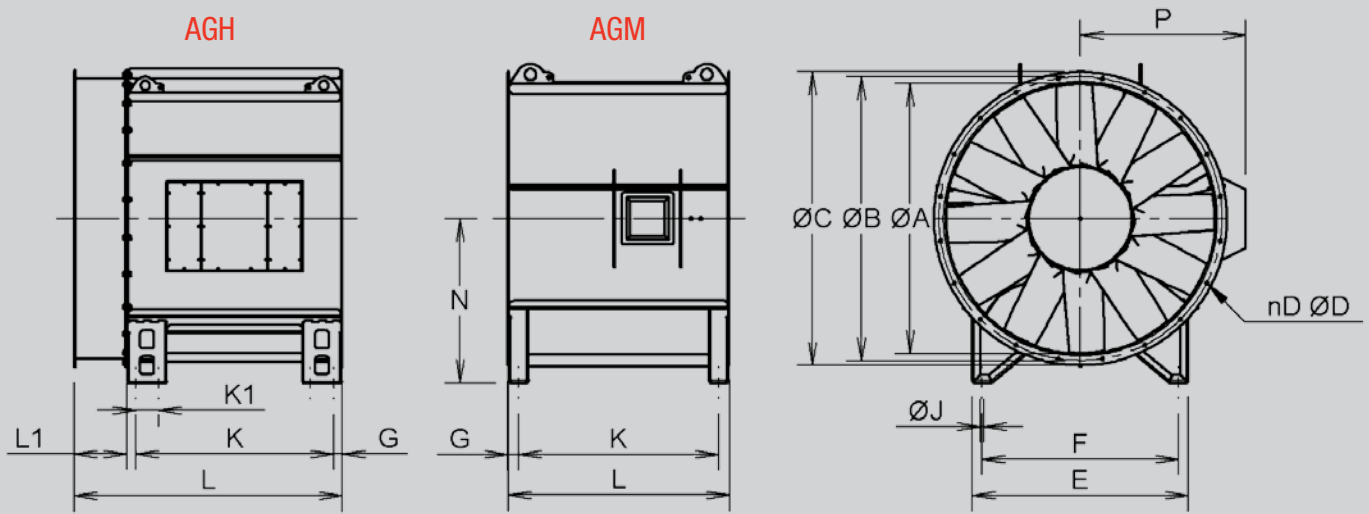
The AG casing is offered in 100% hot dipped galvanized steel, type glv. The steel in the AGH casing is of extra thickness. Additionally, the impeller runs in a separately affixed cylinder.

AG fans in sizes 071 and up are supplied with Akron's adjustable impeller PFJ1. Smaller sizes have solid cast impellers. In order to make full use of the energy in the air, the impeller is followed by guide vanes redirecting the air into axial flow and simultaneously increasing the pressure in the air.

The AG fans can be serially coupled to form a multi-stage fan unit for higher output. The complete package is normally delivered on a common frame.

There is a variety of heavy duty accessories for the AG fans, such as inlet nozzles with integrated wire guard, outlet diffusers, support frames, silencers, etc.

Any wire guard for the in- or outlet side of the AG fan unit is an accessory. A wire guard must be fitted if the fan unit is installed in a way that makes the moving parts accessible.



AGM fläktchassi ▪ AGM fan casing

| Storlek Size | Nav Hub | ØA mm | ØB mm | ØC mm | nD | ØD mm | E mm | F mm | G mm | ØJ mm | K mm | L mm | N mm | P mm | t mm | m* kg |
|-----------------|-------------|----------|----------|----------|----|----------|---------|---------|---------|----------|---------|---------|---------|---------|---------|----------|
| 050 | PF28H/PF31H | 500 | 560 | 600 | 12 | 12 | | | | | | 540 | 329 | 380 | 4 | 50 |
| 063 | PF28H/PF31H | 630 | 690 | 730 | 12 | 12 | | | | | | 625 | 398 | 429 | 4 | 64 |
| 071 | PFJ1-40 | 630 | 690 | 730 | 12 | 12 | | | | | | 625 | 398 | 429 | 4 | 89 |
| 080 | PFJ1-40 | 710 | 770 | 810 | 16 | 12 | | | | | | 900 | 448 | 480 | 4 | 99 |
| 080 | PFJ1-56 | 800 | 860 | 920 | 16 | 14,5 | | | | | | 1150 | 497 | 572 | 6 | 217 |
| 090 | PFJ1-40 | 800 | 860 | 920 | 16 | 14,5 | | | | | | 1150 | 497 | 572 | 6 | 228 |
| 090 | PFJ1-56 | 900 | 970 | 1020 | 16 | 14,5 | | | | | | 1150 | 556 | 586 | 6 | 236 |
| | PFJ1-40 | 900 | 970 | 1020 | 16 | 14,5 | | | | | | 1150 | 556 | 586 | 6 | 248 |
| 100 | PFJ1-40 | 1000 | 1070 | 1120 | 16 | 18,5 | | | | | | 900 | 610 | 671 | 6 | 204 |
| 100 | PFJ1-56 | 1000 | 1070 | 1120 | 16 | 14,5 | | | | | | 1150 | 610 | 671 | 6 | 257 |
| 112 | PFJ1-56 | 1000 | 1070 | 1120 | 16 | 14,5 | | | | | | 1150 | 610 | 671 | 6 | 270 |
| 125 | PFJ1-56 | 1120 | 1190 | 1240 | 20 | 14,5 | 1120 | 1020 | 56 | 19 | 1038 | 1150 | 710 | 708 | 6 | 321 |
| 140 | PFJ1-56 | 1250 | 1320 | 1370 | 20 | 14,5 | 1120 | 1020 | 56 | 19 | 1038 | 1150 | 775 | 780 | 6 | 355 |
| 140 | PFJ1-76 | 1400 | 1470 | 1520 | 20 | 14,5 | 1120 | 1020 | 56 | 19 | 1035 | 1150 | 850 | 857 | 6 | 385 |
| 160 | PFJ1-56 | 1400 | 1470 | 1520 | 20 | 14,5 | 1120 | 1020 | 56 | 19 | 1035 | 1150 | 850 | 891 | 6 | 480 |
| 160 | PFJ1-76 | 1600 | 1680 | 1720 | 24 | 18,5 | 1120 | 1020 | 56 | 19 | 1038 | 1150 | 964 | 967 | 6 | 433 |
| 180 | PFJ1-76 | 1600 | 1680 | 1720 | 24 | 18,5 | 1120 | 1020 | 56 | 19 | 1038 | 1150 | 964 | 994 | 6 | 535 |
| 180 | PFJ1-76 | 1800 | 1880 | 1920 | 24 | 18,5 | 1120 | 1020 | 56 | 19 | 1288 | 1400 | 1067 | 1096 | 6 | 689 |

*) Vikt avser chassis exkl motor och fläktjhul.

*) Weight is for casing excl motor and impeller.

AGH fläktchassi ▪ AGH fan casing

| Storlek Size | Nav Hub | ØA mm | ØB mm | ØC mm | nD | ØD mm | E mm | F mm | G mm | ØJ mm | K mm | K1 mm | L mm | L1 mm | N mm | P mm | t mm | m* kg |
|-----------------|------------|----------|----------|----------|----|----------|---------|---------|---------|----------|---------|----------|---------|----------|---------|---------|---------|----------|
| 140 | PFJ1-56 | 1400 | 1470 | 1520 | 20 | 14,5 | 1120 | 1020 | 58 | 19 | 1034 | - | 1400 | 250 | 850 | 908 | 8 | 639 |
| | PFJ1-76 | 1400 | 1470 | 1520 | 20 | 14,5 | 1120 | 1020 | 58 | 19 | 1034 | - | 1400 | 250 | 850 | 908 | 8 | 705 |
| 160 | PFJ1-56 | 1600 | 1680 | 1720 | 24 | 18,5 | 1120 | 1020 | 58 | 19 | 1034 | - | 1400 | 250 | 964 | 1012 | 8 | 730 |
| 160 | PFJ1-76 | 1600 | 1680 | 1720 | 24 | 18,5 | 1120 | 1020 | 58 | 19 | 1034 | - | 1400 | 250 | 964 | 1012 | 8 | 796 |
| 180 | PFJ1-96 | 1600 | 1680 | 1720 | 24 | 18,5 | 1120 | 1020 | 58 | 19 | 1034 | - | 1400 | 250 | 964 | 1012 | 8 | 814 |
| 180 | PFJ1-76 | 1800 | 1880 | 1920 | 24 | 18,5 | 1120 | 1020 | 58 | 19 | 1034 | - | 1400 | 250 | 1067 | 1112 | 8 | 872 |
| 200 | PFJ1-96 | 1800 | 1880 | 1920 | 24 | 18,5 | 1120 | 1020 | 58 | 19 | 1284 | 150 | 1740 | 340 | 1067 | 1112 | 8 | 1056 |

*) Vikt avser chassis exkl motor och fläktjhul.

*) Weight is for casing excl motor and impeller.

**PF****MW**

Axialfläkthjul med fast bladvinkel *Axial impellers with fixed pitch angle*

Fläktbladen har aerodynamisk profil och är till antal och vinklar noggrant utprovade för högsta verkningsgrad. Samtliga fläkthjul med fast bladvinkel gjuts i aluminiumlegering och är statiskt och dynamiskt balanserade.

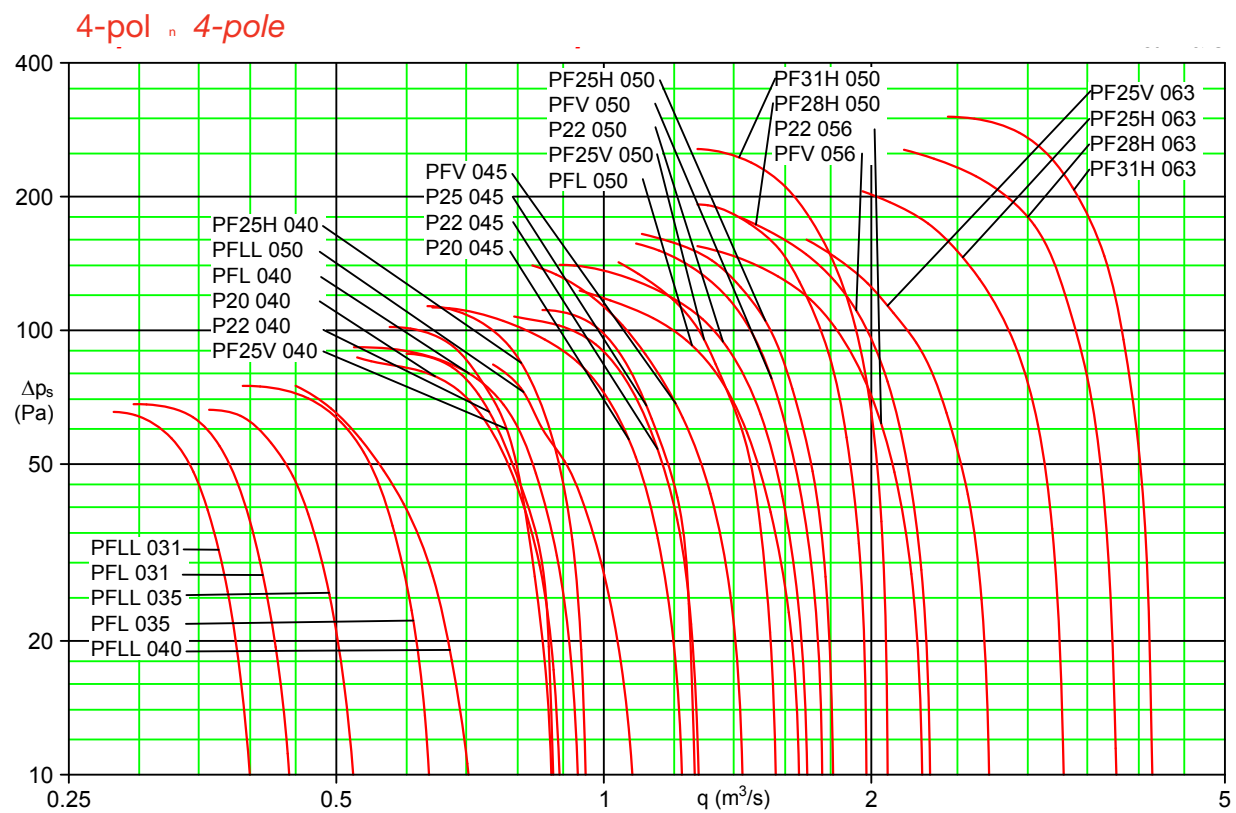
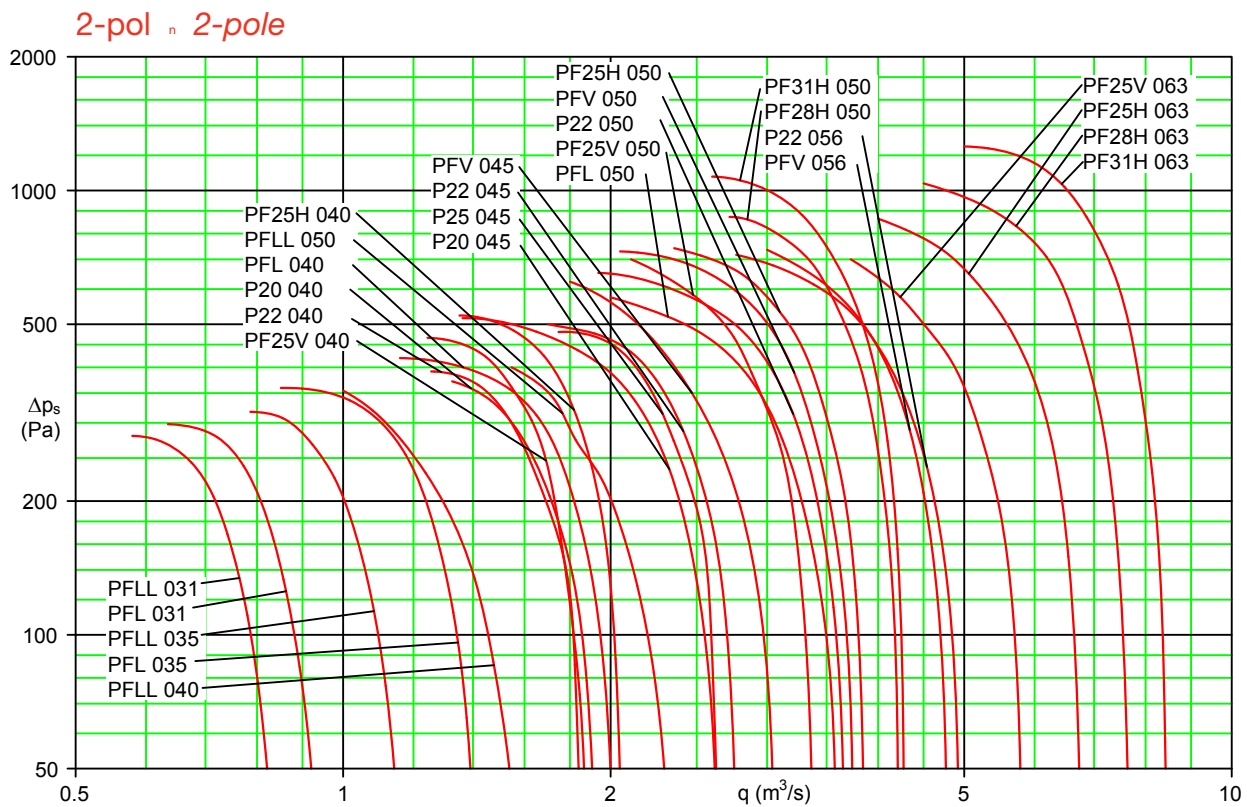
Diagrammen som följer gäller för luft med densitet 1.2 kg/m³ och för fläkt utan inlopps- eller utloppsförluster. Brandklass F200 (200°C / 2 timmar) gäller samtliga fläkthjul.

The shapes, pitch angles and numbers of the aerofoil-profiled blades are thoroughly tested to give best possible efficiency. All axial impellers with fixed pitch angle are cast in aluminium alloy and are statically and dynamically balanced.

The following diagrams are valid for air with density of 1.2 kg/m³ and for fan units without inlet or outlet losses. Fire classification F200 (200°C / 2 hours) applies to all impellers of this type.

| Axialfläkthjul med fast bladvinkel ▪ Axial impellers with fixed pitch angle | | | | | | | |
|---|---------------------|-----------|------------------|--------------------------|--|------------------|-----------------------------|
| Storlek Size | Typ Type | Rotation* | Diameter [mm] | Vikt [kg] Weight [kg] | Rekommenderad motor [kW : storlek : axel] Recommended motor [kW : size : shaft] | | |
| | | | | | 6-pole | 4-pole | 2-pole |
| 031 | PFLL 031 20° ppt | R | 311 | 2,3 | | 0,12 : 63 / Ø11 | 0,37 : 71 / Ø14 |
| | PFL 031 24,5° ppt | R | 311 | 1,7 | | 0,12 : 63 / Ø11 | 0,55 : 71 / Ø14 |
| | PFLL 035 14° ppt | R | 346 | 2,5 | | 0,12 : 63 / Ø11 | 0,75 : 80 / Ø19 |
| 035 | PFL 035 21° ppt | R | 346 | 1,9 | | 0,12 : 63 / Ø11 | 0,75 : 80 / Ø19 |
| | PFLL 040 8,5° ppt | R | 396 | 2,6 | | 0,12 : 63 / Ø11 | 0,75 : 80 / Ø19 |
| 040 | PFL 040 18° ppt | R | 396 | 2,1 | | 0,12 : 63 / Ø11 | 1,1 : 80 / Ø19 |
| | P20 040 18° | R | 396 | 2,2 | | 0,12 : 63 / Ø11 | 1,1 : 80 / Ø19 |
| | P22 040 21° | R | 396 | 3,0 | | 0,12 : 63 / Ø11 | 1,1 : 80 / Ø19 |
| | PF25V 040 19° ppt | L | 396 | 4,0 | | 0,18 : 63 / Ø11 | 1,5 : 90 / Ø24 |
| 045 | PF25H 040 22° ppt | R | 396 | 3,7 | | 0,18 : 63 / Ø11 | 1,5 : 90 / Ø24 |
| | P20 045 14° | R | 446 | 2,3 | | 0,18 : 63 / Ø11 | 1,5 : 90 / Ø24 |
| | P22 045 18° | R | 446 | 3,3 | | 0,18 : 63 / Ø11 | 2,2 : 90 / Ø24 |
| | P25 045 21° | R | 446 | 4,5 | | 0,18 : 63 / Ø11 | 2,2 : 90 / Ø24 |
| 050 | PFV 045 25° | R | 446 | 2,7 | | 0,37 : 71 / Ø14 | 3,0 : 100 / Ø28 |
| | PFLL 050 4° ppt | R | 496 | 3,1 | | 0,12 : 63 / Ø11 | 1,1 : 80 / Ø19 |
| | PFL 050 14° ppt | R | 496 | 2,5 | | 0,18 : 63 / Ø11 | 2,2 : 90 / Ø24 |
| | P22 050 17° | R | 496 | 3,3 | | 0,37 : 71 / Ø14 | 3,0 : 100 / Ø28 |
| 056 | PFV 050 17° | R | 496 | 3,7 | | 0,37 : 71 / Ø14 | 3,0 : 100 / Ø28 |
| | PF25V 050 11° ppt | L | 496 | 4,5 | | 0,25 : 71 / Ø14 | 2,2 : 90 / Ø24 |
| | PF25H 050 14,5° ppt | R | 496 | 4,2 | | 0,37 : 71 / Ø14 | 3,0 : 100 / Ø28 |
| | PF28H 050 19,5° ppt | R | 496 | 5,1 | | 0,55 : 80 / Ø19 | 4,0 : 112 / Ø28 |
| 056 | PF31H 050 25° ppt | R | 496 | 7,1 | | 0,75 : 80 / Ø19 | 5,5 : 112 / Ø28, 132 / Ø38 |
| | P22 056 17° | R | 556 | 3,5 | | 0,37 : 71 / Ø14 | 4,0 : 112 / Ø28 |
| 063 | PFV 056 17° | R | 556 | 3,7 | | 0,75 : 80 / Ø19 | 5,5 : 112 / Ø28, 132 / Ø38 |
| | PF25V 063 7° ppt | L | 626 | 5,0 | | 0,55 : 80 / Ø19 | 4,0 : 112 / Ø28 |
| | PF25H 063 11° ppt | R | 626 | 5,2 | | 0,75 : 80 / Ø19 | 5,5 : 112 / Ø28, 132 / Ø38 |
| | PF28H 063 14° ppt | R | 626 | 5,9 | | 1,1 : 90 / Ø24 | 7,5 : 132 / Ø38 |
| 071 | PF31H 063 18,5° ppt | R | 626 | 8,5 | | 1,5 : 90 / Ø24 | 11,0 : 132 / Ø38, 160 / Ø42 |
| | MW 071 32,5° | R | 706 | 5,1 | 0,75 : 90 / Ø24 | 2,2 : 100 / Ø28 | |
| | MW 071 37,5° | R | 706 | 5,1 | 1,1 : 90 / Ø24 | 3,0 : 100 / Ø28 | |
| 080 | MW 071 45° | R | 706 | 5,1 | 1,1 : 90 / Ø24 | 4,0 : 112 / Ø28 | |
| | MW 080 30° | R | 796 | 5,5 | 1,1 : 90 / Ø24 | 3,0 : 100 / Ø28 | |
| | PF44V 080 15° | L | 796 | 16,0 | 1,1 : 90 / Ø24 | 4,0 : 112 / Ø28 | |
| | MW 080 35° | R | 796 | 5,5 | 1,1 : 90 / Ø24 | 4,0 : 112 / Ø28 | |
| 090 | MW 080 40° | R | 796 | 5,5 | 1,5 : 100 / Ø28 | 5,5 : 132 / Ø38 | |
| | PF 090 14° | L | 896 | 18,5 | 2,2 : 112 / Ø28 | 7,5 : 132 / Ø38 | |
| 100 | PF 100 12° | L | 996 | 18,5 | 2,2 : 112 / Ø38 | 7,5 : 132 / Ø38 | |
| 112 | PF 112 14° | L | 1115 | 22,7 | 3,0 : 132 / Ø38 | 11,0 : 160 / Ø42 | |
| 125 | PF 125 14,5° | L | 1245 | 27,5 | 5,5 : 132 / Ø38 | 18,5 : 180 / Ø48 | |
| | PF 125 18° | L | 1245 | 27,5 | 7,5 : 132 / Ø38 | 22 : 180 / Ø48 | |

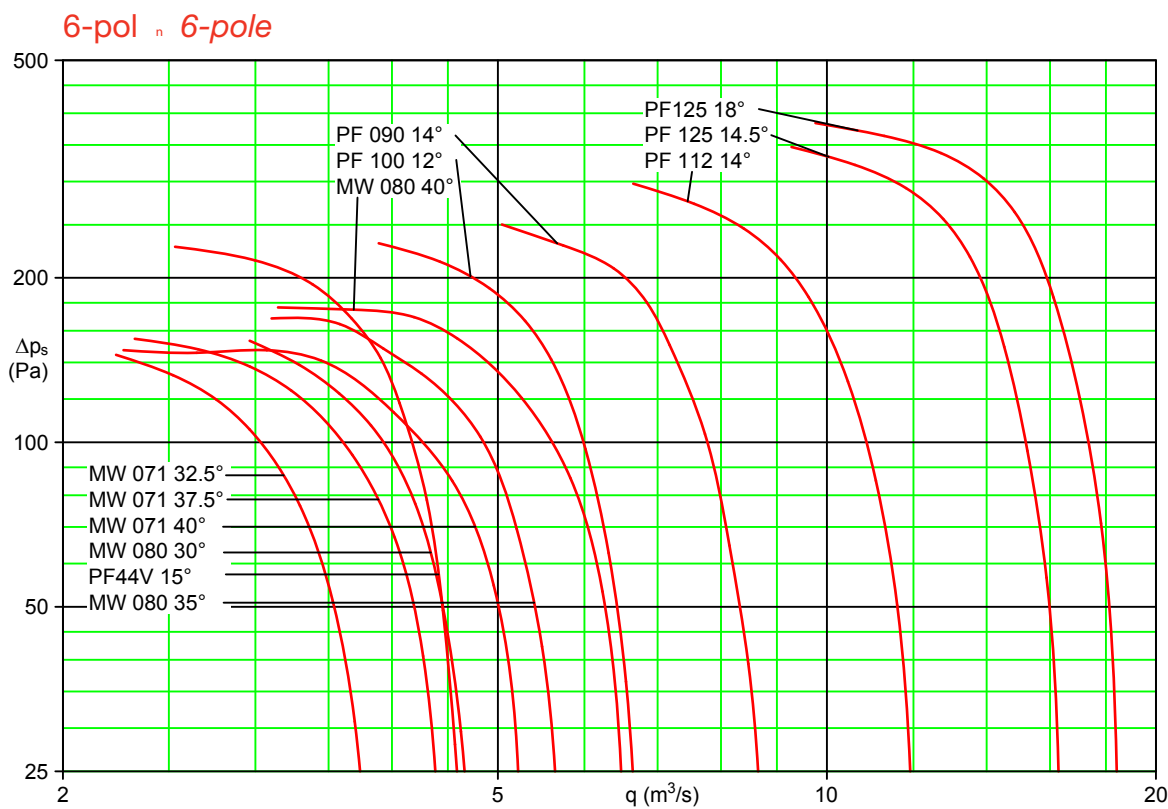
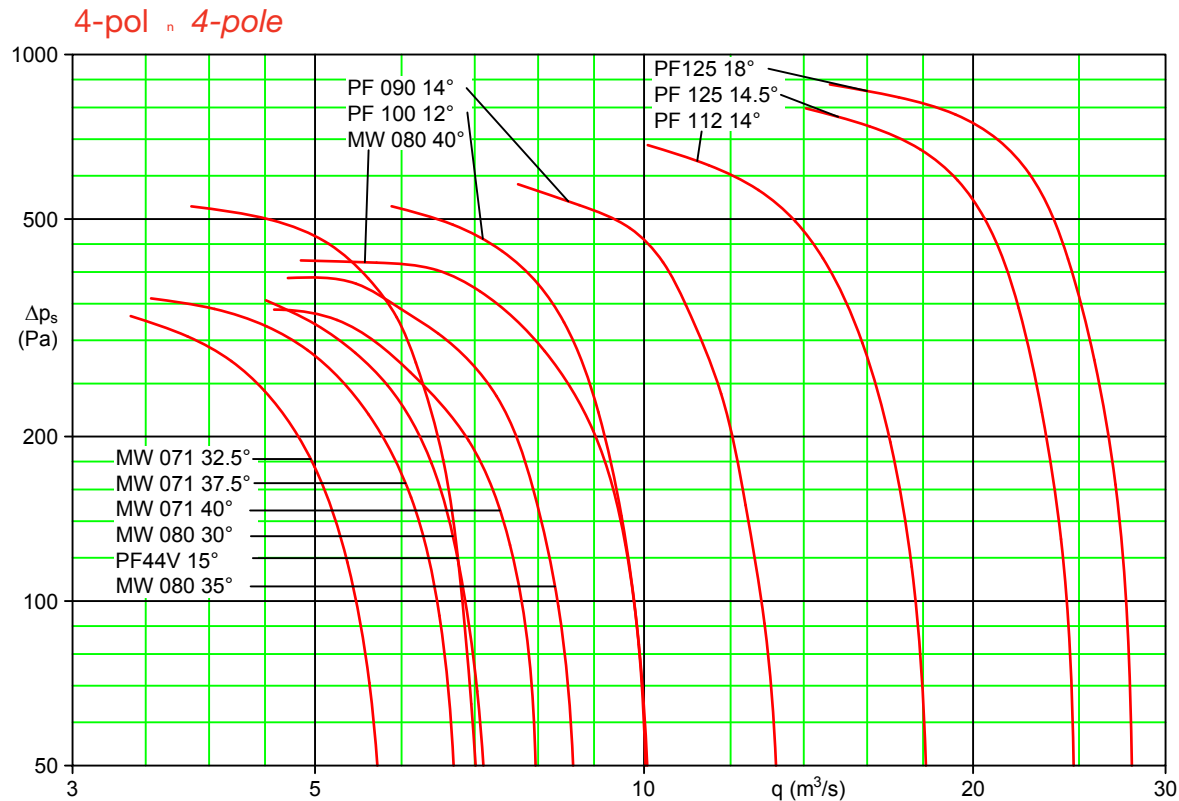
Fläkthjul ø 031 - 063 med fast bladvinkel, installationsfall "A" och "C"
 Impellers ø 031 - 063 with fixed pitch angle, installation categories "A" and "C"



Diagrammen visar tryckskillnaden Δp_s mellan en punkt uppströms fläkten och en punkt i en kammare nedströms fläkten. Diagrammen gäller för densitet $1,2\text{kg}/\text{m}^3$ och för den rekommenderade motorstorlekens varvtal vid 50Hz .

The diagrams show the pressure difference Δp_s between a point upstream of the fan and a point in a chamber downstream of the fan. The diagrams are applicable for air density $1,2\text{kg}/\text{m}^3$ and for the recommended motor size's speed at 50Hz .

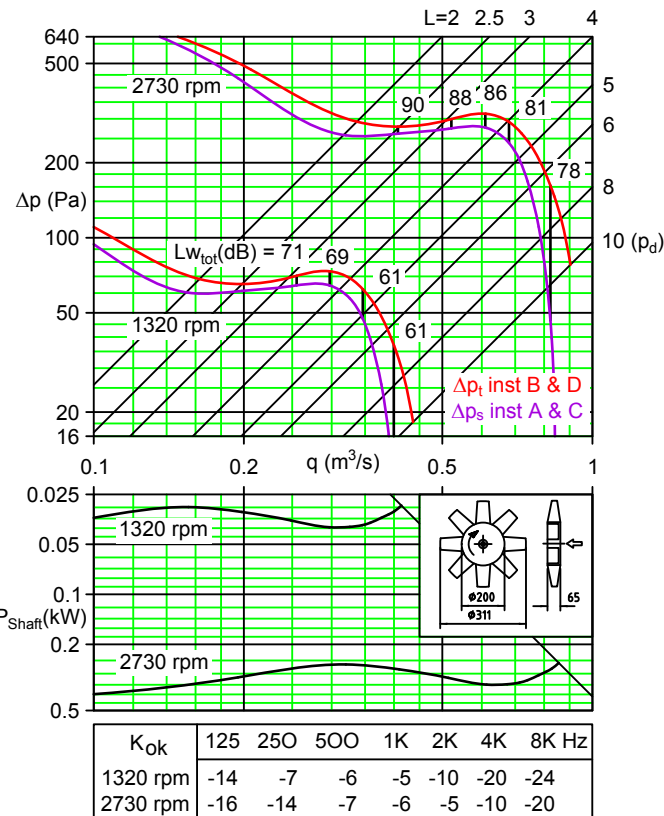
Fläkthjul ø 071 - 125 med fast bladvinkel, installationsfall "A" och "C"
 Impellers ø 071 - 125 with fixed pitch angle, installation categories "A" and "C"



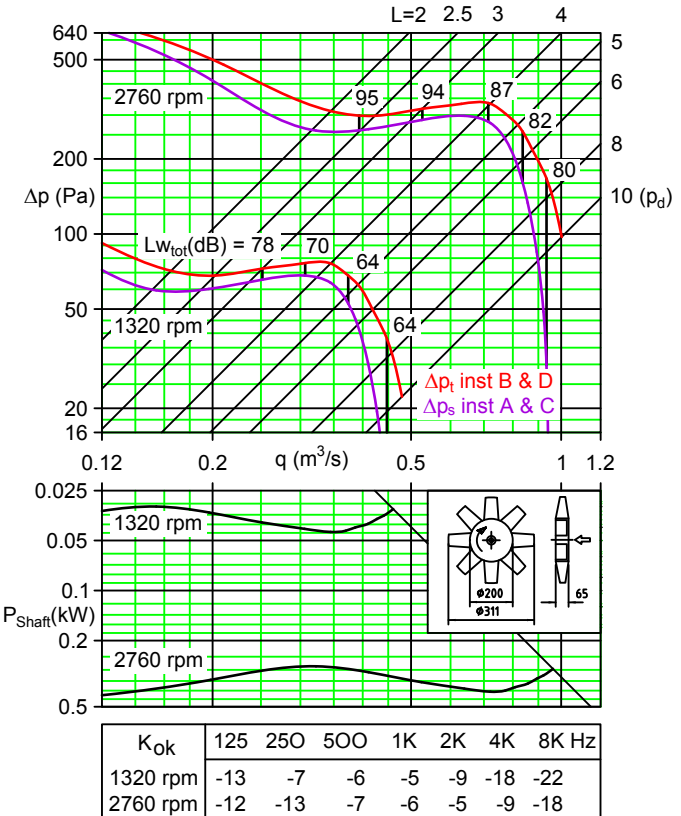
Diagrammen visar tryckskillnaden Δp_s mellan en punkt uppströms fläkten och en punkt i en kammare nedströms fläkten. Diagrammen gäller för densitet $1,2\text{kg}/\text{m}^3$ och för den rekommenderade motorstorlekens varvtal vid 50Hz .

The diagrams show the pressure difference Δp_s between a point upstream of the fan and a point in a chamber downstream of the fan. The diagrams are applicable for air density $1,2\text{kg}/\text{m}^3$ and for the recommended motor size's speed at 50Hz .

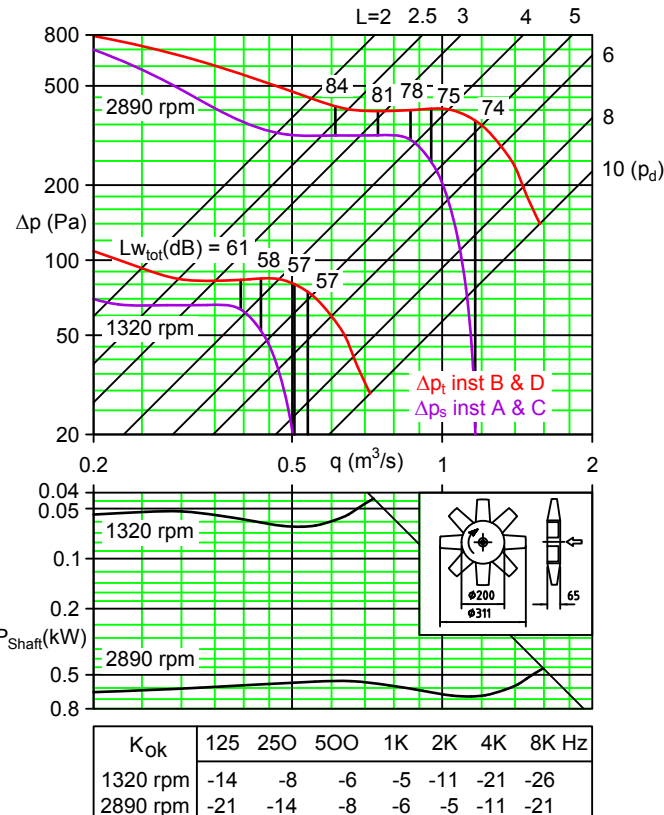
PFL 031 20° ppt



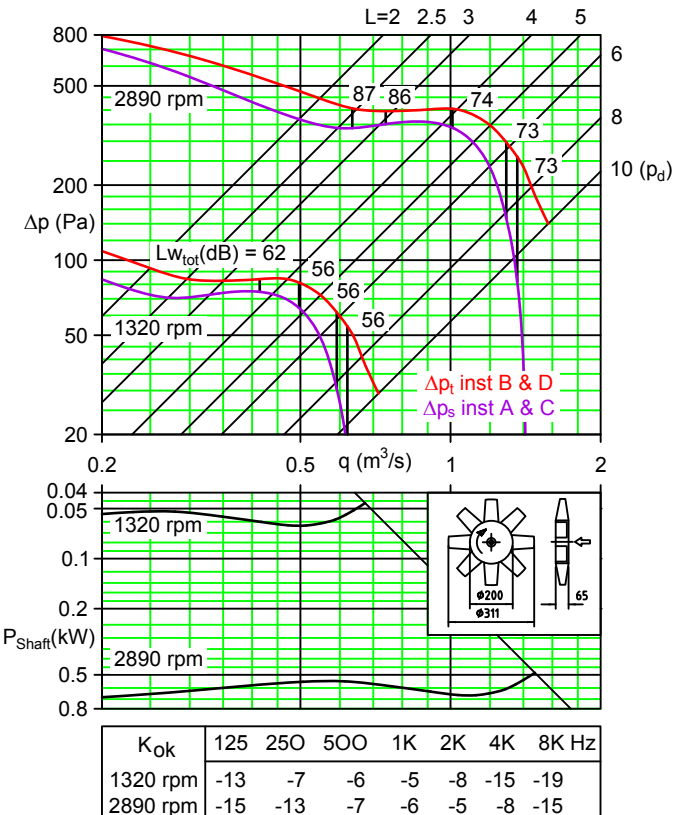
PFL 031 24.5° ppt



PFL 035 14° ppt



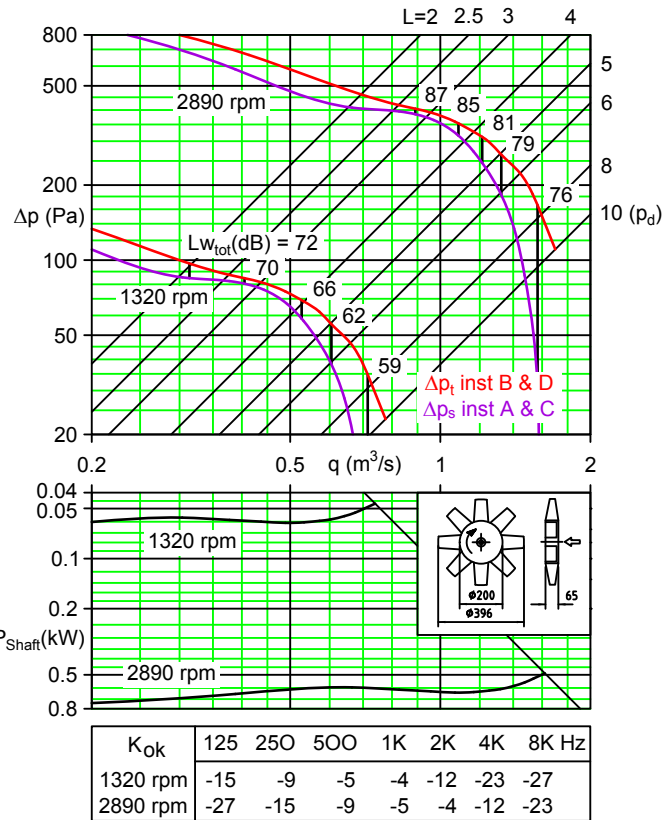
PFL 035 21° ppt



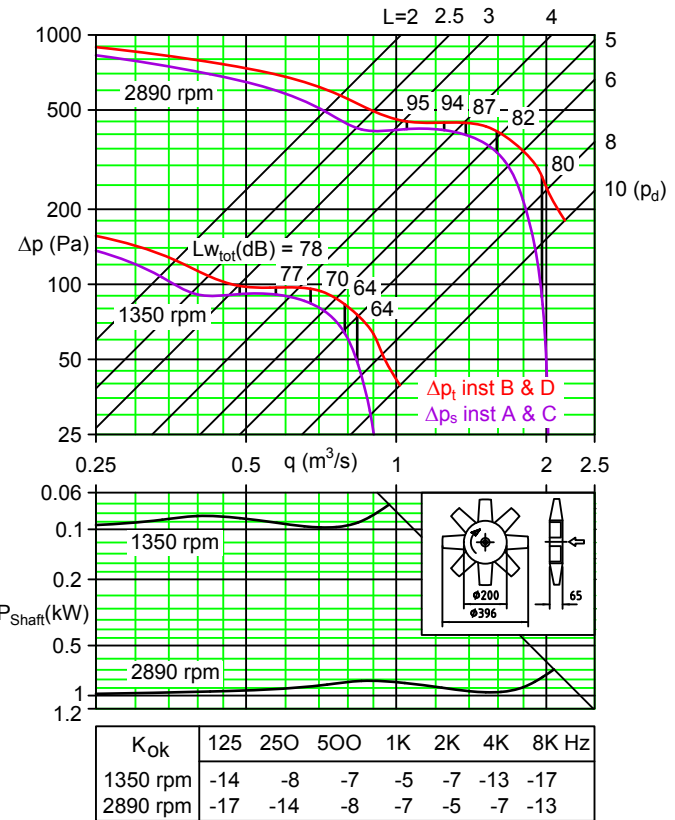
Diagrammens röda kurvor visar tryckskillnaden Δp_t mellan en punkt uppströms fläkten och en punkt i en kanal nedströms fläkten. De lila kurvorna visar tryckskillnaden Δp_s mellan en punkt uppströms fläkten och en punkt i en kammare nedströms fläkten. Diagrammen gäller för densitet $1,2\text{kg}/m^3$ och för den rekommenderade motorstorlekens varvtal vid 50Hz .

The red curves in the diagrams show the pressure difference Δp_t between a point upstream of the fan and a point in a duct downstream of the fan. The purple curves show the pressure difference Δp_s between a point upstream of the fan and a point in a chamber downstream of the fan. The diagrams are applicable for air density $1,2\text{kg}/m^3$ and for the recommended motor size's speed at 50Hz .

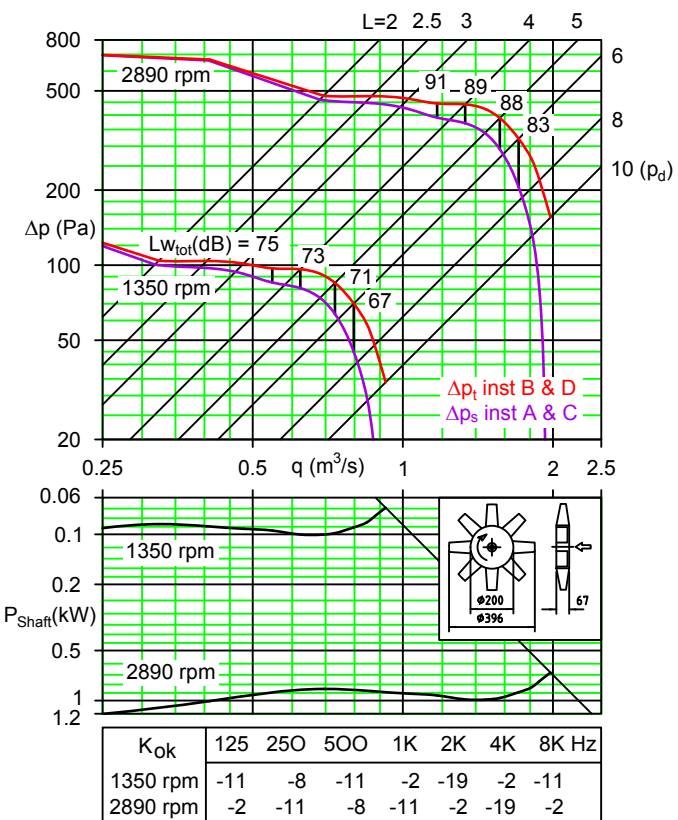
PFL 040 8,5° ppt



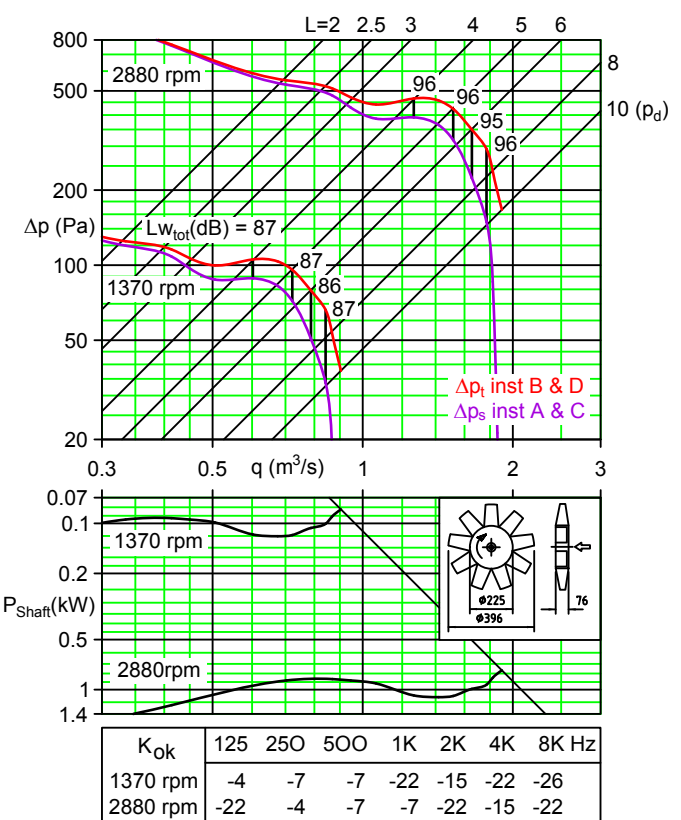
PFL 040 18° ppt



P20 040 18°



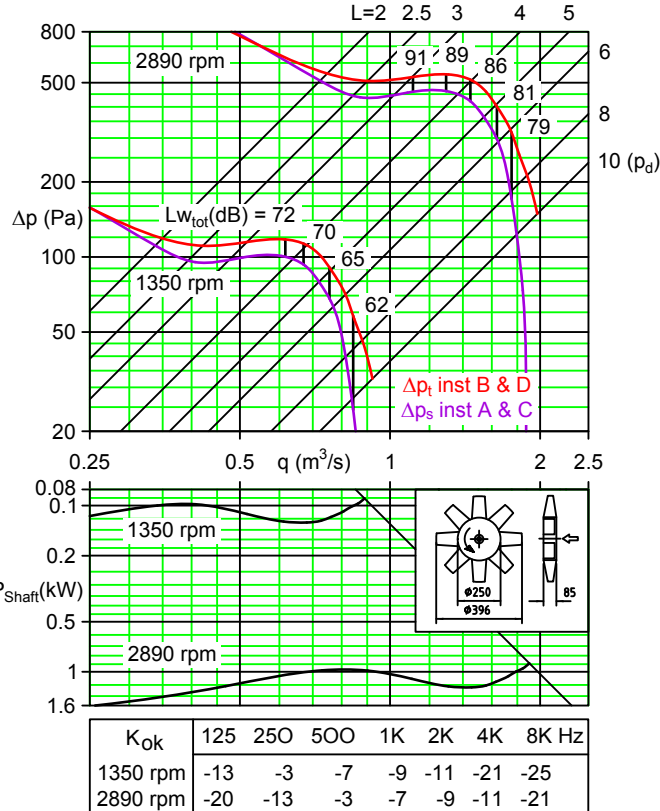
P22 040 21°



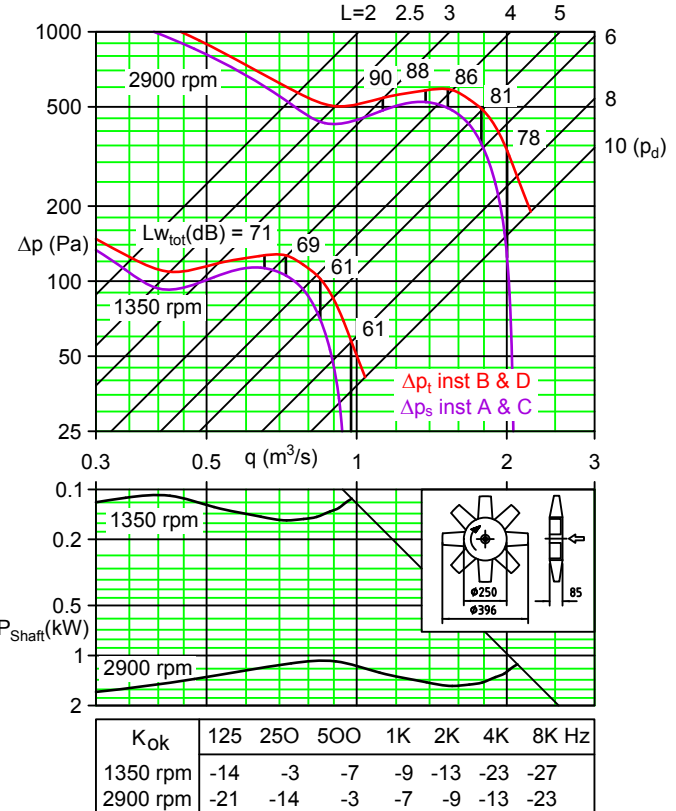
Diagrammens röda kurvor visar tryckskillnaden Δp_t mellan en punkt uppströms fläkten och en punkt i en kanal nedströms fläkten. De lila kurvorna visar tryckskillnaden Δp_s mellan en punkt uppströms fläkten och en punkt i en kammare nedströms fläkten. Diagrammen gäller för densitet $1,2\text{kg}/\text{m}^3$ och för den rekommenderade motorstorlekens varvtal vid 50Hz .

The red curves in the diagrams show the pressure difference Δp_t between a point upstream of the fan and a point in a duct downstream of the fan. The purple curves show the pressure difference Δp_s between a point upstream of the fan and a point in a chamber downstream of the fan. The diagrams are applicable for air density $1,2\text{kg}/\text{m}^3$ and for the recommended motor size's speed at 50Hz .

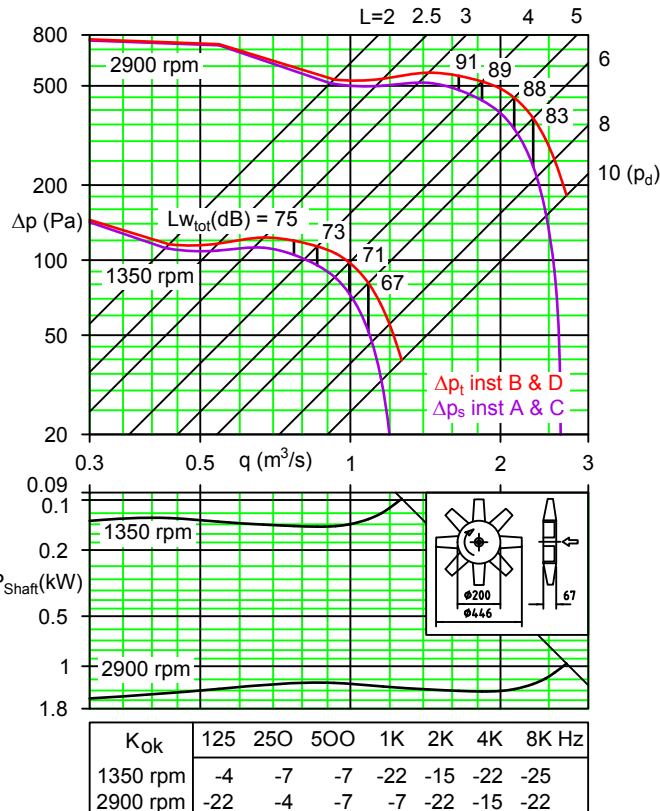
PF25V 040 19° ppt



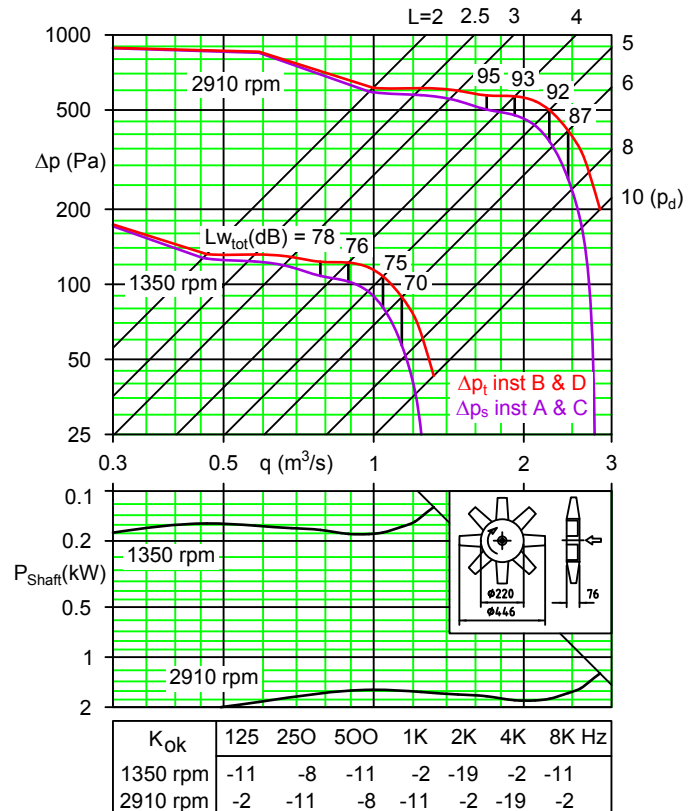
PF25H 040 22° ppt



P20 045 14°



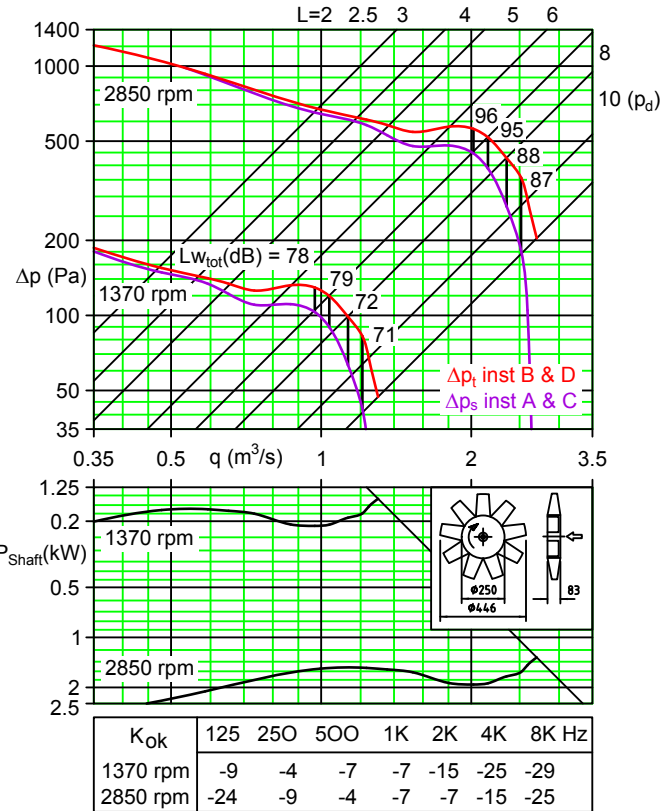
P22 045 18°



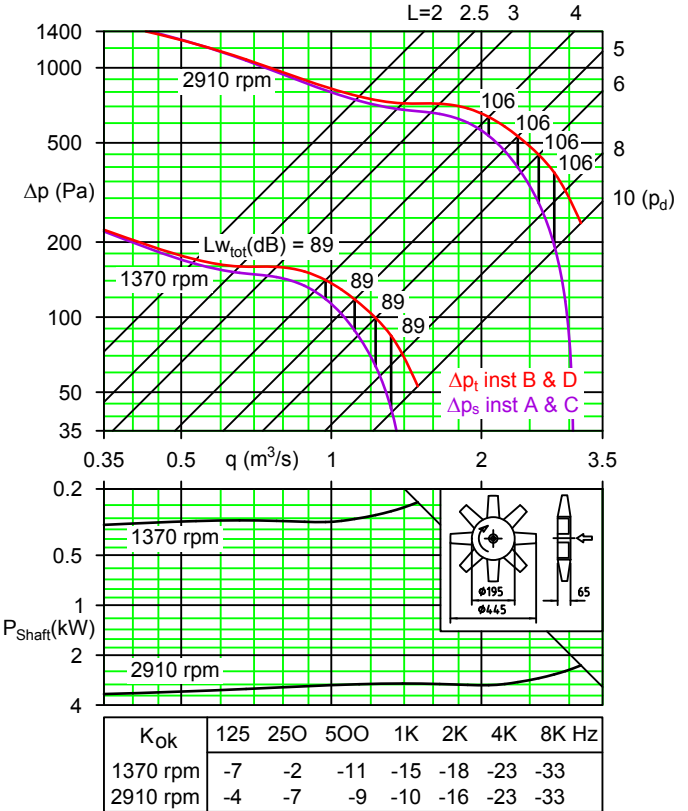
Diagrammens röda kurvor visar tryckskillnaden Δp_t mellan en punkt uppströms fläkten och en punkt i en kanal nedströms fläkten. De lila kurvorna visar tryckskillnaden Δp_s mellan en punkt uppströms fläkten och en punkt i en kammare nedströms fläkten. Diagrammen gäller för densitet $1,2\text{kg}/\text{m}^3$ och för den rekommenderade motorstorlekens varvtal vid 50Hz .

The red curves in the diagrams show the pressure difference Δp_t between a point upstream of the fan and a point in a duct downstream of the fan. The purple curves show the pressure difference Δp_s between a point upstream of the fan and a point in a chamber downstream of the fan. The diagrams are applicable for air density $1,2\text{kg}/\text{m}^3$ and for the recommended motor size's speed at 50Hz .

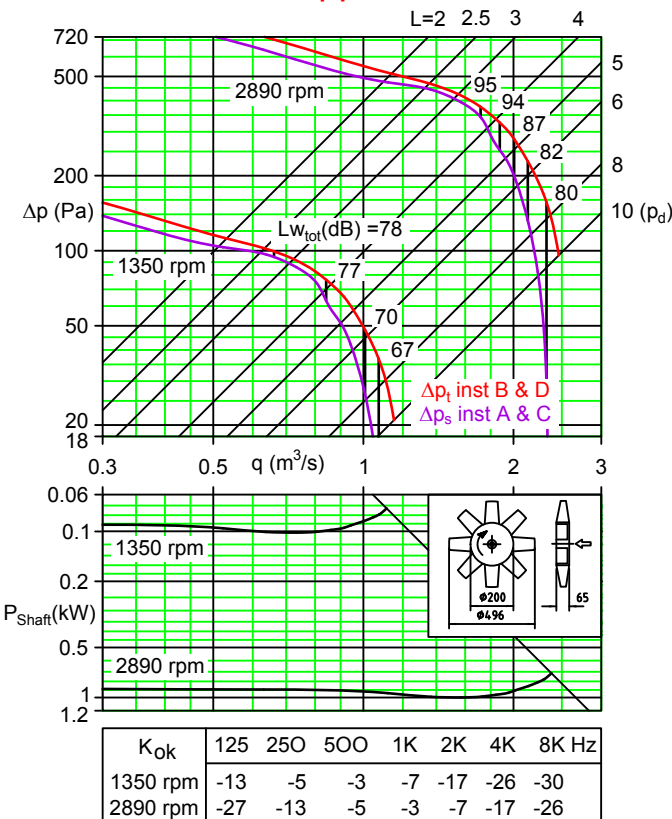
P25 045 21°



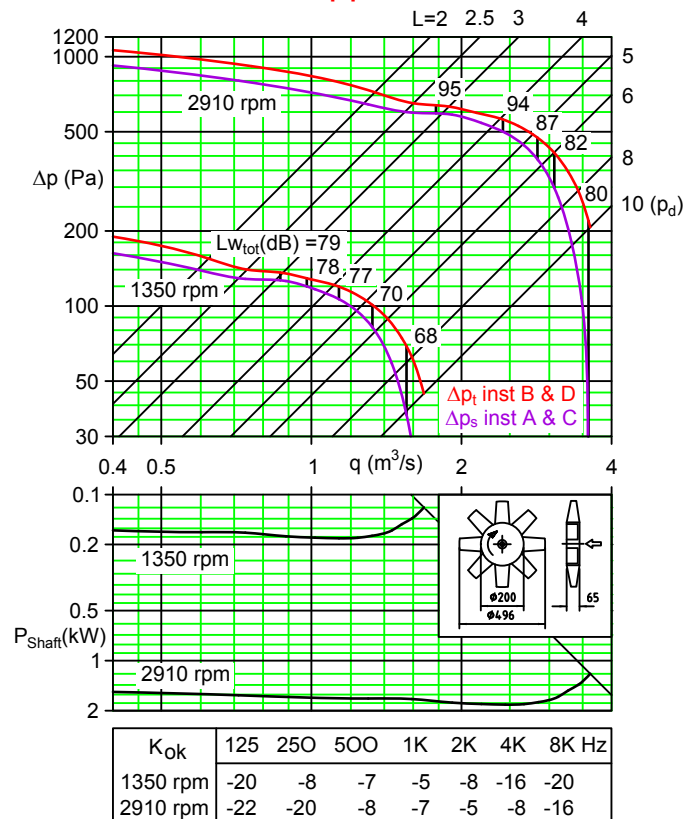
PFV 045 25°



PFLL 050 4° ppt



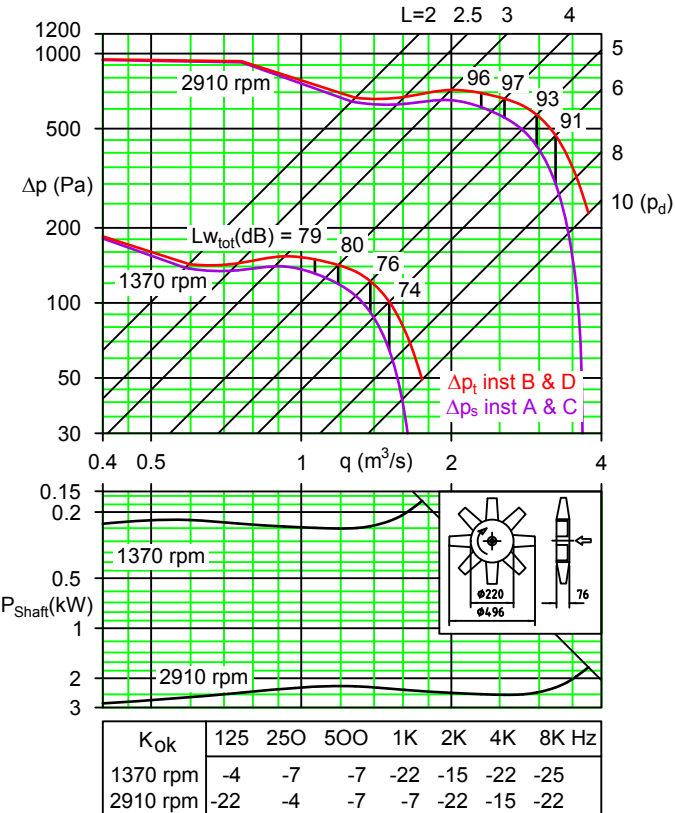
PFL 050 14° ppt



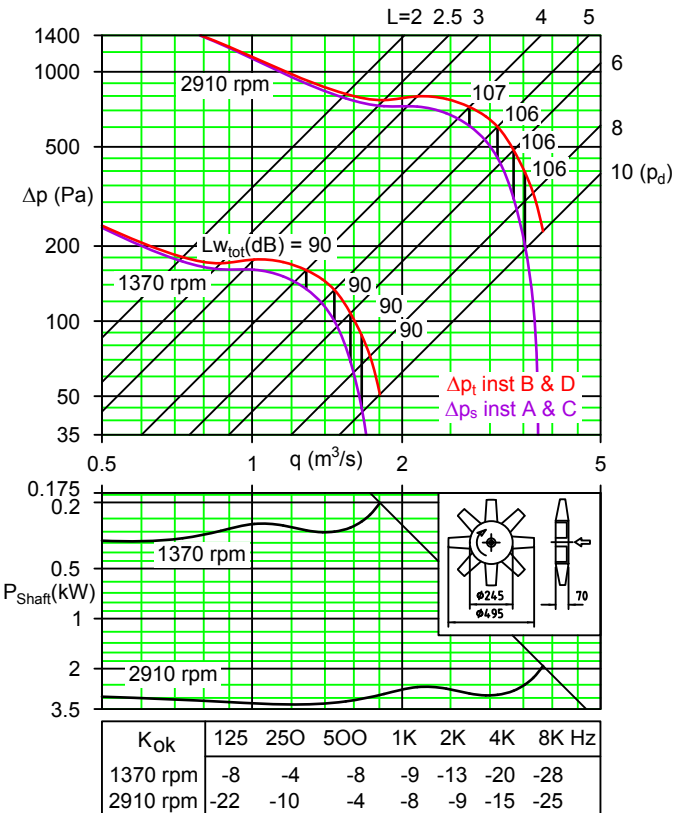
Diagrammens röda kurvor visar tryckskillnaden Δp_t mellan en punkt uppströms fläkten och en punkt i en kanal nedströms fläkten. De lila kurvorna visar tryckskillnaden Δp_s mellan en punkt uppströms fläkten och en punkt i en kammare nedströms fläkten. Diagrammen gäller för densitet $1,2\text{kg}/\text{m}^3$ och för den rekommenderade motorstorlekens varvtal vid 50Hz.

The red curves in the diagrams show the pressure difference Δp_t between a point upstream of the fan and a point in a duct downstream of the fan. The purple curves show the pressure difference Δp_s between a point upstream of the fan and a point in a chamber downstream of the fan. The diagrams are applicable for air density $1,2\text{kg}/\text{m}^3$ and for the recommended motor size's speed at 50Hz.

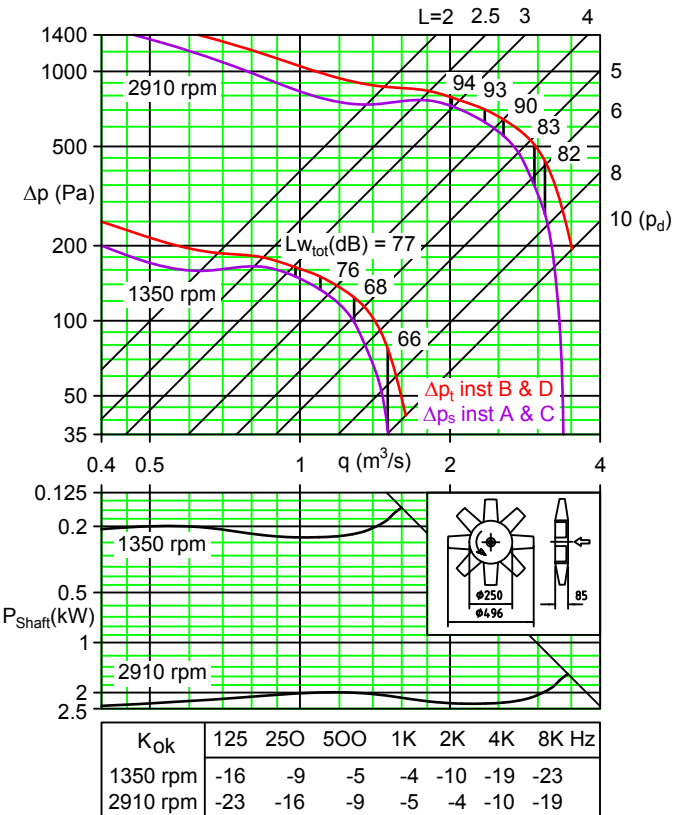
P22 050 17°



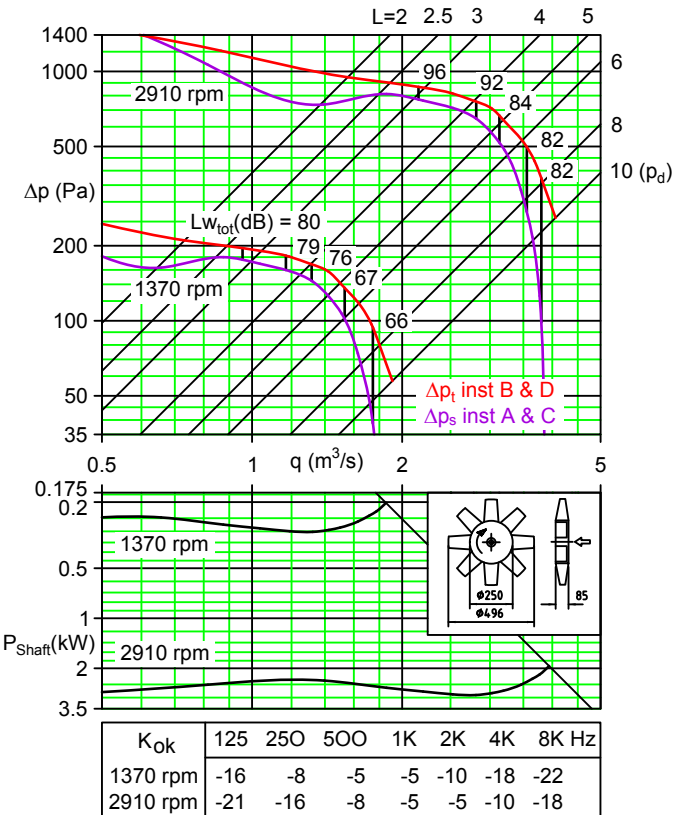
PFV 050 17°



PF25V 050 11° ppt



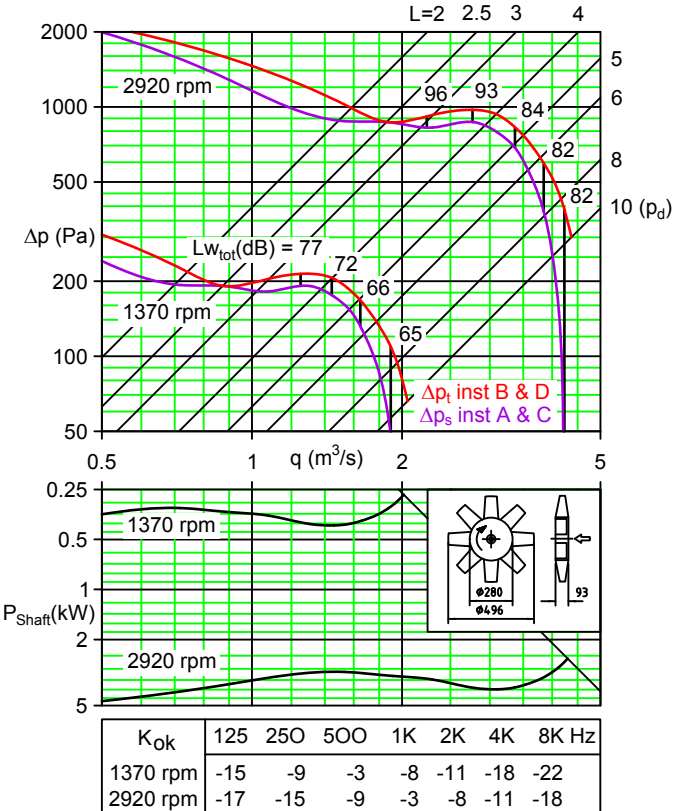
PF25H 050 14.5° ppt



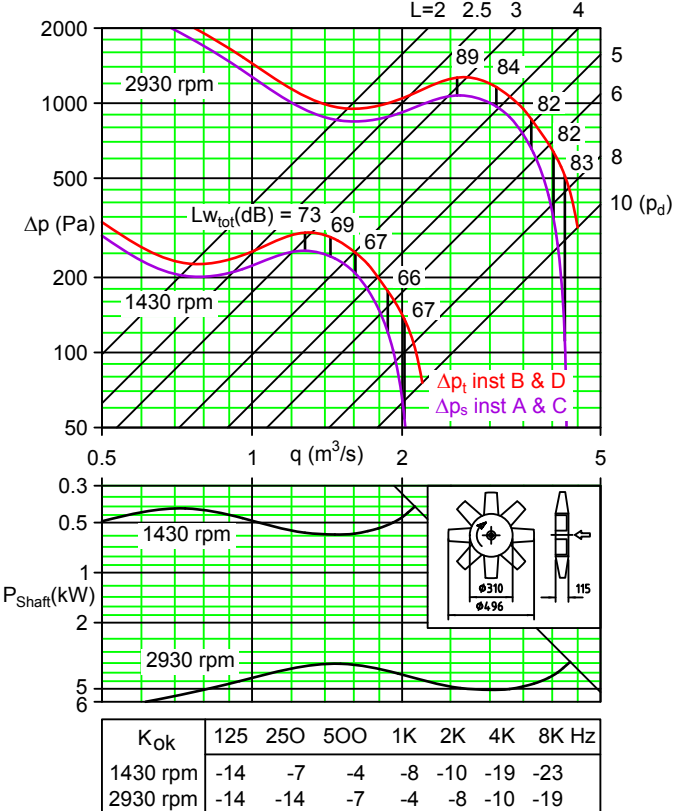
Diagrammens röda kurvor visar tryckskillnaden Δp_t mellan en punkt uppströms fläkten och en punkt i en kanal nedströms fläkten. De lila kurvorna visar tryckskillnaden Δp_s mellan en punkt uppströms fläkten och en punkt i en kammare nedströms fläkten. Diagrammen gäller för densitet $1,2\text{kg}/m^3$ och för den rekommenderade motorstorlekens varvtal vid 50Hz.

The red curves in the diagrams show the pressure difference Δp_t between a point upstream of the fan and a point in a duct downstream of the fan. The purple curves show the pressure difference Δp_s between a point upstream of the fan and a point in a chamber downstream of the fan. The diagrams are applicable for air density $1,2\text{kg}/m^3$ and for the recommended motor size's speed at 50Hz.

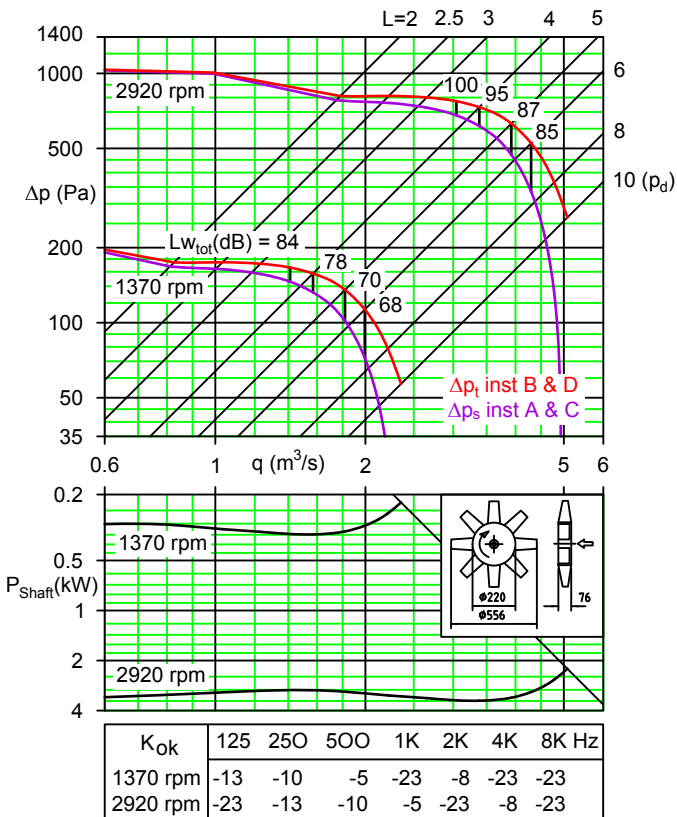
PF28H 050 19,5° ppt



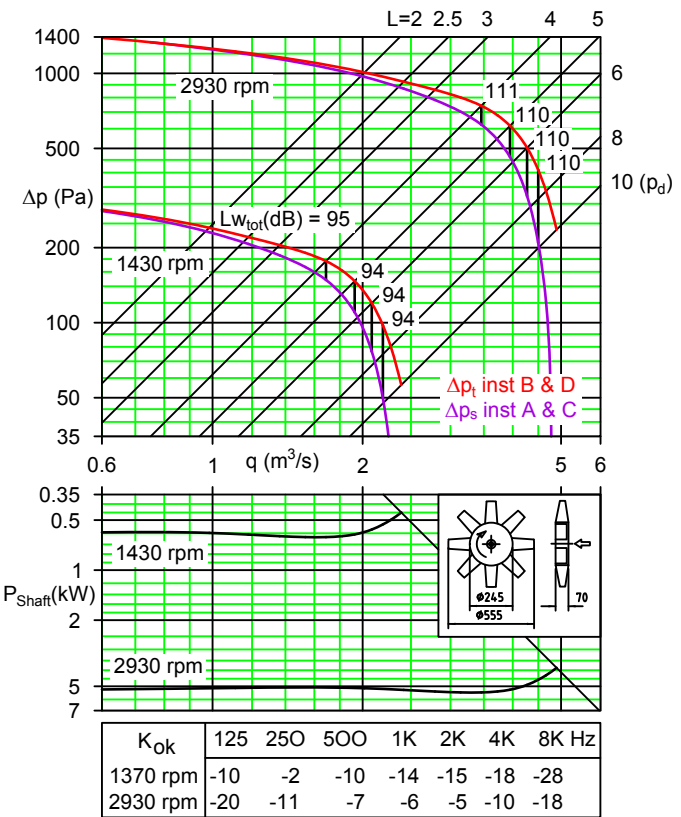
PF31H 050 25° ppt



P22 056 17°



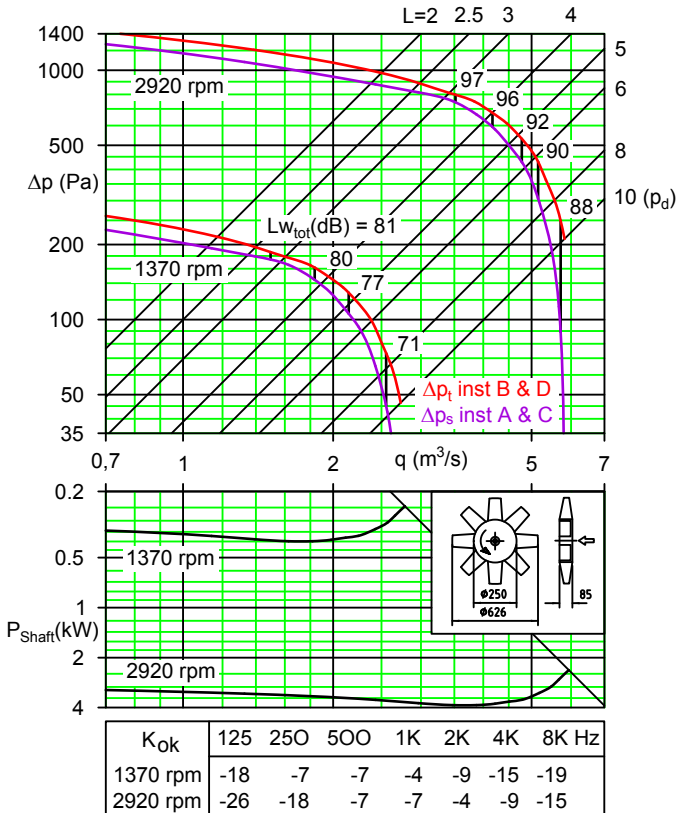
PFV 056 17°



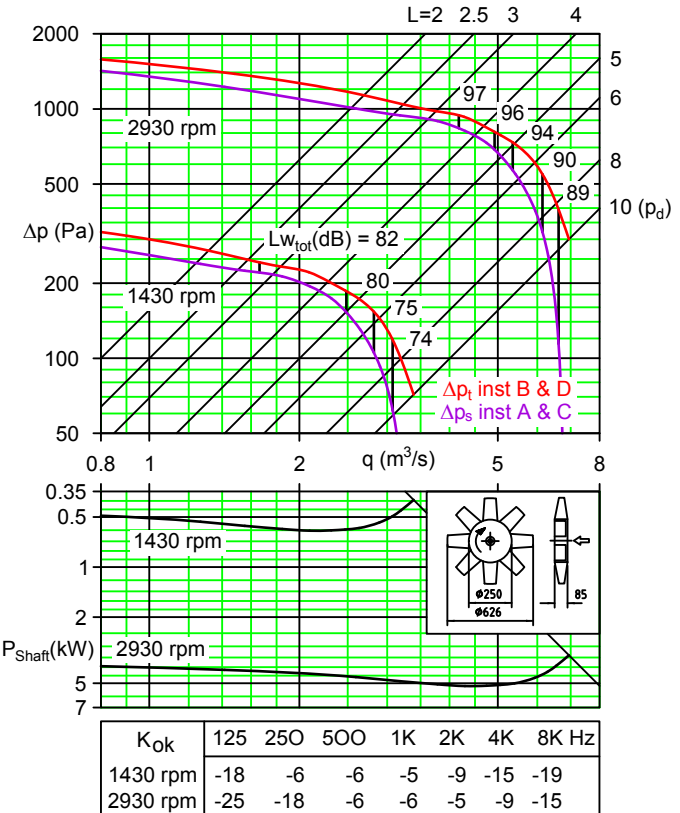
Diagrammens röda kurvor visar tryckskillnaden Δp_t mellan en punkt uppströms fläkten och en punkt i en kanal nedströms fläkten. De lila kurvorna visar tryckskillnaden Δp_s mellan en punkt uppströms fläkten och en punkt i en kammare nedströms fläkten. Diagrammen gäller för densitet $1,2\text{kg}/\text{m}^3$ och för den rekommenderade motorstorlekens varvtal vid 50Hz .

The red curves in the diagrams show the pressure difference Δp_t between a point upstream of the fan and a point in a duct downstream of the fan. The purple curves show the pressure difference Δp_s between a point upstream of the fan and a point in a chamber downstream of the fan. The diagrams are applicable for air density $1,2\text{kg}/\text{m}^3$ and for the recommended motor size's speed at 50Hz .

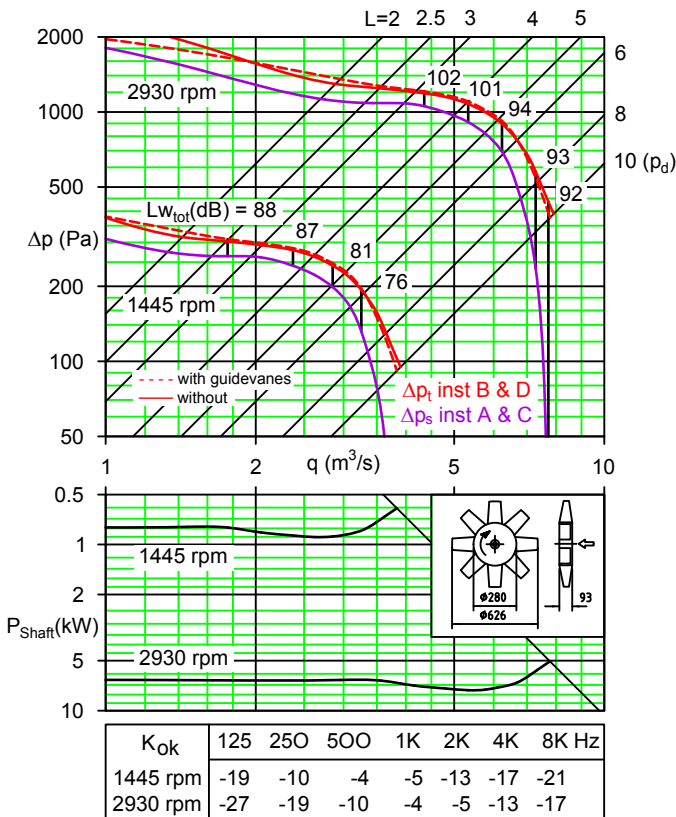
PF25V 063 7° ppt



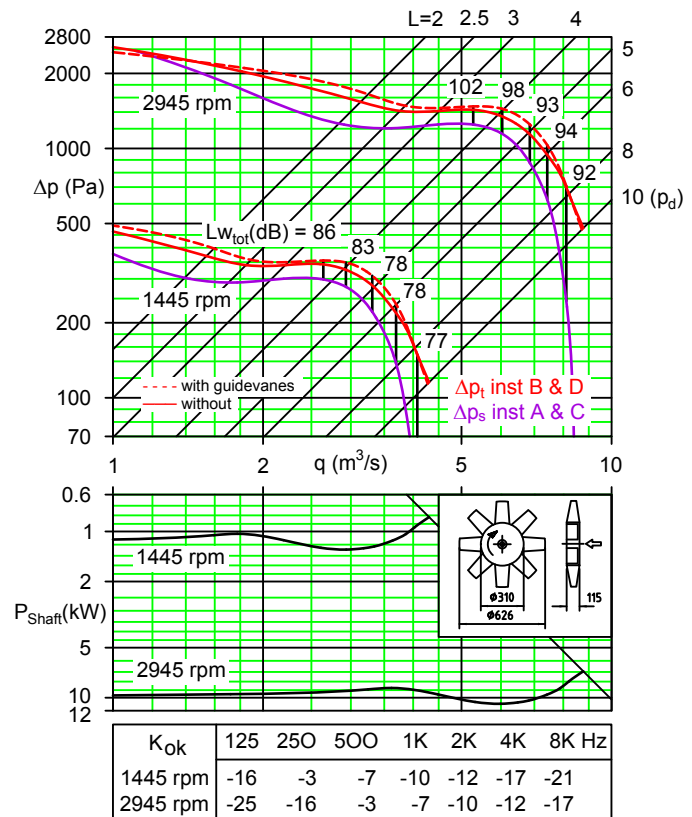
PF25H 063 11° ppt



PF28H 063 14° ppt



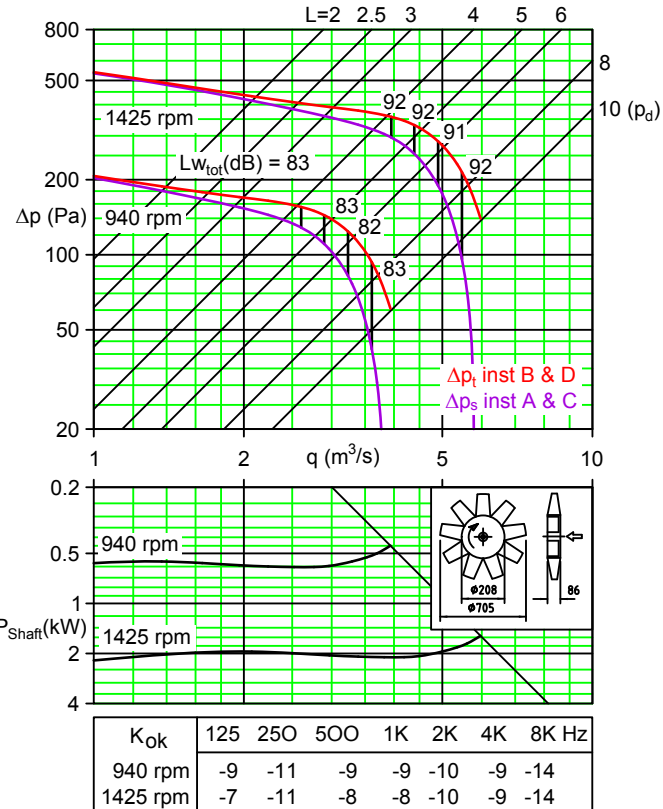
PF31H 063 18,5° ppt



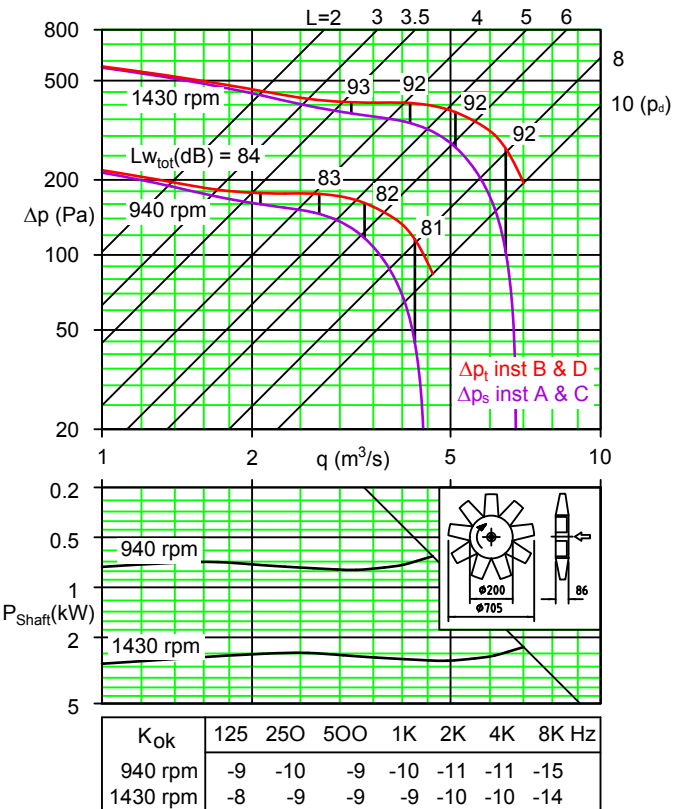
Diagrammens röda kurvor visar tryckskillnaden Δp_t mellan en punkt uppströms fläktens och en punkt i en kanal nedströms fläktens. De lila kurvorna visar tryckskillnaden Δp_s mellan en punkt uppströms fläktens och en punkt i en kammare nedströms fläktens. Diagrammen gäller för densitet $1,2\text{kg}/\text{m}^3$ och för den rekommenderade motorstorlekens varvtal vid 50Hz .

The red curves in the diagrams show the pressure difference Δp_t between a point upstream of the fan and a point in a duct downstream of the fan. The purple curves show the pressure difference Δp_s between a point upstream of the fan and a point in a chamber downstream of the fan. The diagrams are applicable for air density $1,2\text{kg}/\text{m}^3$ and for the recommended motor size's speed at 50Hz .

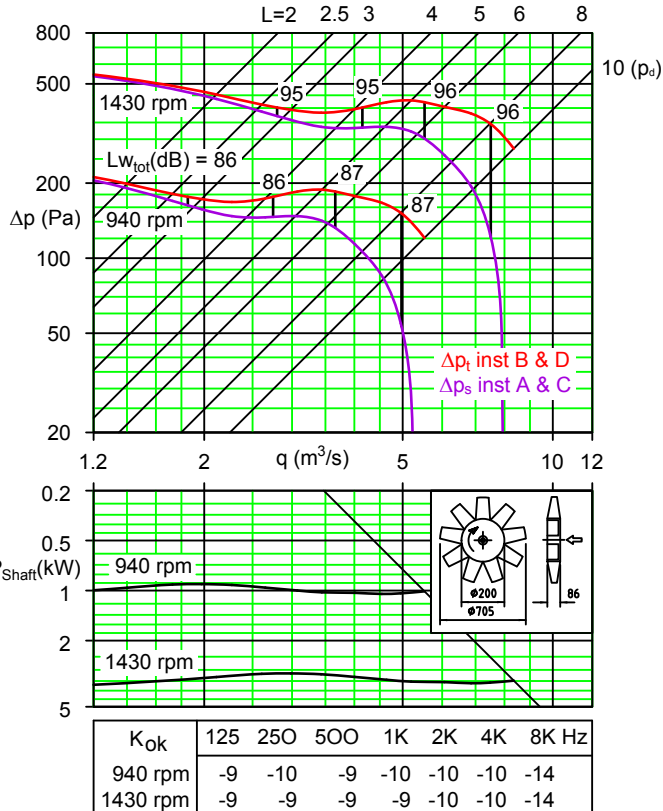
MW 071 32.5°



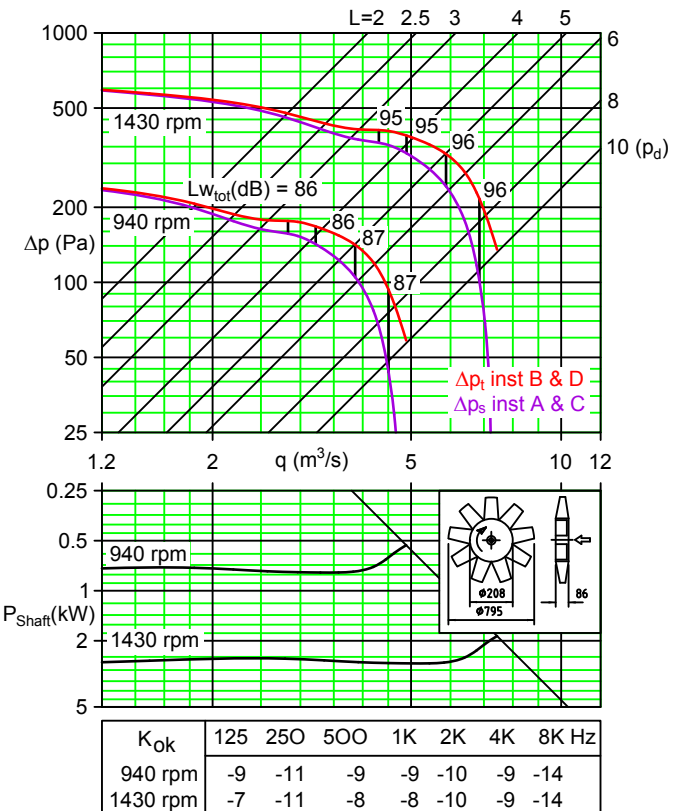
MW 071 37.5°



MW 071 45°



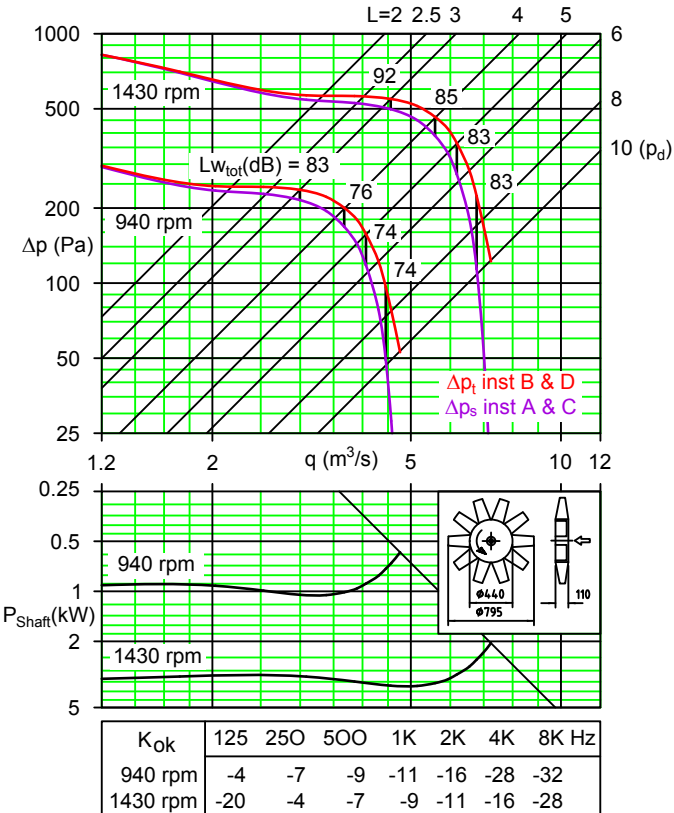
MW 080 30°



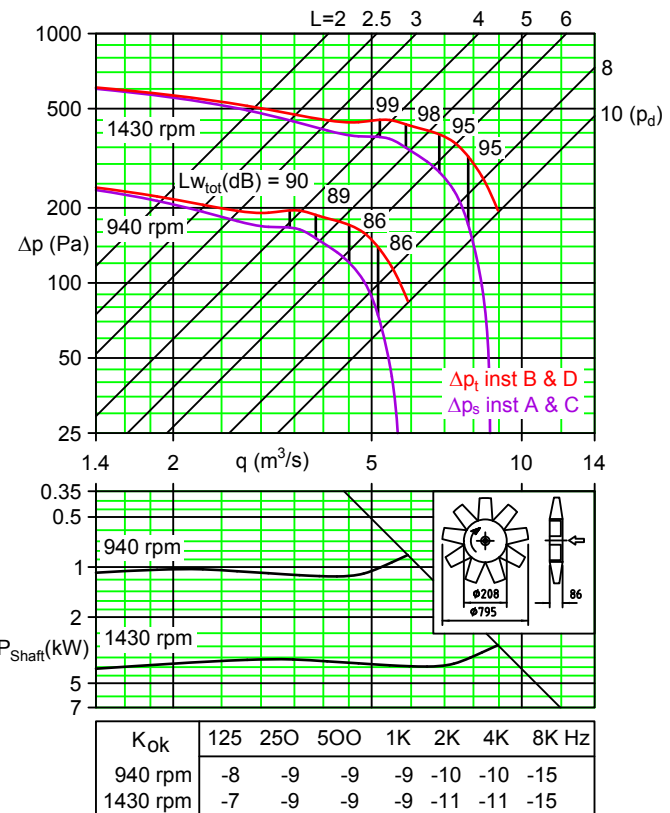
Diagrammens röda kurvor visar tryckskillnaden Δp_t mellan en punkt uppströms fläkten och en punkt i en kanal nedströms fläkten. De lila kurvorna visar tryckskillnaden Δp_s mellan en punkt uppströms fläkten och en punkt i en kammare nedströms fläkten. Diagrammen gäller för densitet $1,2\text{kg}/\text{m}^3$ och för den rekommenderade motorstorlekens varvtal vid 50Hz .

The red curves in the diagrams show the pressure difference Δp_t between a point upstream of the fan and a point in a duct downstream of the fan. The purple curves show the pressure difference Δp_s between a point upstream of the fan and a point in a chamber downstream of the fan. The diagrams are applicable for air density $1,2\text{kg}/\text{m}^3$ and for the recommended motor size's speed at 50Hz .

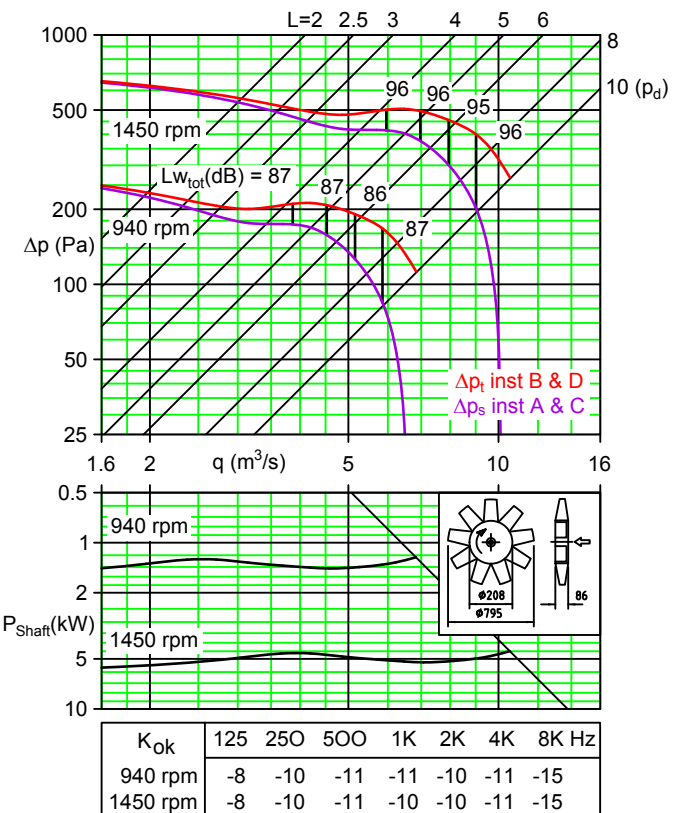
PF44V 080 15°



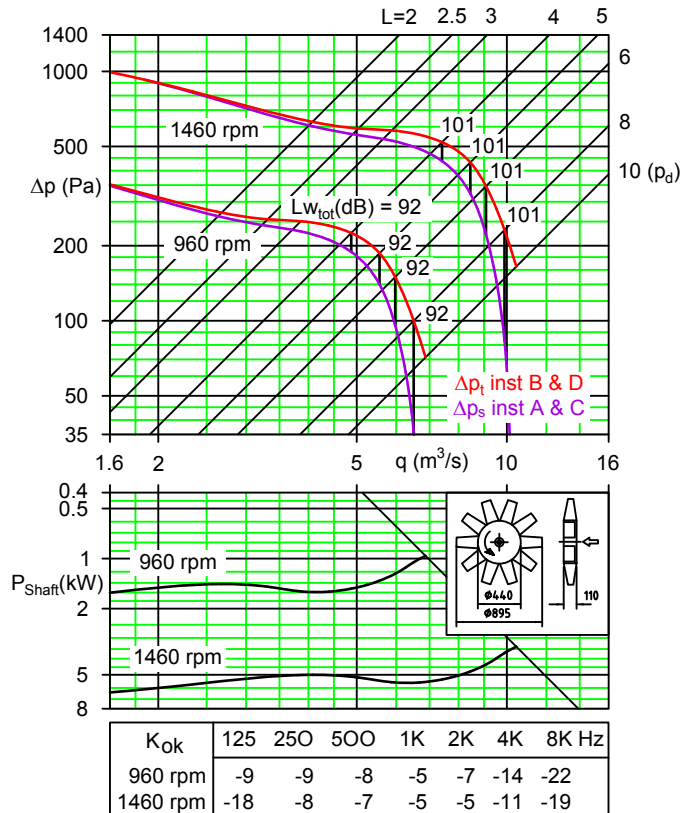
MW 080 35°



MW 080 40°



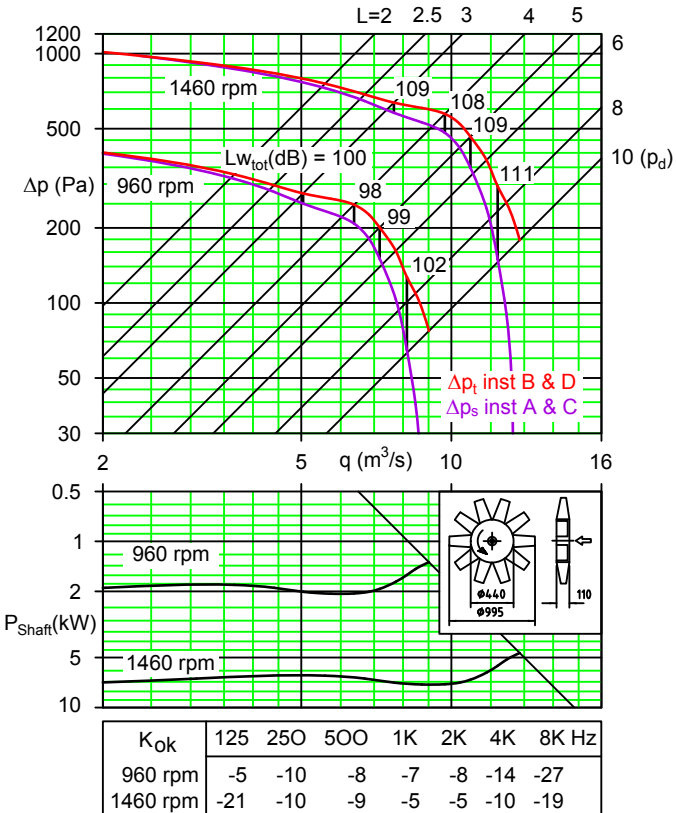
PF 090 14°



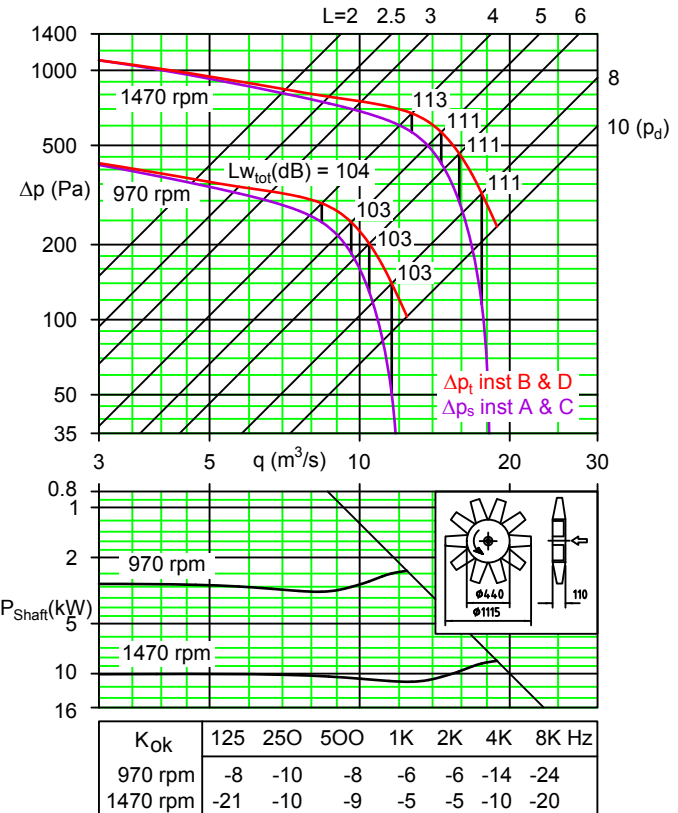
Diagrammens röda kurvor visar tryckskillnaden Δp , mellan en punkt uppströms fläkten och en punkt i en kanal nedströms fläkten. De lila kurvorna visar tryckskillnaden Δp_s , mellan en punkt uppströms fläkten och en punkt i en kammare nedströms fläkten. Diagrammen gäller för densitet $1,2\text{kg}/\text{m}^3$ och för den rekommenderade motorstorlekens varvtal vid 50Hz .

The red curves in the diagrams show the pressure difference Δp_t between a point upstream of the fan and a point in a duct downstream of the fan. The purple curves show the pressure difference Δp_s between a point upstream of the fan and a point in a chamber downstream of the fan. The diagrams are applicable for air density $1,2\text{kg}/\text{m}^3$ and for the recommended motor size's speed at 50Hz .

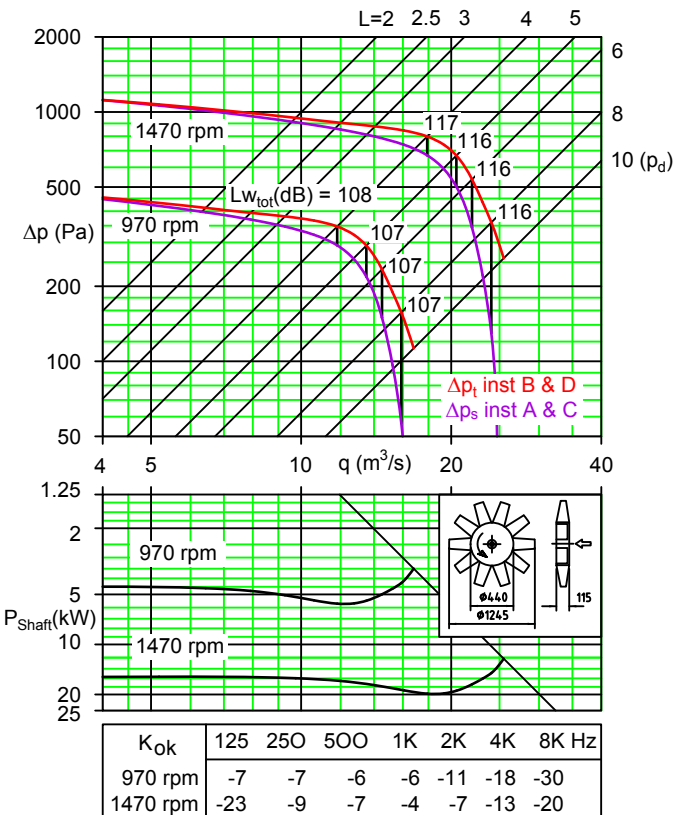
PF 100 12°



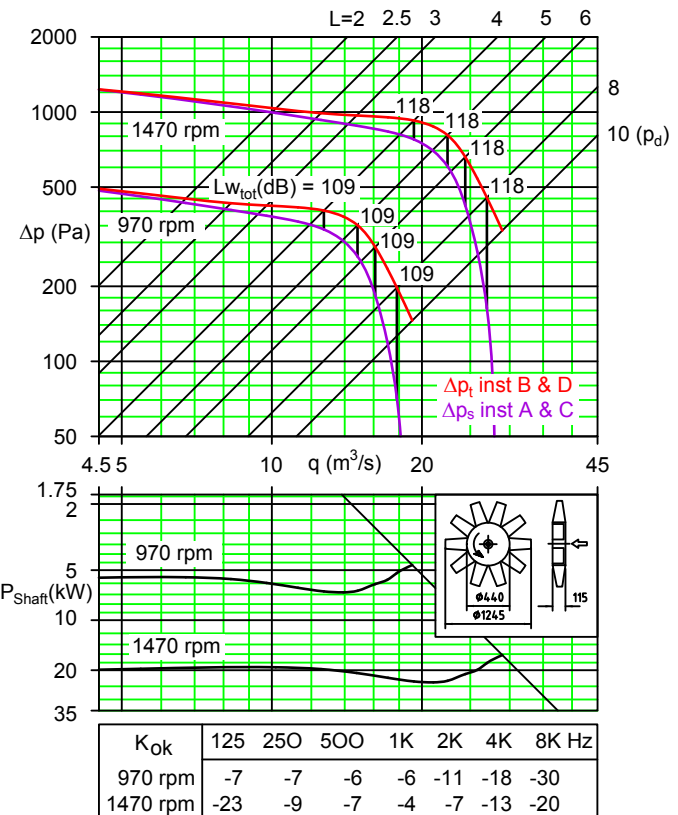
PF 112 14°



PF 125 14.5°



PF 125 18°



Diagrammens röda kurvor visar tryckskillnaden Δp_t mellan en punkt uppströms fläkten och en punkt i en kanal nedströms fläkten. De lila kurvorna visar tryckskillnaden Δp_s mellan en punkt uppströms fläkten och en punkt i en kammare nedströms fläkten. Diagrammen gäller för densitet $1,2\text{kg}/\text{m}^3$ och för den rekommenderade motorstorlekens varvtal vid 50Hz.

The red curves in the diagrams show the pressure difference Δp_t between a point upstream of the fan and a point in a duct downstream of the fan. The purple curves show the pressure difference Δp_s between a point upstream of the fan and a point in a chamber downstream of the fan. The diagrams are applicable for air density $1,2\text{kg}/\text{m}^3$ and for the recommended motor size's speed at 50Hz.



PFJ

Justerbara axialfläkthjul *Axial impellers with adjustable pitch angle*

Akrons axialfläkthjul PFJ1 och PFJ2 med justerbara blad möjliggör optimering för maximal prestanda och bästa ekonomi. PFJ1 tillhandahålls i storlekar 063 - 200 och PFJ2 i storlekar 100 - 160.

PFJ-hjulen består av ett nav med ett antal påmonterade blad. Tillnaven används aluminiumlegering EN-AB-46200 och tillbladen EN-AB-44100. Stålplåten i de större naven PFJ-76 och -96 är både förzinkad och pulverlackerad. Nav och blad är avsedda för temperaturer upp till 200C och miljöer utan korrosiva komponenter såsom klorider, syror etc.

Naven finns i följande typer och storlekar:

- **PFJ-40L.** Helgjutna nav för normala förhållanden.
- **PFJ-40F.** Helgjutna nav för höga varvtal och/eller höga temperaturer.
- **PFJ-40FV.** Helgjutna nav för extrema förhållanden.
- **PFJ-56L.** Helgjutna nav för normala förhållanden.
- **PFJ-56F.** Helgjutna nav för höga varvtal och/eller höga temperaturer.
- **PFJ-76.** Monterade, extra kraftiga nav av gjutgods och stålplåt.
- **PFJ-96.** Monterade, extra kraftiga nav av gjutgods och stålplåt.

Akron's axial impellers PFJ1 and PFJ2 with adjustable blades allow optimization for maximum performance and best economy. PFJ1 is available in sizes 063 - 200 and PFJ2 in sizes 100 - 160.

The PFJ impellers consist of a number of blades mounted on a hub. Aluminium alloy EN-AB-46200 is used for the hubs and EN-AB-44100 for the blades. The steel in the larger hubs PFJ-76 and -96 is both galvanized and powder coated. Hubs and blades are intended for temperatures up to 200C and environments without corrosive components such as chlorides, acids etc.

The hubs are available in the following types and sizes:

- **PFJ-40L.** Solid cast hubs for normal conditions.
- **PFJ-40F.** Solid cast hubs for high speeds and/or high temperatures.
- **PFJ-40FV.** Solid cast hubs for extreme conditions.
- **PFJ-56L.** Solid cast hubs for normal conditions.
- **PFJ-56F.** Solid cast hubs for high speeds and/or high temperatures.
- **PFJ-76.** Extra strong hubs built from castings and steel plates.
- **PFJ-96.** Extra strong hubs built from castings and steel plates.



PFJ1 - bärplansprofilerade blad PFJ1 - aerofoil profiled blades

PFJ1 har bärplansprofilerade blad och kan monteras i fläktchassin med eller utan ledskenor. Ledskenor riktar upp luftströmmen och ökar fläktens tryckuppsättning och verkningsgrad samt minskar tryckförlusterna nedströms i ett kanalsystem. Diagrammen för PFJ1 gäller för installationer med ledskenor.

- Bladvinklar 25° till 50° i steg om 0,5°.
- Medurs rotation sett från sugsidan (=höger).

PFJ1 impellers are fitted with aerofoil profiled blades and may be used in fan casings with or without guide vanes. Guide vanes straighten the air flow and increases the pressure development and efficiency. The pressure losses in the downstream duct are also reduced. The diagrams for PFJ1 are valid for guide vane applications.

- Pitch angles 25° to 50° with steps of 0,5°.
- Clockwise rotation seen from low pressure side (=right).



PFJ2 - symmetriskt profilerade blad PFJ2 - symmetrically profiled blades

PFJ2 har symmetriskt profilerade blad och ger bibe-hållen kapacitet och verkningsgrad vid reversering och lämpar sig därför väl i applikationer där flödesriktningen skall kunna växlas; i virkestorkar, vägtunnlar etc. PFJ2 monteras alltid i fläktchassi utan ledskenor.

- Bladvinklar från 25° till 45° i steg om 0,5°.
- Medurs rotation sett från sugsidan (=höger).
- Samtliga fläktjhjul med PFJ2-blad har rostfria monterings- och balanseringsdetaljer.

PFJ2 impellers are fitted with symmetrically profiled blades to retain capacity and efficiency when reversed. They are well suited for applications where the air flow direction needs to be altered; timber drying kilns, road tunnels etc. PFJ2 impellers are always fitted in casings without guide vanes.

- Pitch angles from 25° to 45° with steps of 0,5°.
- Clockwise rotation seen from low pressure side (=right).
- All impellers with PFJ2 blades has stainless mounting and balancing components.

Monteringssatser

Satserna används vid montage av fläktjhjulet på motoraxeln och finns i olika utföranden:

- Utan navkapsel, med rostfria detaljer. Endast för ren miljöer där smuts etc inte riskerar fastna på navets insida. Passar samtliga PFJ1 och PFJ2 med navstorlekar 40 och 56cm.
- Med noskon i aluminium och rostfria detaljer. För aerodynamisk inströmning och för smutsbemängda miljöer. Passar PFJ1-40 och -56 med luftriktning FM.
- Med plan rostfri kåpa och rostfria detaljer. För smutsbemängda miljöer. Passar PFJ1-40 och -56 med luftriktning MF och samtliga PFJ2.
- Med plan rostfri kåpa och förzinkade detaljer. Passar PFJ1-76 och -96.

Mounting kits

Mounting kits are used when fitting the impeller on the motor shaft and are available for different applications:

- Without hubcap, with stainless details. Only for clean environments without risk of dirt etc getting stuck on the inside of the hub. Suitable for all PFJ1 and PFJ2 with hub sizes 40 and 56 cm.
- With nose cone of aluminium and stainless details. For aerodynamic entry of air into the impeller and for air containing particles or dirt. Suitable for PFJ1-40 and -56 with FM direction of air.
- With flat stainless cap and stainless details. For air containing particles or dirt. Suitable for PFJ1-40 and -56 with MF direction of air and for all PFJ2.
- With flat stainless cap and zinc coated details. Suitable for PFJ1-76 and -96.

Teknisk standarddata PFJ1 och PFJ2 ▪ Technical standard data PFJ1 and PFJ2

| Nav Hub [cm] | Storlek Size | Ø Fläkthjul Ø Impeller [mm] | Max varvtal Max speed [rpm] | Bal.grad Bal. grade | 6 blades | | 9 blades | | 12 blades | |
|--------------------|-----------------|-----------------------------------|-----------------------------------|------------------------|-----------|--------------------------|-----------|--------------------------|-----------|--------------------------|
| | | | | | m [kg] | J [kgm ²] | m [kg] | J [kgm ²] | m [kg] | J [kgm ²] |
| 40L | 063 | 625 | 1500 | 4,0 | 14,7 | 0,53 | 17,4 | 0,69 | 20,1 | 0,84 |
| | 071 | 705 | 1500 | 4,0 | 15,8 | 0,67 | 19,0 | 0,89 | 22,3 | 1,11 |
| | 080 | 795 | 1500 | 4,0 | 17,0 | 0,83 | 20,8 | 1,14 | 24,7 | 1,45 |
| | 090 | 895 | 1500 | 4,0 | 18,2 | 1,04 | 22,7 | 1,46 | 27,2 | 1,87 |
| | 100 | 995 | 1500 | 4,0 | 19,3 | 1,29 | 24,4 | 1,83 | 29,4 | 2,38 |
| | 112 | 1114 | 1500 | 4,0 | 20,5 | 1,64 | 26,2 | 2,35 | 31,9 | 3,06 |
| | 125 | 1243 | 1500 | 4,0 | 21,8 | 2,04 | 28,1 | 2,95 | 34,3 | 3,86 |
| 40F | 063 | 625 | 3000 | 4,0 | 19,8 | 0,67 | 22,9 | 0,83 | 25,9 | 0,99 |
| | 071 | 705 | 3000 | 4,0 | 20,9 | 0,80 | 24,5 | 1,03 | 28,1 | 1,26 |
| | 080 | 795 | 3000* | 4,0 | 22,1 | 0,97 | 26,3 | 1,28 | 30,5 | 1,60 |
| | 090 | 895 | 3000** | 4,0 | 23,4 | 1,18 | 28,2 | 1,60 | 33,0 | 2,02 |
| | 100 | 995 | 1500 | 4,0 | 24,5 | 1,44 | 29,9 | 1,98 | 35,2 | 2,53 |
| | 112 | 1114 | 1500 | 4,0 | 25,7 | 1,79 | 31,7 | 2,50 | 37,7 | 3,22 |
| | 125 | 1243 | 1500 | 4,0 | 26,9 | 2,20 | 33,5 | 3,11 | 40,1 | 4,02 |
| 56L | 090 | 895 | 1500 | 4,0 | 40,7 | 3,03 | 48,1 | 3,95 | 55,5 | 4,87 |
| | 100 | 995 | 1500 | 4,0 | 43,5 | 3,72 | 52,3 | 5,13 | 61,1 | 6,54 |
| | 112 | 1114 | 1000 | 4,0 | 46,7 | 4,58 | 57,1 | 6,57 | 67,5 | 8,56 |
| | 125 | 1243 | 1000 | 4,0 | 49,9 | 5,64 | 61,9 | 8,22 | 73,9 | 10,80 |
| | 140 | 1393 | 1000 | 4,0 | 53,2 | 7,08 | 66,8 | 10,29 | 80,4 | 13,50 |
| | 160 | 1592 | 1000 | 4,0 | 57,0 | 9,19 | 72,6 | 13,19 | 88,1 | 17,19 |
| 56F | 090 | 895 | 3000* | 4,0 | 50,8 | 3,56 | 57,5 | 4,41 | 64,2 | 5,25 |
| | 100 | 995 | 3000* | 4,0 | 53,6 | 4,24 | 61,7 | 5,43 | 69,7 | 6,62 |
| | 112 | 1114 | 1500 | 4,0 | 56,8 | 5,11 | 66,4 | 6,72 | 76,1 | 8,34 |
| | 125 | 1243 | 1500 | 4,0 | 60,0 | 6,16 | 71,3 | 8,31 | 82,5 | 10,45 |
| | 140 | 1393 | 1500 | 4,0 | 63,3 | 7,60 | 76,1 | 10,47 | 89,0 | 13,33 |
| | 160 | 1592 | 1500 | 4,0 | 67,1 | 9,72 | 82,0 | 13,66 | 96,8 | 17,59 |
| 76 | 125 | 1243 | 1500 | 4,0 | 94,5 | 10,43 | 109,5 | 13,3 | 124,4 | 16,09 |
| | 140 | 1393 | 1500 | 4,0 | 98,2 | 12,04 | 115,0 | 15,7 | 131,8 | 19,33 |
| | 160 | 1592 | 1500 | 4,0 | 102,6 | 14,5 | 121,6 | 19,4 | 140,6 | 24,23 |
| | 180 | 1791 | 1500 | 4,0 | 106,4 | 17,24 | 127,4 | 23,5 | 148,3 | 29,72 |
| | | | | | 8 blades | | 12 blades | | 16 blades | |
| 96 | 140 | 1393 | 1500 | 4,0 | 144,5 | 22,5 | 165,4 | 27,97 | 181,2 | 32,53 |
| | 160 | 1592 | 1500 | 4,0 | 151,2 | 26,24 | 175,6 | 33,63 | 194,6 | 40,01 |
| | 180 | 1791 | 1500 | 4,0 | 157,2 | 30,48 | 184,6 | 39,98 | 206,3 | 48,39 |
| | 200 | 1990 | 1500 | 4,0 | 162,4 | 35,07 | 192,1 | 46,78 | 216,6 | 57,54 |

*) Max varvtal för fläkthjul med värmebehandlade blad.

**) Max varvtal för fläkthjul med värmebehandlade nav och blad.

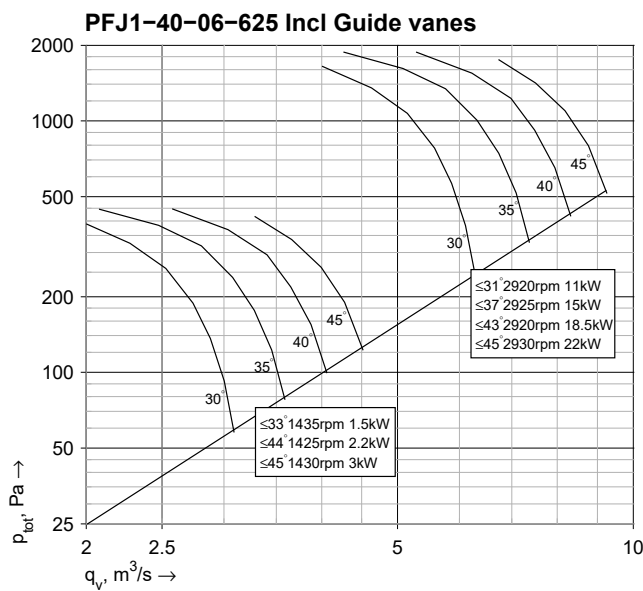
*) Max speed for impeller with heat treated blades.

**) Max speed for impeller with heat treated hub and blades.

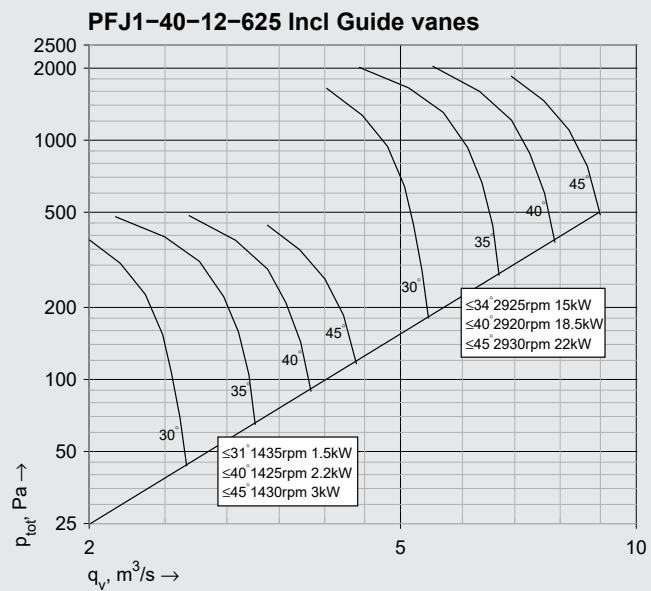
- Diagrammen för fläkthjul **PFJ1** visar tryckskillnaden Δp_t mellan en punkt uppströms fläkten och en punkt i en kanal nedströms fläkten.
- Diagrammen för reverserbara fläkthjul **PFJ2** visar tryckskillnaden Δp_s mellan en kammare uppströms fläkten och en kammare nedströms fläkten.
- Samtliga diagram gäller för densitet 1,2kg/m³ och för den rekommenderade motorstorlekens varvtal vid 50Hz.

- The diagrams for impellers **PFJ1** show the pressure difference Δp_t between a point upstream of the fan and a point in a duct downstream of the fan.
- The diagrams for reversible impellers **PFJ2** show the pressure difference Δp_s between a chamber upstream of the fan and a chamber downstream of the fan.
- All diagrams are applicable for air density 1,2kg/m³ and for the recommended motor size's speed at 50Hz.

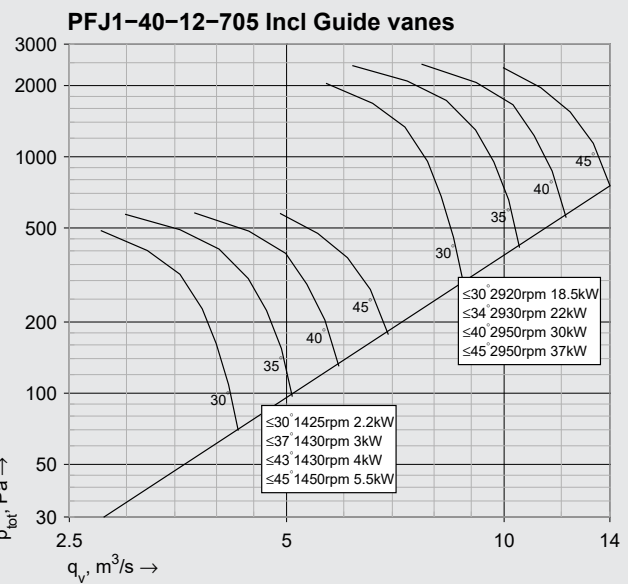
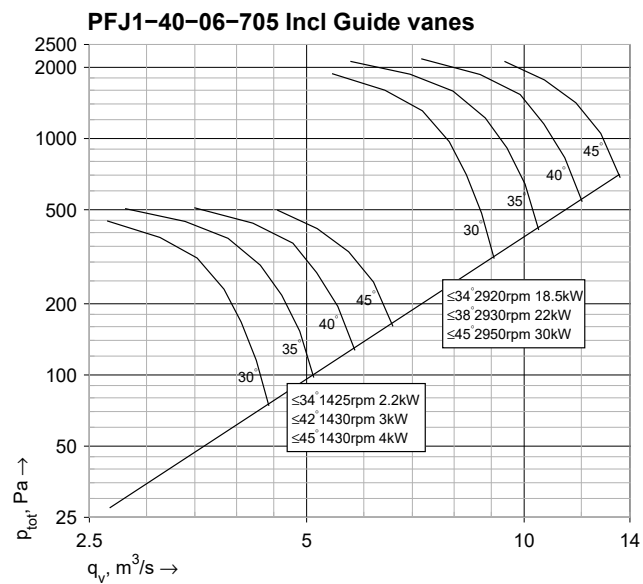
PFJ1 ø 40 - 6 blad / blades



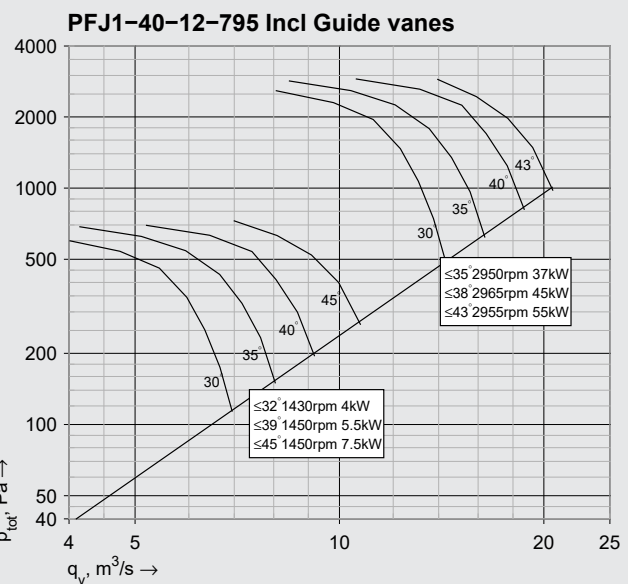
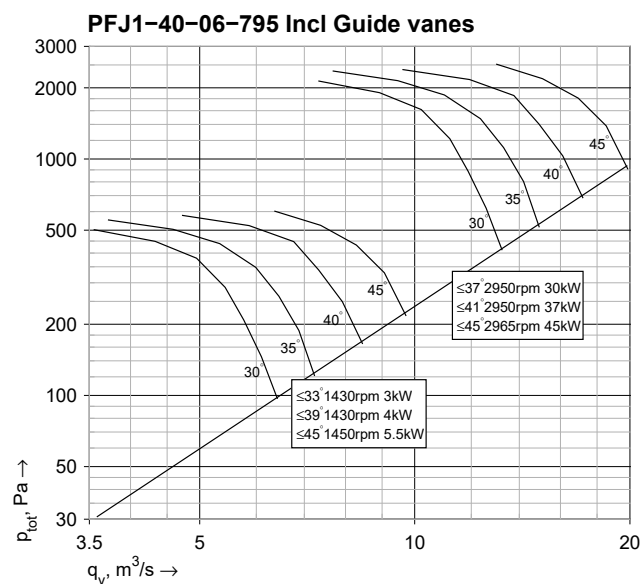
12 blad / blades



090



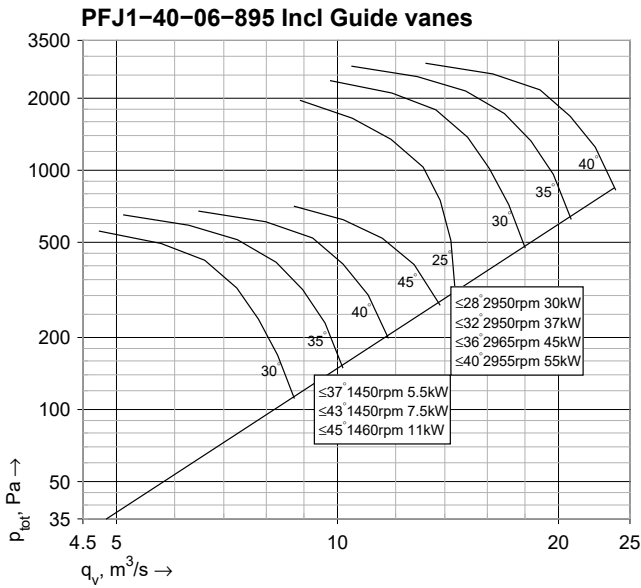
071



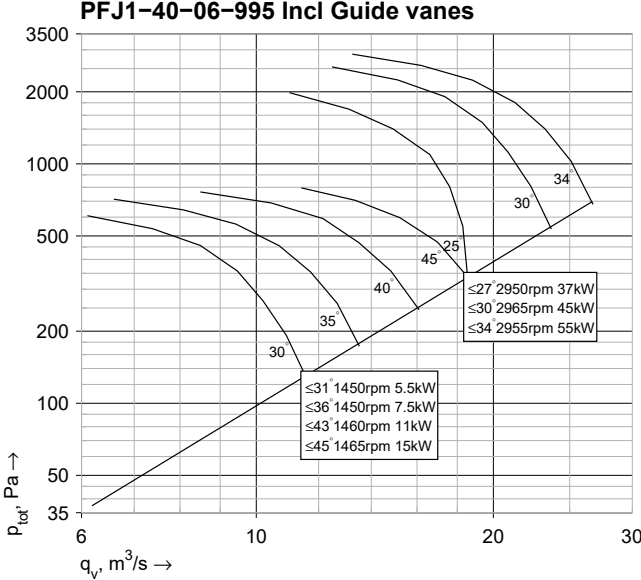
080

PFJ1 ø 40 - 6 blad / blades

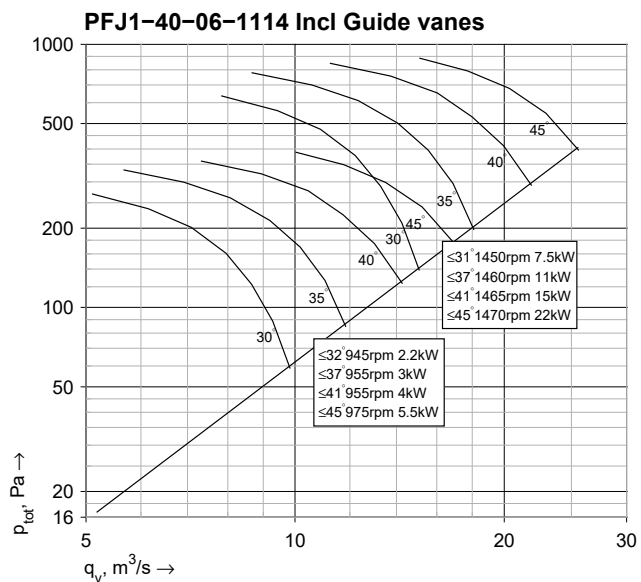
090



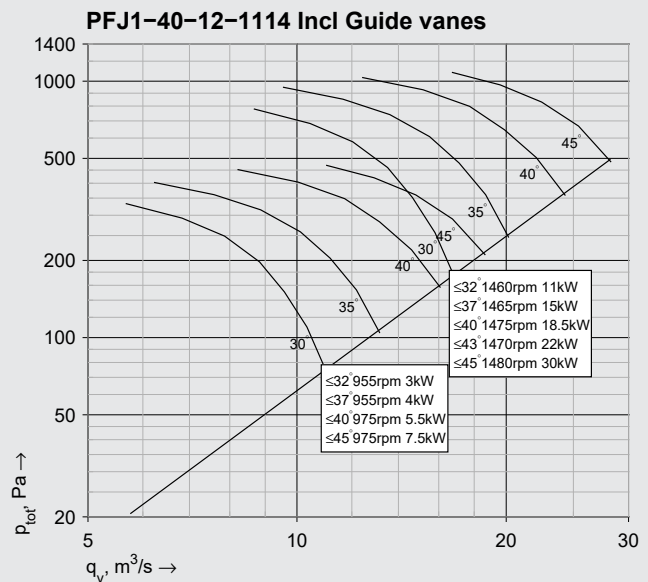
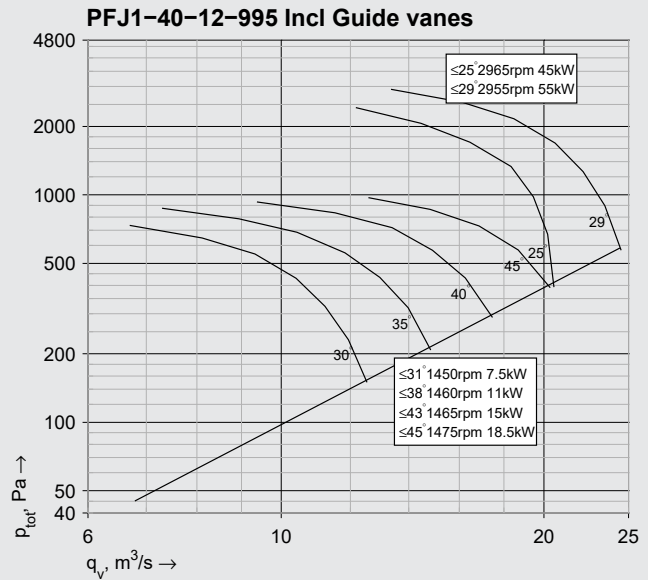
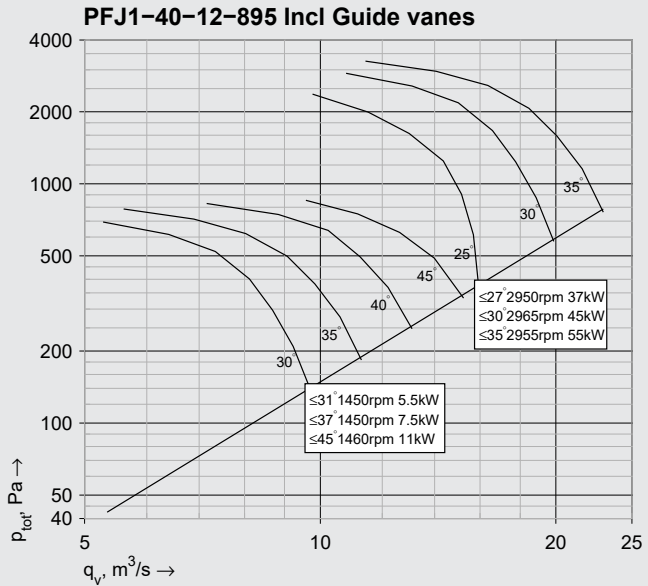
100



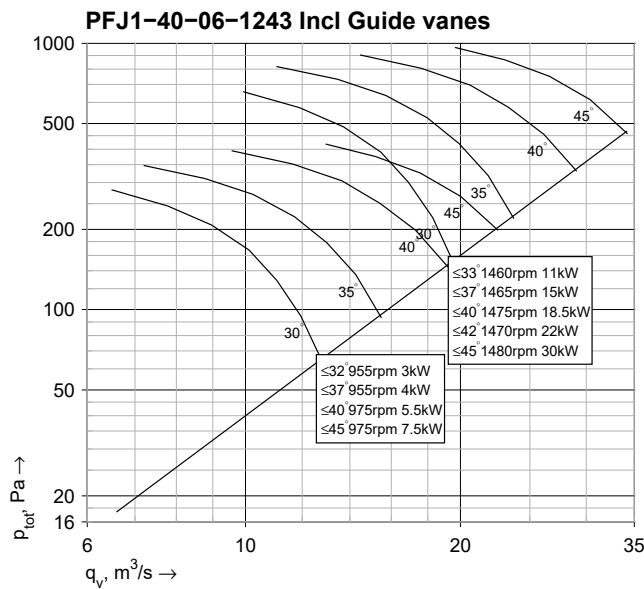
112



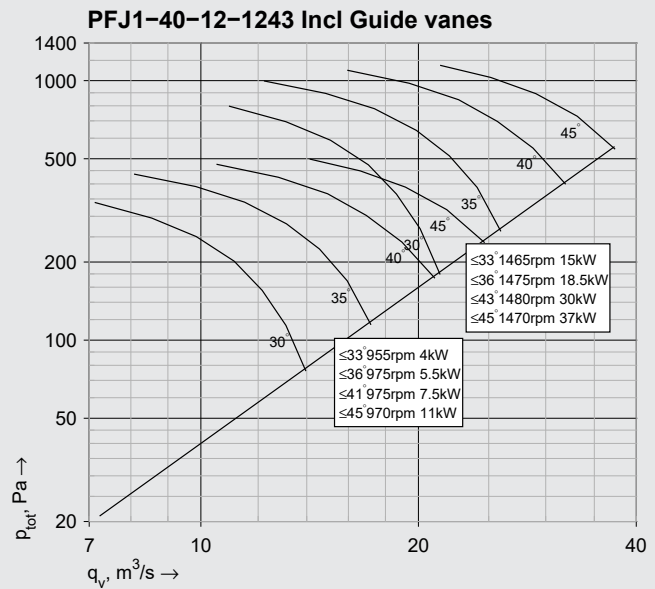
12 blad / blades



PFJ1 ø 40 - 6 blad / blades



12 blad / blades



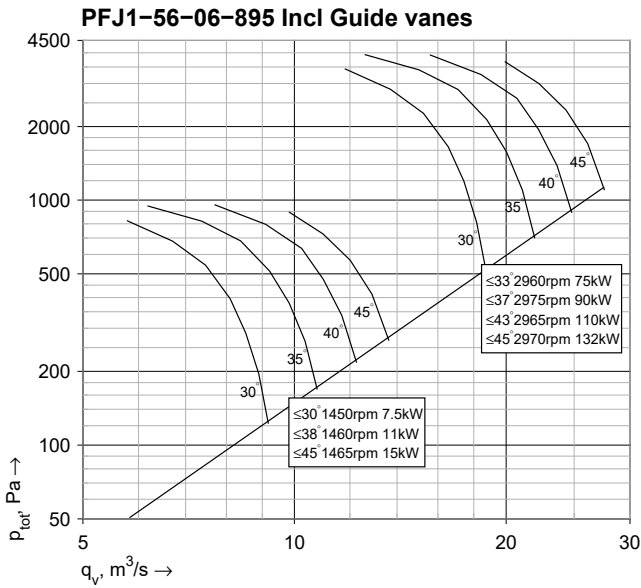
125



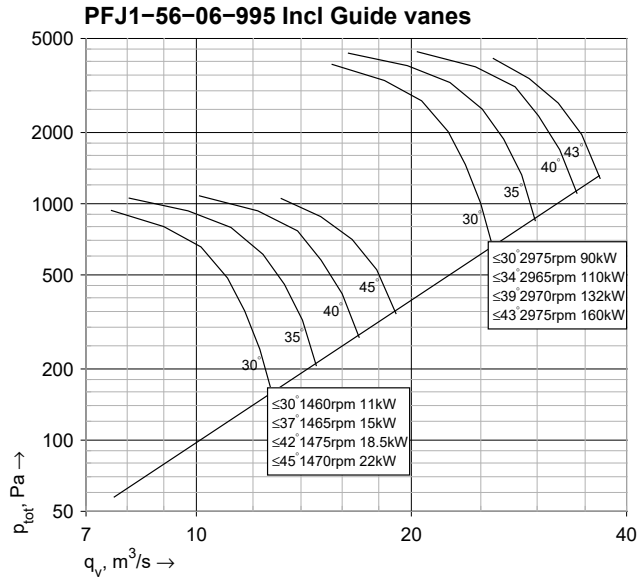
Akrons förstärkta nav (F).
Akrone's reinforced hub (F).

PFJ1 ø 56 - 6 blad / blades

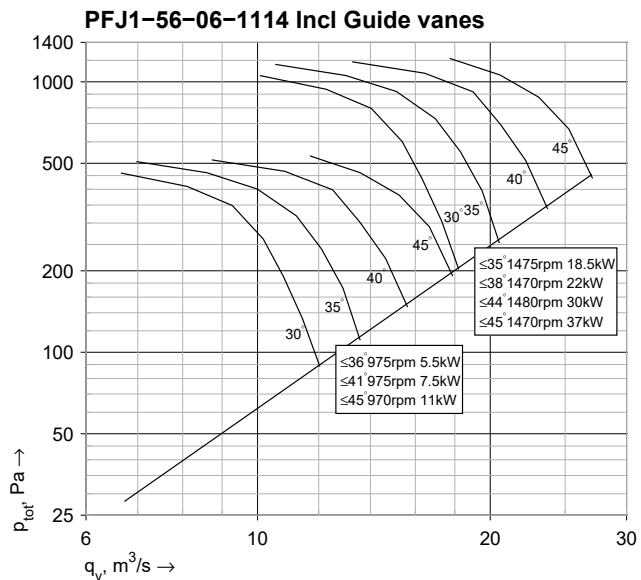
090



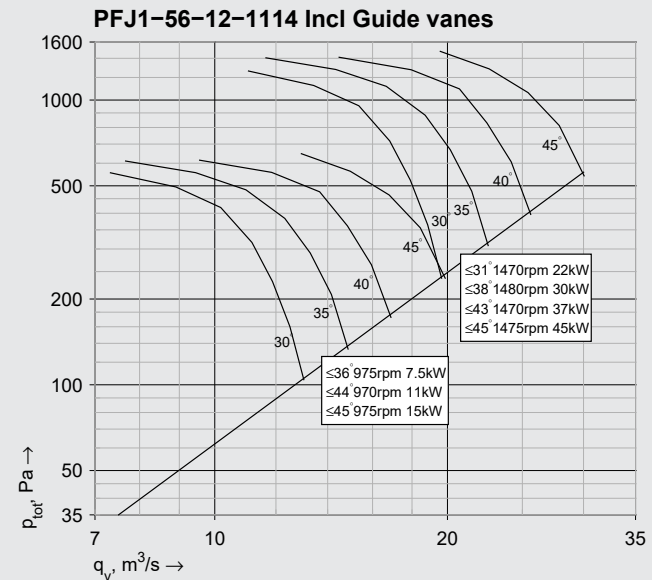
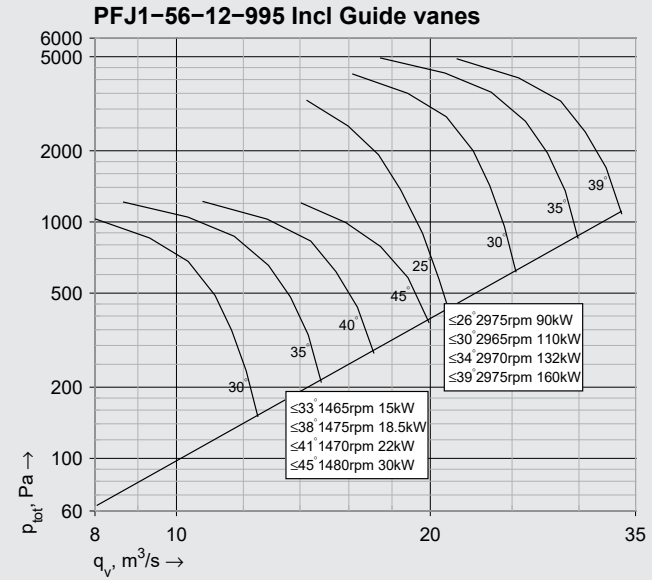
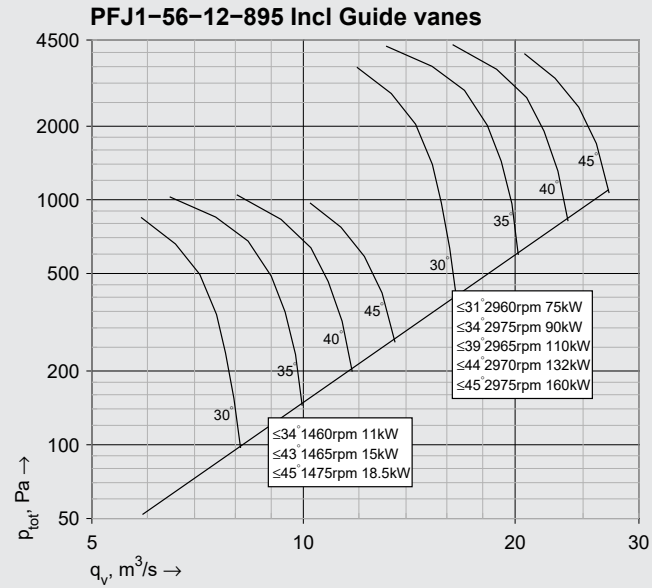
100



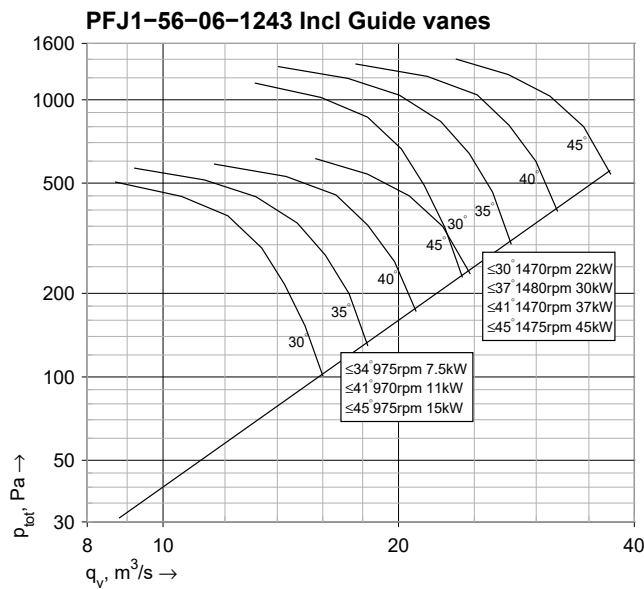
112



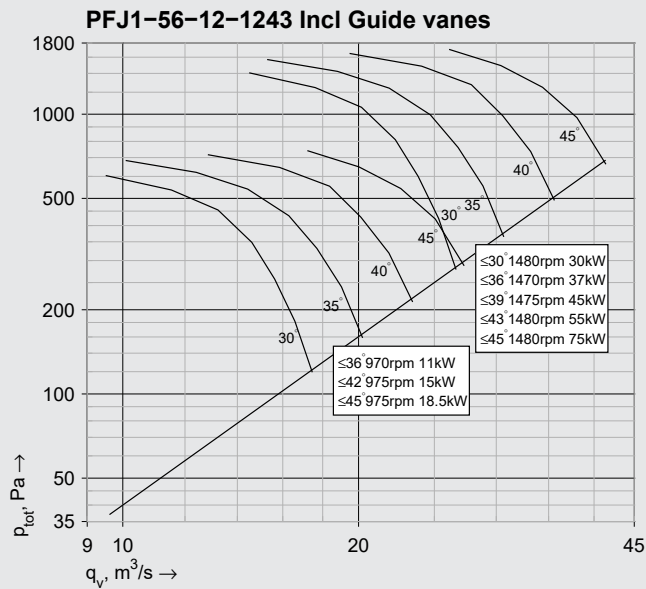
12 blad / blades



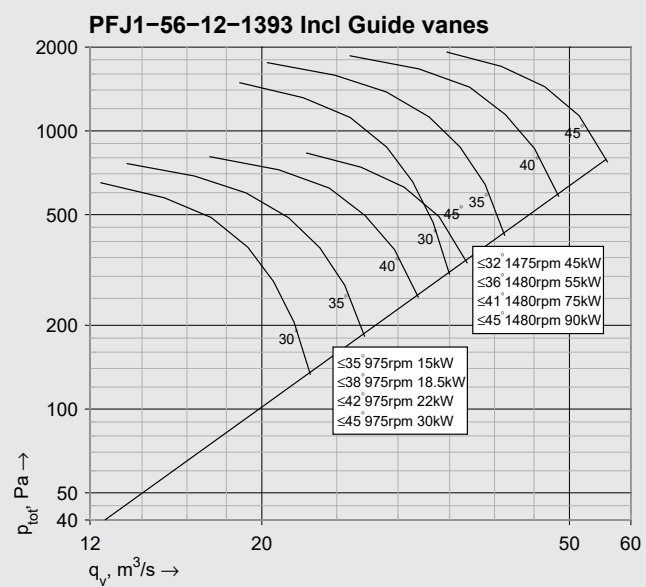
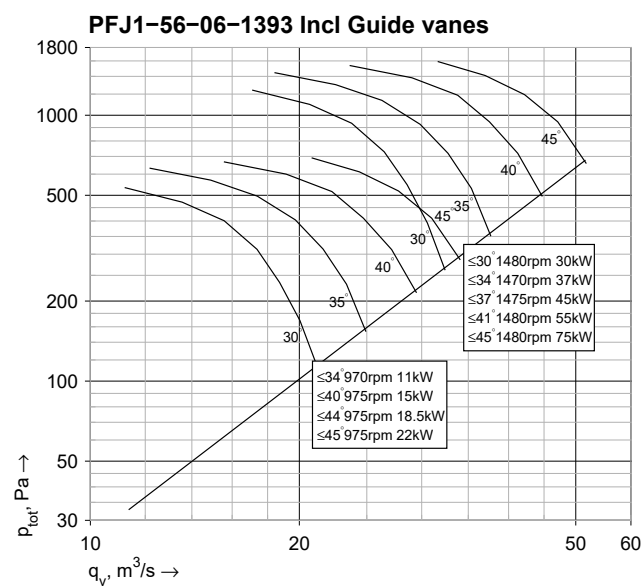
PFJ1 ø 56 - 6 blad / blades



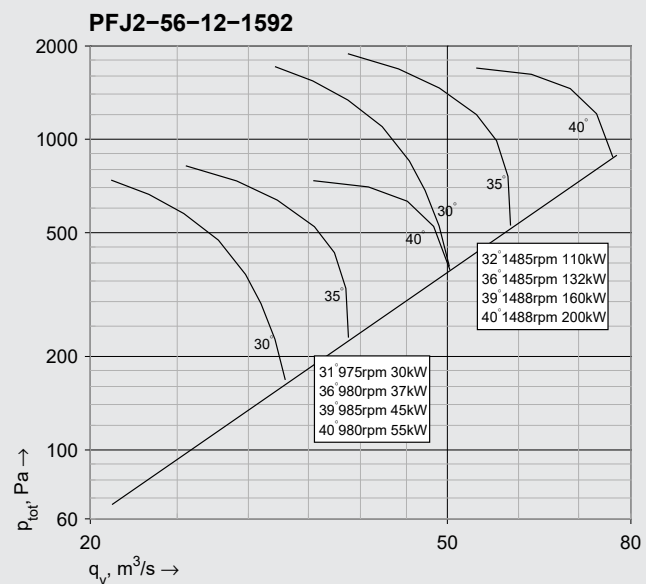
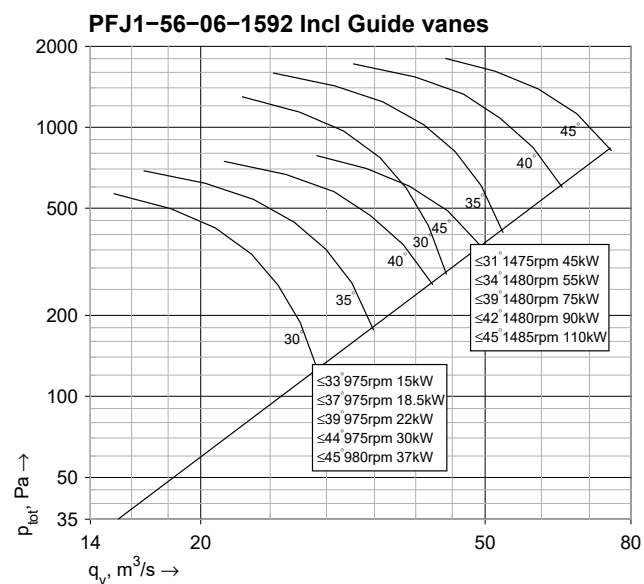
12 blad / blades



125



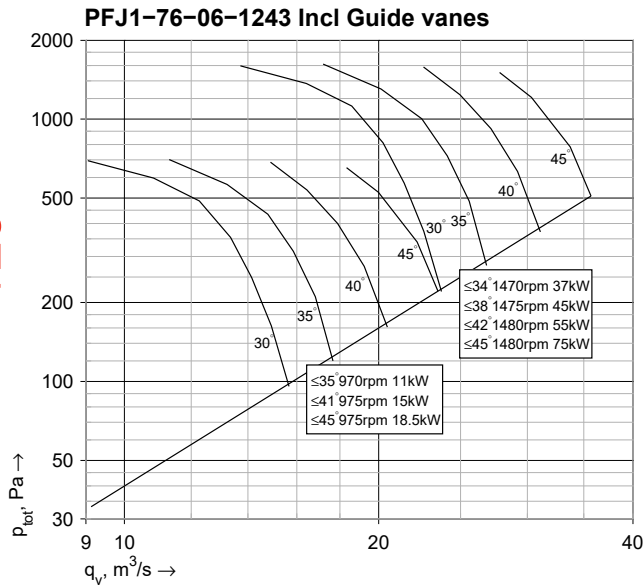
140



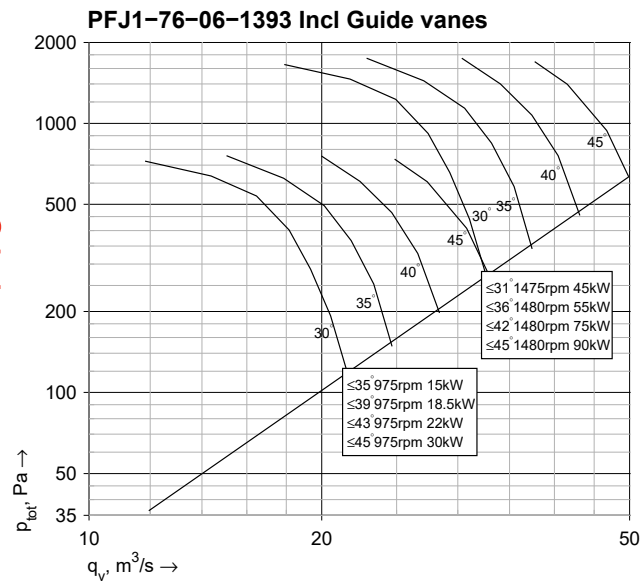
160

PFJ1 Ø 76 - 6 blad / blades

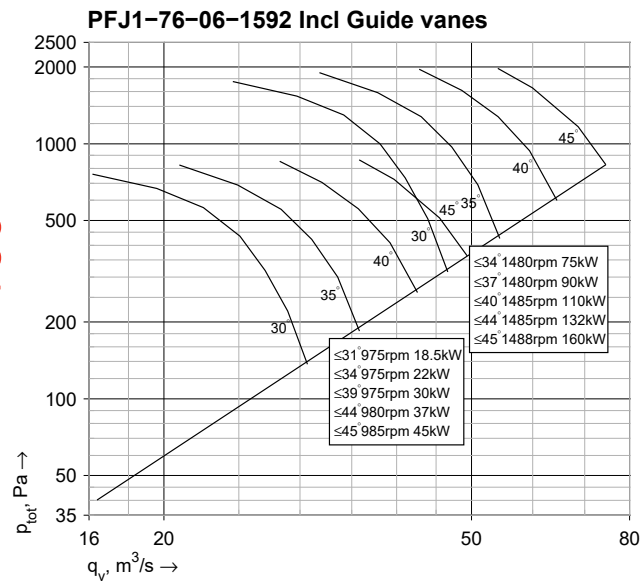
125



140

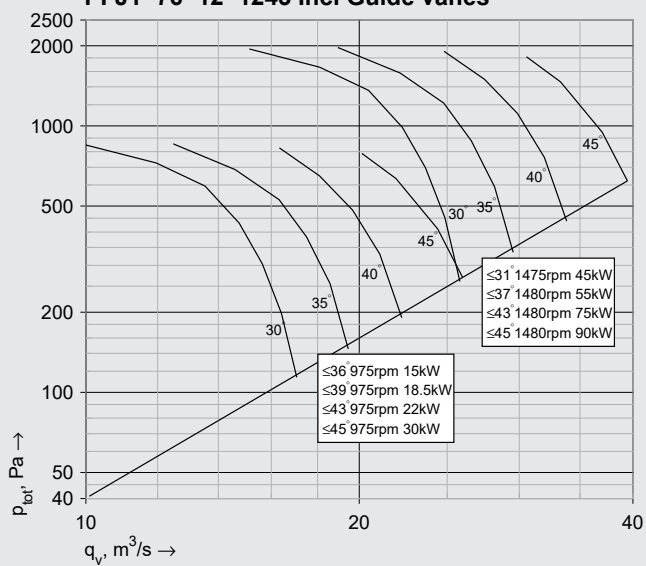


160

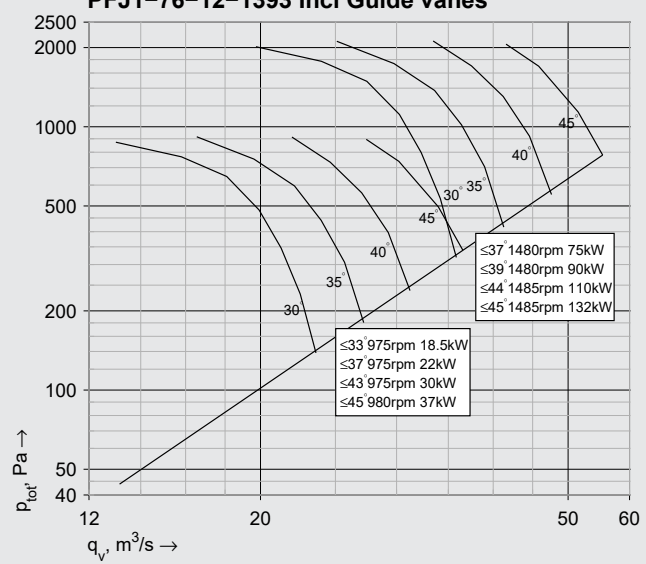


12 blad / blades

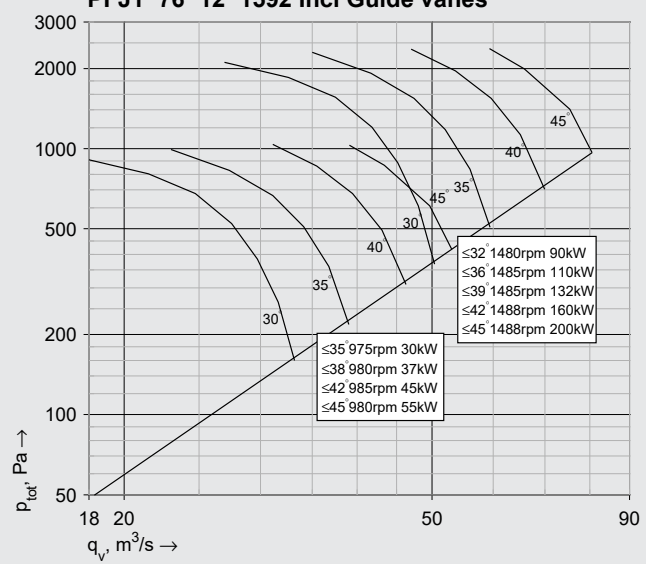
PFJ1-76-12-1243 Incl Guide vanes



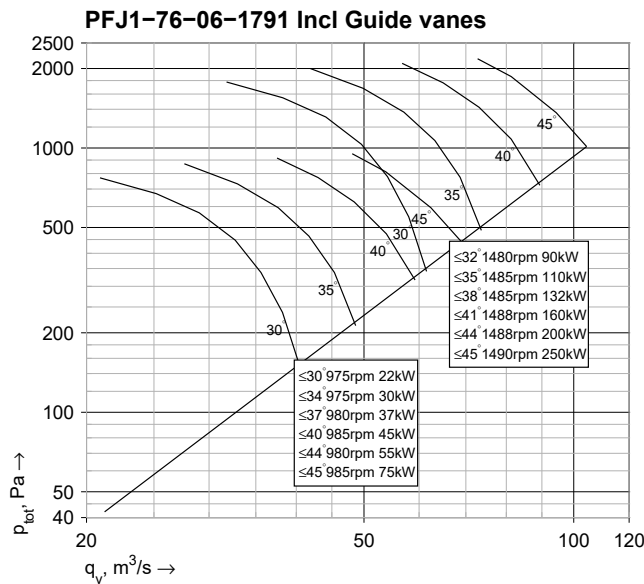
PFJ1-76-12-1393 Incl Guide vanes



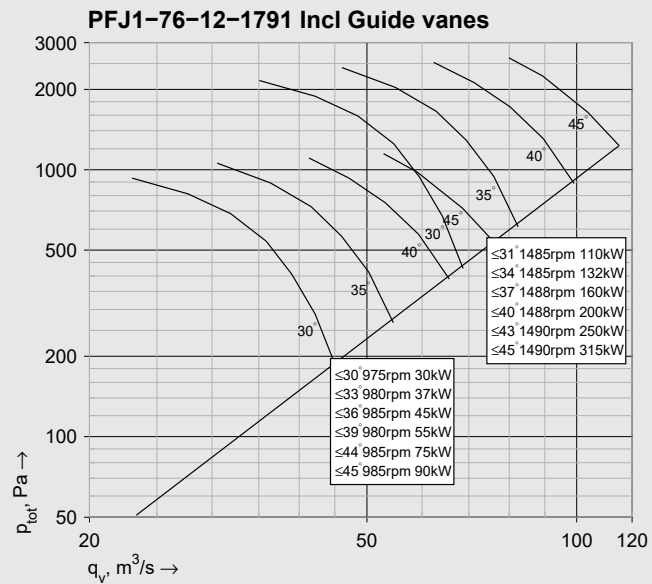
PFJ1-76-12-1592 Incl Guide vanes



PFJ1 ø 76 - 6 blad / blades



12 blad / blades

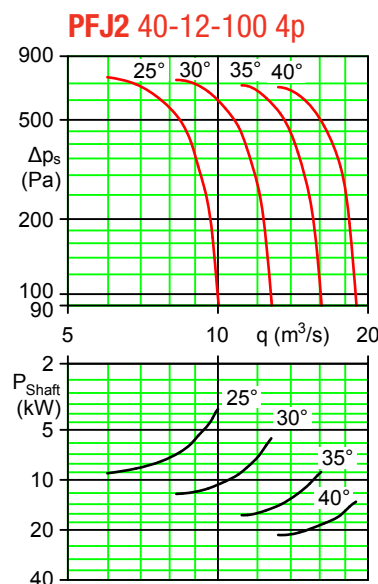
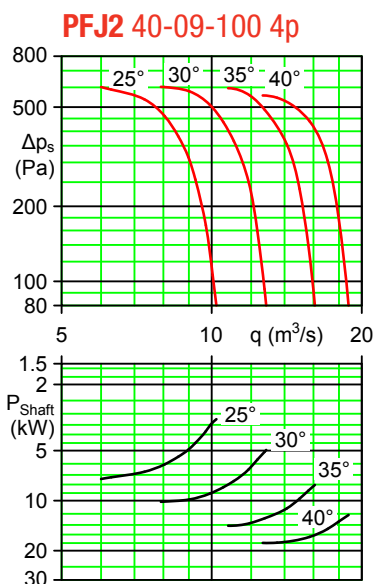
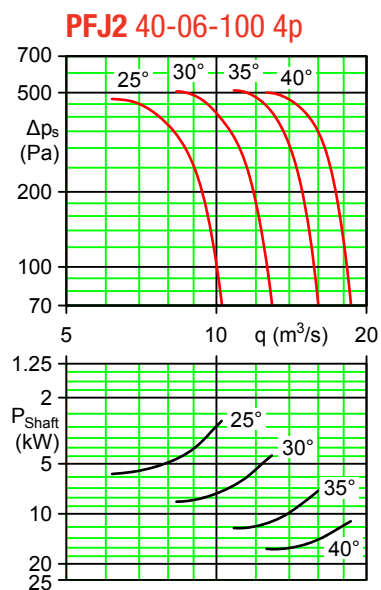


081

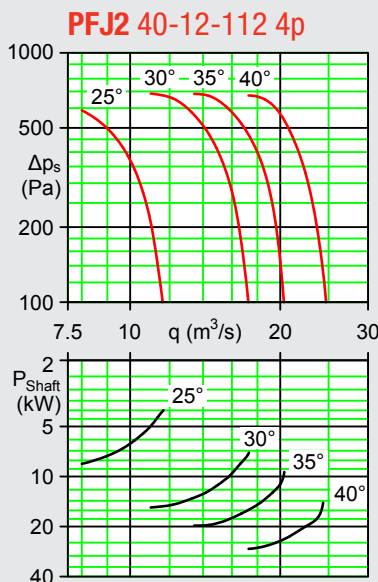
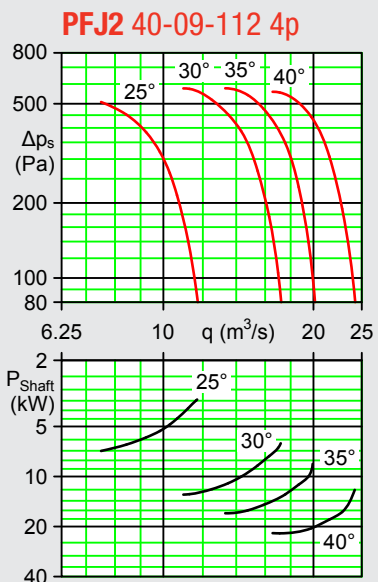
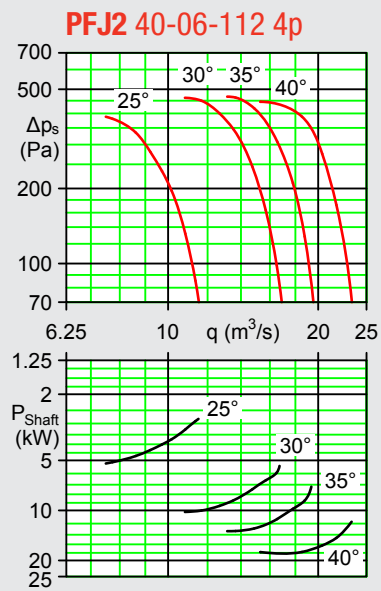


Akron AGM180 med 250 kW motor i drift i gruva.
Akron AGM180 with 250 kW motor in mining application.

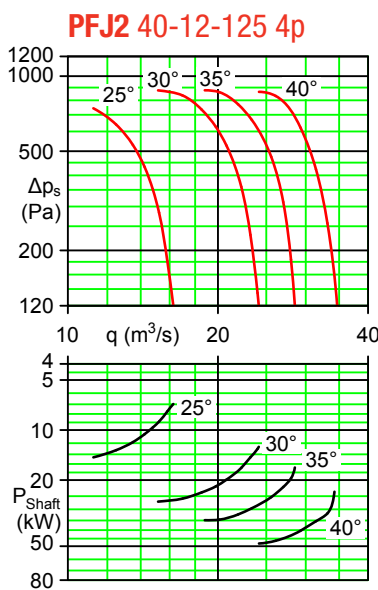
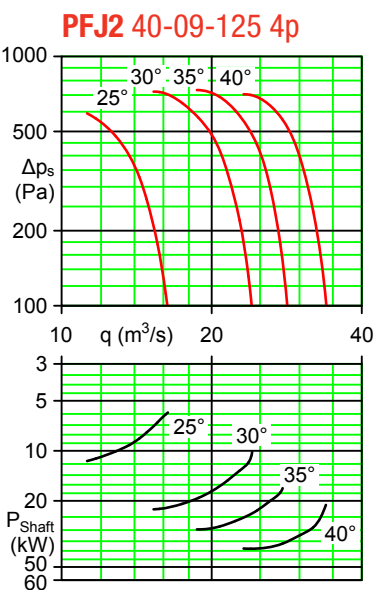
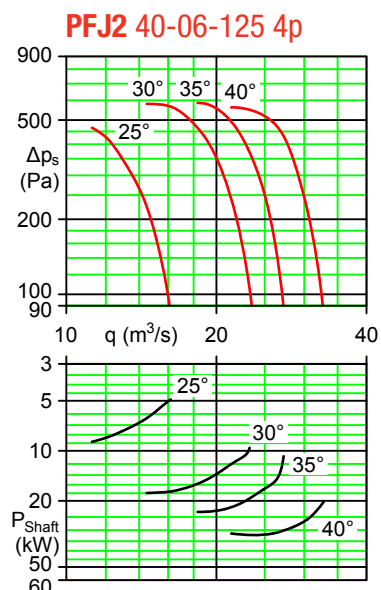
100



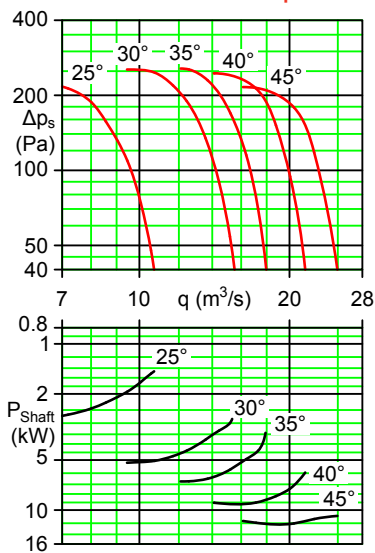
112



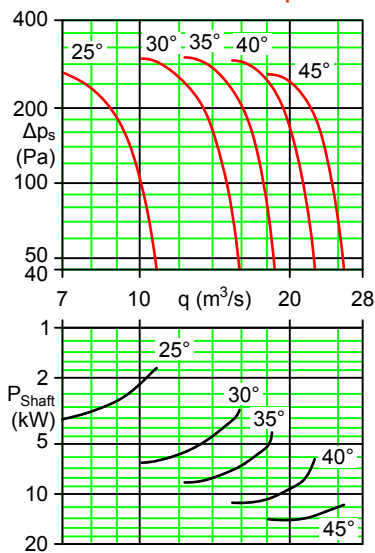
125



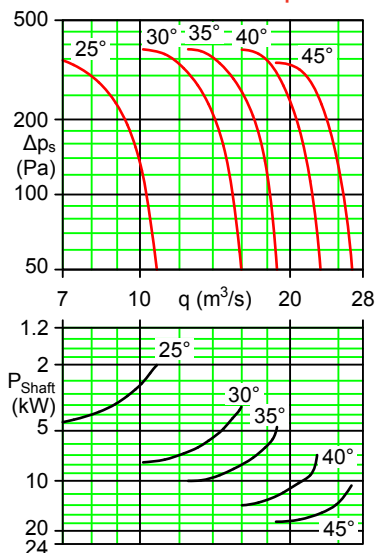
PFJ2 40-06-125 6p



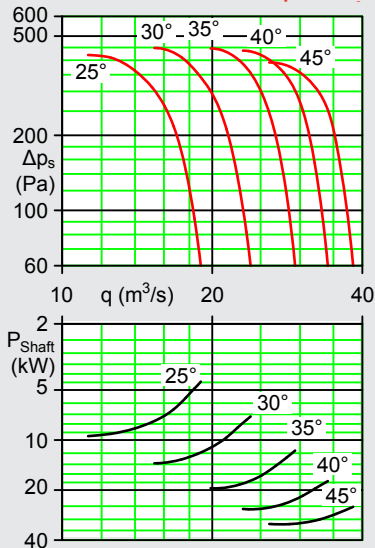
PFJ2 40-09-125 6p



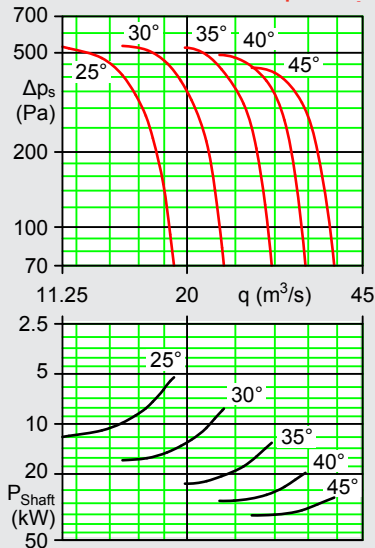
PFJ2 40-12-125 6p



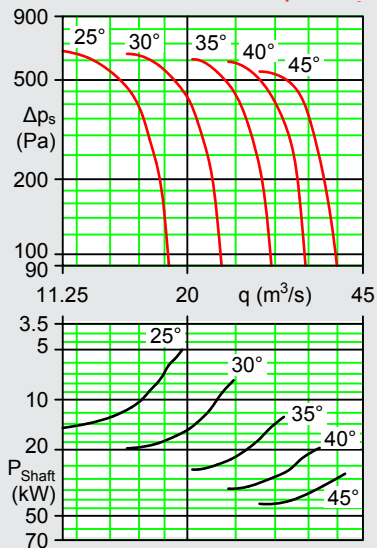
PFJ2 56-06-140 6p



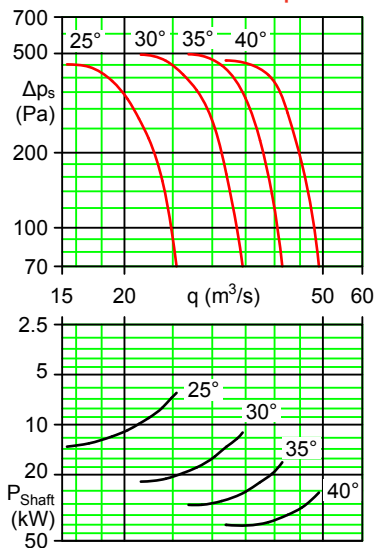
PFJ2 56-09-140 6p



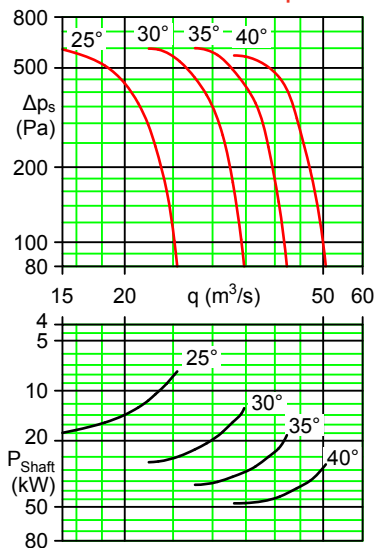
PFJ2 56-12-140 6p



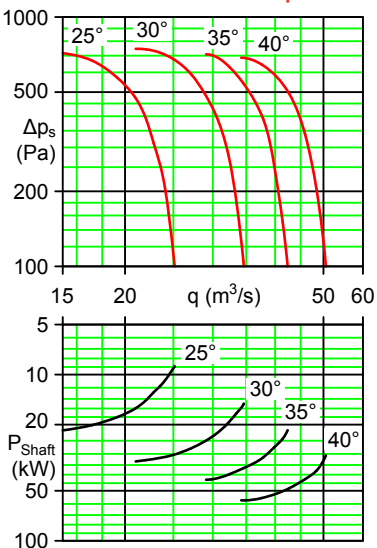
PFJ2 56-06-160 6p



PFJ2 56-09-160 6p



PFJ2 56-12-160 6p



125

140

1
60



PFe2

Reverserbara fläkthjul med justerbar bladvinkel *Reversible impellers with adjustable pitch angle*

Akrons reverserbara axialfläkthjul PFe2 med justerbara blad möjliggör optimering för maximal prestanda. PFe2 har en unik konstruktion i såväl nav som blad och ger oöverträffad driftsekonomi utan att göra avkall på funktionen.

PFe2-hjulen består av ett nav med ett antal påmonterade blad. Naven finns i två storlekar, 28 och 35cm. Fläkthjul PFe2-28 tillhandahålls i storlekar 071 - 100 och PFe2-35 i storlekar 112 - 125.

Naven är uppbyggda av gjutgods i aluminiumlegering EN-AB-44100 och rostfritt stål EN-1.4301. Bladen är uppbyggda av strängpressad aluminiumlegering 6060 F22-T6. Nav och blad är avsedda för temperaturer upp till 200C och miljöer utan korrosiva komponenter såsom klorider, syror etc.

Diagrammen för PFe2 gäller för fläkthjul installerade i Akrons premiumfläktar AEC och AER. De gäller för luftdensitet 1,2kg/m³ och för den rekommenderade motorstorlekens varvtal vid 50Hz. Diagrammen visar tryckskillnaden Δp_s mellan en kammare uppströms fläkten och en kammare nedströms fläkten.

Akron's reversible axial impellers PFe2 with adjustable blades allow optimization for maximum performance. The unique design of the PFe2 hub and blades result in unsurpassed operational economy without decreasing functionality.

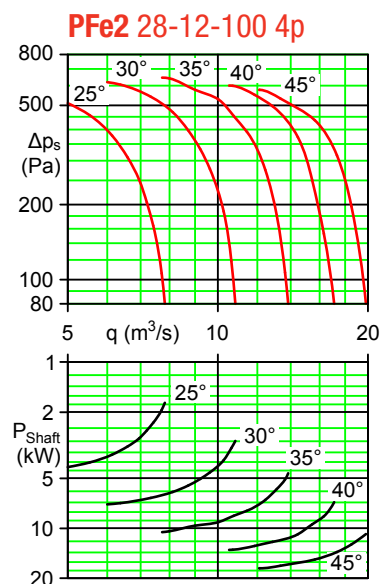
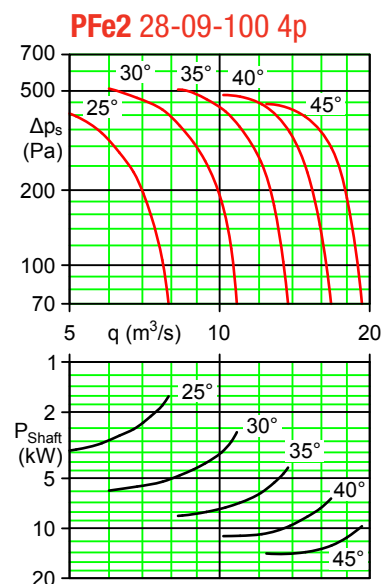
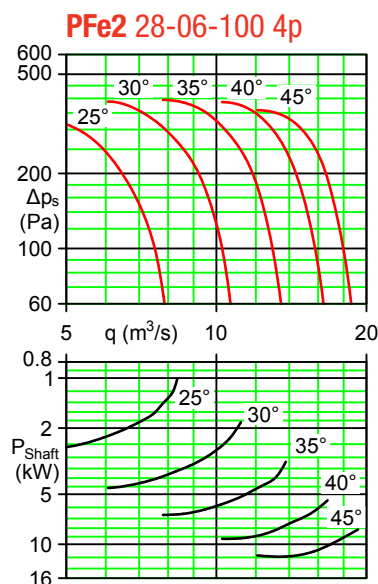
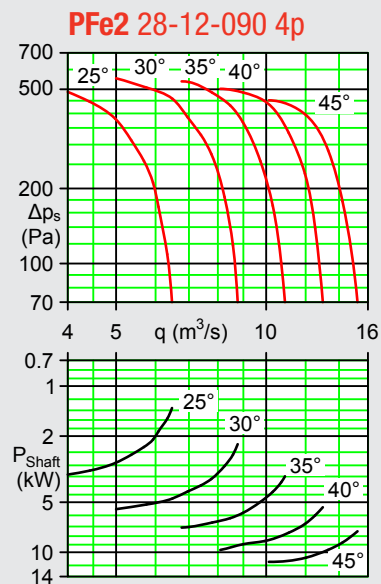
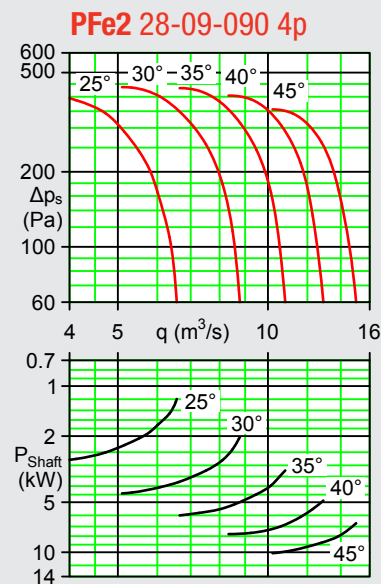
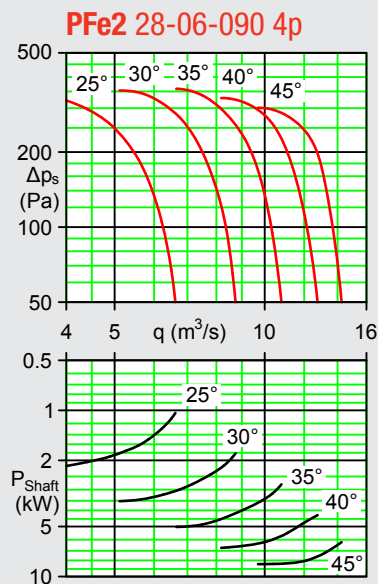
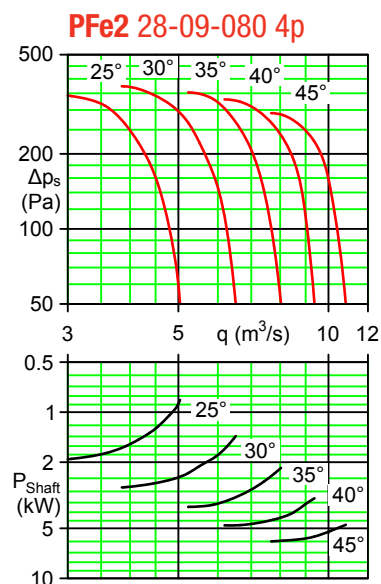
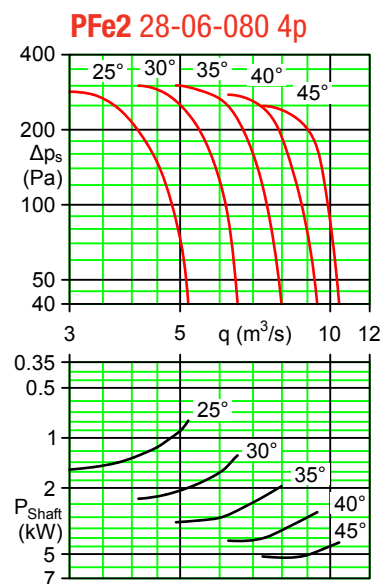
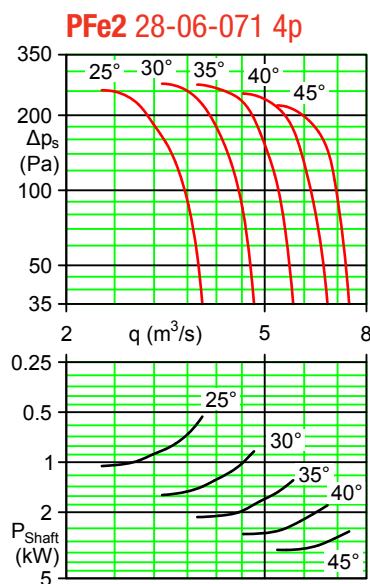
The PFe2 impellers consist of a number of blades mounted on a hub. The hubs are available in two sizes, 28 and 35cm. PFe2-28 impellers are available in sizes 071 - 100 and PFe2-35 in sizes 112 - 135.

The hubs are built from castings of alluminium alloy EN-AB-44100 and stainless steel EN-1.4301. The blades are made from extruded aluminium alloy 6060 F22-T6. Hubs and blades are intended for temperatures up to 200C and environments without corrosive components such as chlorides, acids etc.

The diagrams for PFe2 are valid for impellers fitted in Akron's premium fans AEC and AER. They are applicable for air density 1,2kg/m³ and for the recommended motor size's speed at 50Hz. The diagrams show the pressure difference Δp_s between a chamber upstream of the fan and a chamber downstream of the fan.

PFe2 ø 28 storlek / size 071 - 100

071 - 080

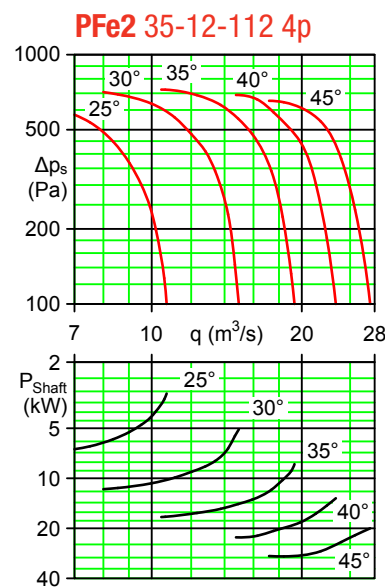
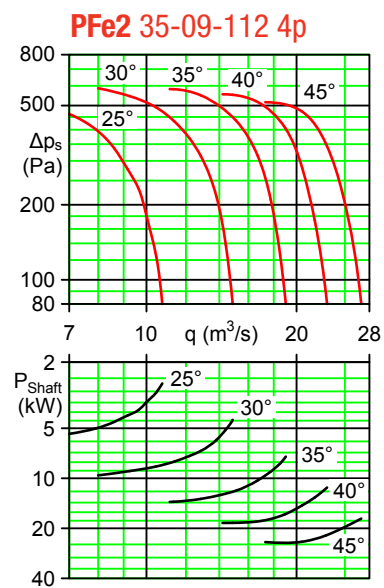
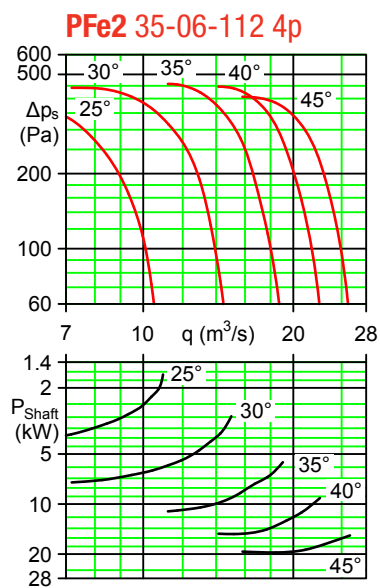


090

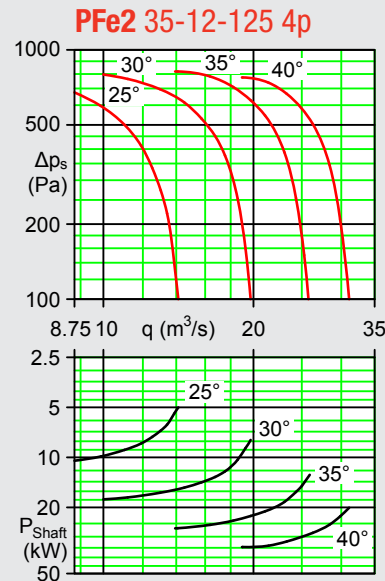
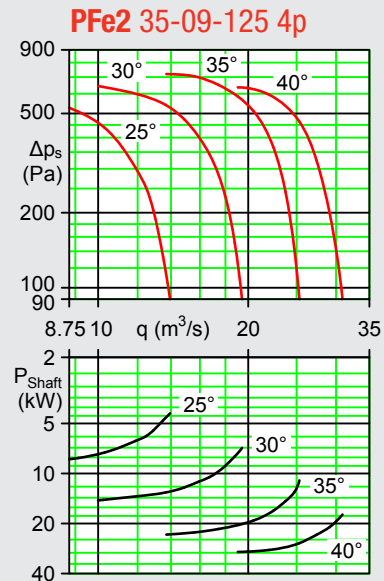
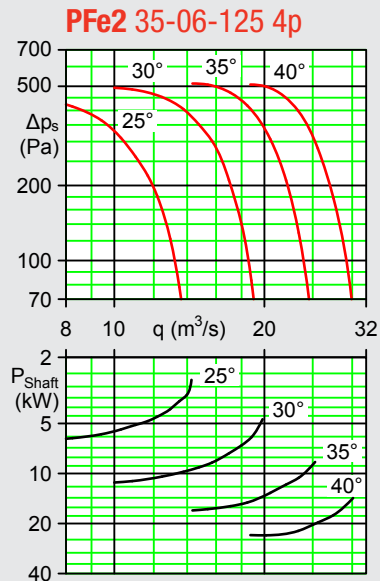
100

PFe2 ø 35 storlek / size 112 - 125

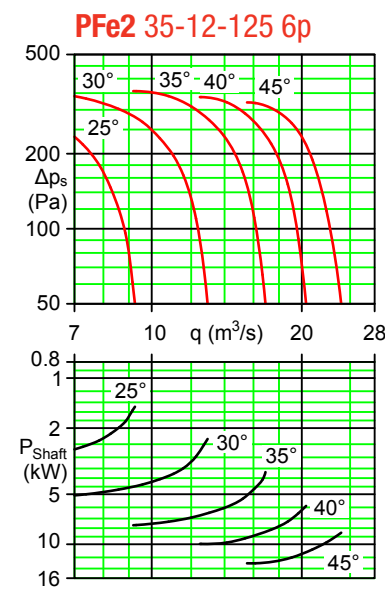
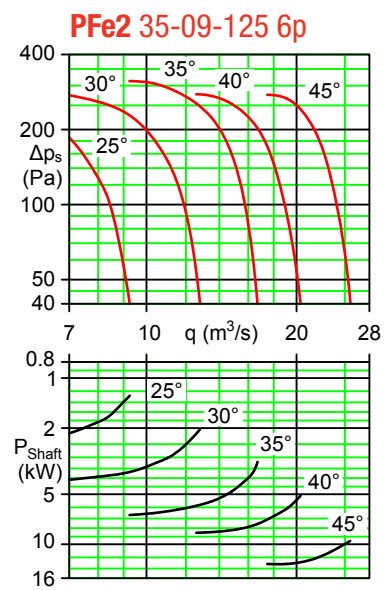
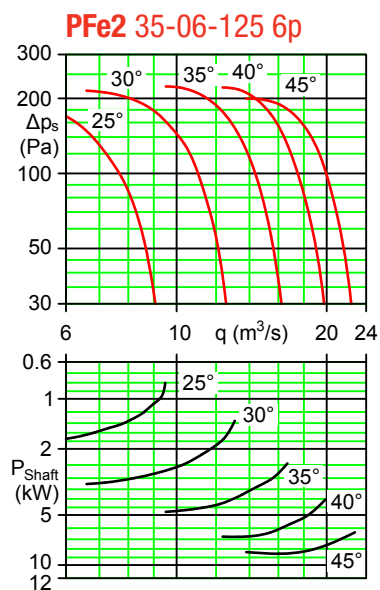
112



125 4p



125 6p



AKRON



24





RFL

Radialfläktar *Radial flow fan units*

Akrons radialfläkt RFL är avsedd för transport av torr och ren luft i ventilationsanläggningar. RFL kan med hjälp av särskilda anslutningsdetaljer (tillbehör) kanalanslutas på både sug- och trycksida.

Chassit i RFL är tillverkat i galvaniserad plåt. Fläkthjulet är pulverlackerat med epoxifärg. Ett enkelt galvaniserat ramstativ ingår i fläkten. Den transporterade luften får ej överstiga 60C och ej heller innehålla aggressiva eller explosiva komponenter.

Fläkthjulet har bakåtböjda blad och är såväl statiskt som dynamiskt balanserat. Fläkthjulet är vänsterrotande (medurs sett från sugsidan) och sitter monterat direkt på motorns axeltapp.

Beröringsskydd på fläktens sugsida ingår i standardutförandet. Beröringsskydd på trycksidan (tillbehör) måste finnas om fläkten installeras på ett sätt som gör den sidan åtkomlig.

Akron's radial flow fan units RFL are designed for transport of dry and clean air in ventilation systems. The RFL may, by using special connection parts (accessories), be connected to ducting on both suction and pressure side.

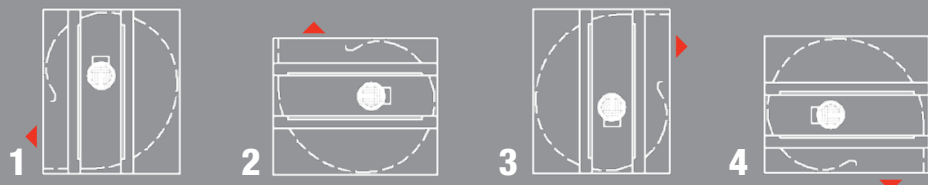
The RFL casing is manufactured in galvanised steel. The impeller is painted with epoxy powder coating. A simple galvanized support frame is included in the fan casing. The transported air must not exceed 60C nor contain aggressive or explosive components.

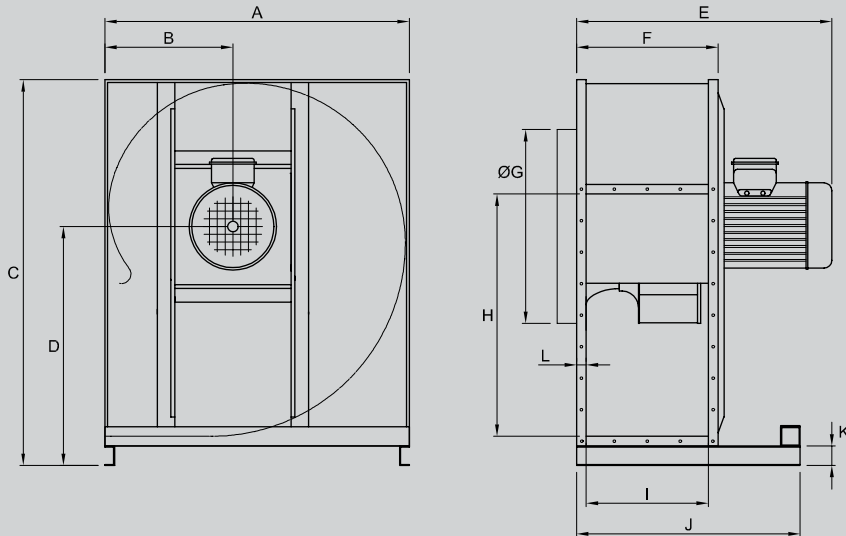
The impeller has backward curved blades and is both statically and dynamically balanced. The impeller is left-rotating (clockwise seen from the suction side) and is mounted directly onto the motor's shaft extension.

A wire guard, mounted on the suction side, is included in the RFL fan unit. A wire guard on the pressure side (accessory) must be fitted if the unit is installed in a way that makes that side accessible.

Utblåsningsriktningar. Riktning 1 är standard, övriga på begäran.

Blow-off directions. Direction 1 is standard, others are available on request.



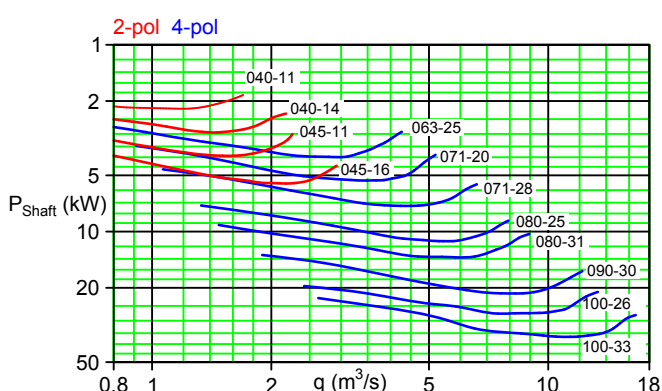
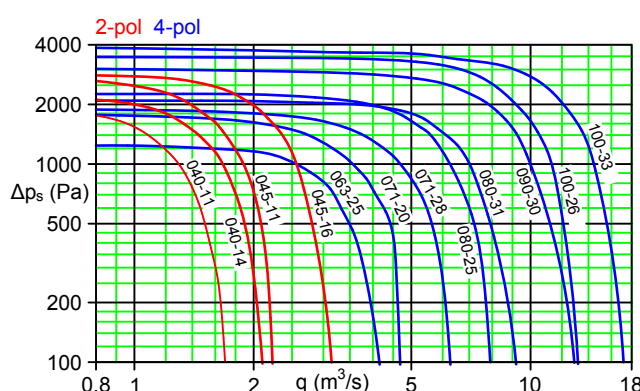


| RFL radialfläkt ▪ RFL radial fan unit | | | | | | | | | | | | | | |
|---------------------------------------|---------|---------|---------|---------|---------|---------|-----------|---------|---------|---------|---------|---------|------------------------|---------|
| Storlek Size | A mm | B mm | C mm | D mm | E mm | F mm | ØG* mm | H mm | I mm | J mm | K mm | L mm | Motor mm : kW : rpm | m kg |
| 040-11 | 634 | 267 | 886 | 578 | 590 | 302 | 400 | 500 | 222 | 600 | 106 | 45 | 90 : 2,2 : 2830 | |
| 040-14 | | | | | | | | | | | | | 100 : 3,0 : 2865 | |
| 045-11 | 735 | 312 | 972 | 617 | 634 | 360 | 400 | 500 | 280 | 600 | 90 | 40 | 112 : 4,0 : 2865 | 90 |
| 045-16 | 735 | 312 | 972 | 617 | 735 | 360 | 400 | 500 | 280 | 600 | 90 | 40 | 132 : 5,5 : 2885 | 91 |
| 063-25 | | | | | | | | | | | | | 112 : 4,0 : 1430 | |
| 071-20 | 1133 | 478 | 1446 | 899 | 840 | 580 | 630 | 800 | 500 | 900 | 90 | 40 | 132 : 5,5 : 1440 | 205 |
| 071-28 | 1133 | 478 | 1446 | 899 | 920 | 580 | 630 | 800 | 500 | 900 | 90 | 40 | 132 : 7,5 : 1440 | 205 |
| 080-25 | 1270 | 535 | 1620 | 1006 | 1061 | 640 | 800 | 900 | 560 | 980 | 100 | 40 | 160 : 11,0 : 1460 | 320 |
| 080-31 | 1270 | 535 | 1620 | 1006 | | 640 | 800 | 900 | 560 | 980 | 100 | 40 | 160 : 15,0 : 1460 | |
| 090-30 | 1420 | 598 | 1800 | 1114 | 1207 | 640 | 800 | 900 | 560 | 980 | 100 | 40 | 180 : 22,0 : 1465 | 455 |
| 100-26 | 1575 | 662 | 1980 | 1221 | 1259 | 710 | 1000 | 1120 | 630 | 1220 | 100 | 40 | 200 : 30,0 : 1475 | 578 |
| 100-33 | 1575 | 662 | 1980 | 1221 | 1369 | 710 | 1000 | 1120 | 630 | 1220 | 100 | 40 | 225 : 37,0 : 1475 | 674 |

*) Mått på rekommenderad spiroanslutning.

*) Recommended air duct diameter.

Kapaciteter RFL ▪ Capacities RFL



Specifika tillbehör för RFL

- Beröringsskydd till utlopp
- Spiroanslutning till inlopp
- Spiroanslutning till utlopp
- Vibrationsdämpare

Specific accessories for RFL

- Wire guard for outlet
- Duct connection for inlet
- Duct connection for outlet
- Vibration absorbers

**RGF**

Rökgasfläktar *Flue gas fan units*

Akrons rökgasfläkt RGFA är avsedd för transport av gaser med temperatur upp till 400°C. RGFA-chassit tillverkas i stålplåt som helsvetsas och lackeras. Fläkthjulet på RGFA, även detta i helsvetsad stålplåt, har raka radieellt riktade blad med hög självrengningsförmåga för att t.ex. sotpartiklar inte skall kunna anhopas och orsaka obalans.

Motorn har isolationsklass F och standardlager. Ett isolerande kylnav, monterat på axeln mellan fläkthjulet och motorn, skyddar motorns lager från överhettning. Omgivande luft som kyler motorn och kylnavet skall hålla max 40°C. Motorer för högre omgivningstemperatur offereras på begäran.

Inloppet på RGFA är försedd med en steglöst vridbar fläns. Utloppet på den mindre storleken, RGFA-20, har ett förmonterat rökgasspjäll. Den större storleken, RGFA-45, injusteras antingen med spjäll (tillbehör) eller frekvensomriktare.

Specifika tillbehör för RGFA

- Dragregulator.
- Rökgasrör och T-rör.
- Flänsar och huvar.
- Frekvensomriktare.
- Rökgasspjäll till RGFA-45.

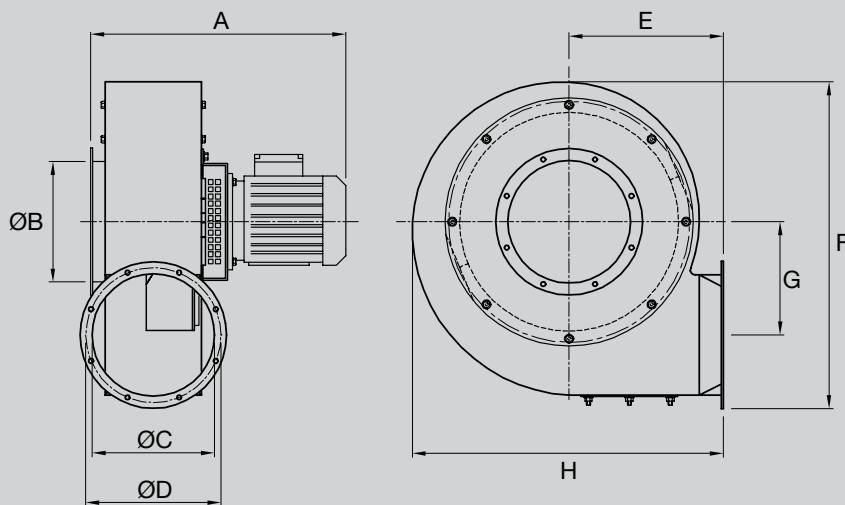
Akron's flue gas fan unit RGFA is intended for the transport of gases with temperatures up to 400°C. The RGFA casing is manufactured from steel, all joints are fully welded. The RGFA impeller, also fully welded, has straight radially directed blades with a high self-cleansing ability not allowing e.g. soot particles being accumulated and causing imbalance.

The motor of insulation class F has standard bearings. An insulating adapter, mounted on the shaft between the impeller and the motor, protects the bearings from overheating. The ambient air, which cools the motor and the adapter, must not exceed of 40°C. Motors for higher ambient temperatures are available on request.

The inlet of the RGFA can be rotated to fit at any angle. The outlet of the smaller size, RGFA-20, has a pre-mounted flue gas throttle. The gas flow of the larger size, RGFA-45, is adjusted either with a throttle (accessory) or a frequency converter.

Specific accessories for RFL

- Draught regulator.
- Flue gas ducts and T-connections.
- Flanges and chimney caps.
- Frequency converter.
- Flue gas throttle for RGFA-45.



RGFA rökgasfläkt ▪ RGFA flue gas fan unit

| Storlek Size | kW | rpm | Amp (400V) | A** mm | ØB mm | ØC mm | ØD mm | E mm | F mm | G mm | H mm | m kg |
|-----------------|------|-------|---------------|-----------|----------|----------|----------|---------|---------|---------|---------|---------|
| 20-4 | 0,37 | 1350 | 1,25 | 465 | 200 | 200 | 230 | 260 | 430 | 130 | 460 | 20 |
| 20-2 | 0,55 | 2900 | 2,40 | 465 | 200 | 200 | 230 | 260 | 430 | 130 | 460 | 20 |
| 45-4 | 0,75 | 1450 | 3,45 | 529 | 254 | 254 | 280 | 346 | 716 | 262 | 678 | 50 |
| 45-4,2 | 2,2 | 1450* | | 529 | 254 | 254 | 280 | 346 | 716 | 262 | 678 | 59 |
| 45-2,2 | 5,5 | 2900 | | 634 | 254 | 254 | 280 | 346 | 716 | 262 | 678 | 65 |
| 45-2 | 7,5 | 2900 | 11,4 | 634 | 254 | 254 | 280 | 346 | 716 | 262 | 678 | 65 |

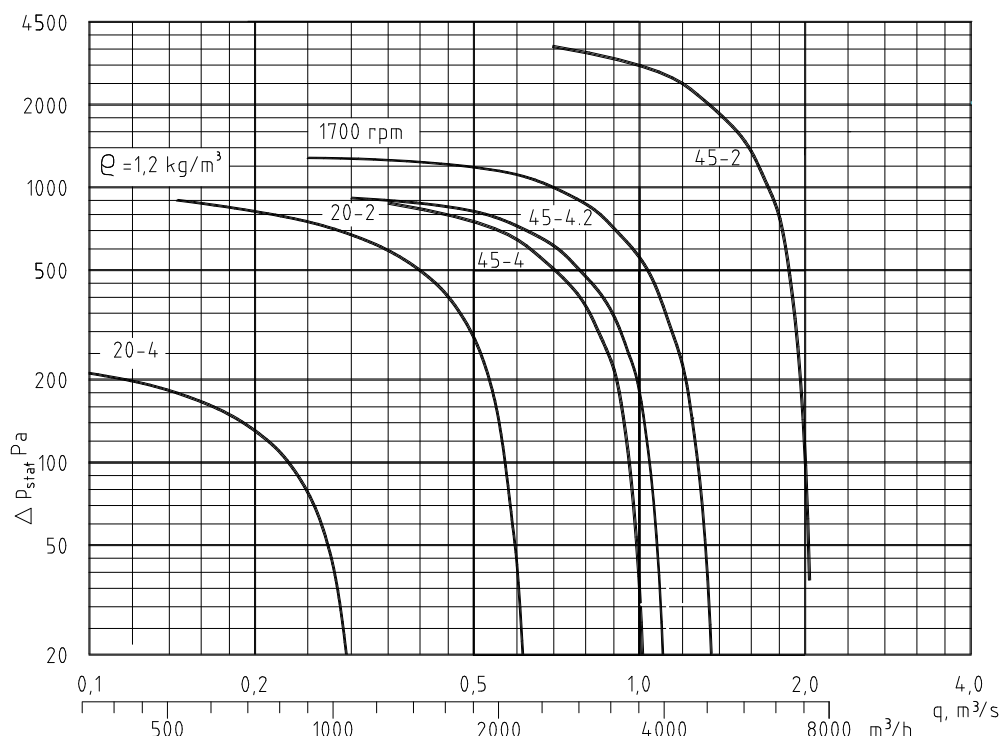
*) Frekvensstyrts extert till ca 1700 rpm.

*) Externally adjusted speed to appr 1700 rpm.

**) Kan variera pga motorspecifikation.

**) May vary based on motor specification.

Kapaciteter RGFA ▪ Capacities RGFA





TC

Turboclean stoftavskiljningsfläkt *Turboclean particle extraction fan*

Akrons stoftavskiljningsfläkt Turboclean (TC) är ett kombinerat fläkt- och avskiljningsaggregat avsett att rena stoftbemängd luft i t.ex. spannmålsanläggningar. TC finns med tre kapaciteter; 15, 22 och 30kW, och två montageutföranden; vertikalt och horisontellt.

Stoftavskiljningen uppnås genom att centrifugalkraften på partiklarna i den starkt roterande luftströmmen uppströms avskiljardelen flyttar ut partiklarna till chassis periferi. Den perifera delen av luften "skalas sedan av" och leds till en cyklon där partiklarna avskiljs. Den rena avluften från cyklonen leds till fläktinloppet. Avskiljningsgraden, som beror av bl.a. luftflöde och partikelstorlek, har provats av Sveriges Tekniska Forskningsinstitut och är under normala flödesförhållanden ca 95% för synliga partiklar.

Fläkthus och avskiljardel tillverkas i kraftig varmgalvad stålplåt och fläkthjulet i lackerad stålplåt. Övriga komponenter är i varmförzinkat material.

Fläkthjulet i TC är ett sk. diagonalhjul med särskilt hög verkningsgrad och låg ljudnivå. Hjulet som har bakåtböjda blad är såväl statiskt som dynamiskt balanserat och sitter monterat direkt på motorns axeltapp.

Eventuellt beröringsskydd för TC-fläktens in- eller utloppssida är tillbehör. Beröringsskydd måste finnas om fläkten installeras på ett sätt som gör de rörliga delarna åtkomliga.

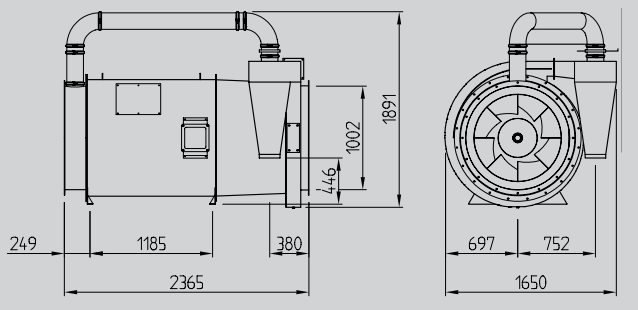
Akron's dust extraction fan unit Turboclean (TC) is a combined fan and extraction unit intended to separate dust from contaminated air in e.g. cereal plants. The TC is available with three capacities, 15, 22 and 30kW, and two mounting configurations, vertical and horizontal.

The dust extraction is achieved when the centrifugal force on the particles in the strongly rotating air stream upstream the separation unit moves the particles out to the periphery of the casing. The peripheral part of the air is then stripped off and led to a cyclone where the particles are separated. The clean exhaust air from the cyclone is then again headed to the fan inlet. The separation efficiency, which depends on the particular airflow and particle size, has been tested by the Technical Research Institute of Sweden and is under normal flow conditions about 95% for visible particles.

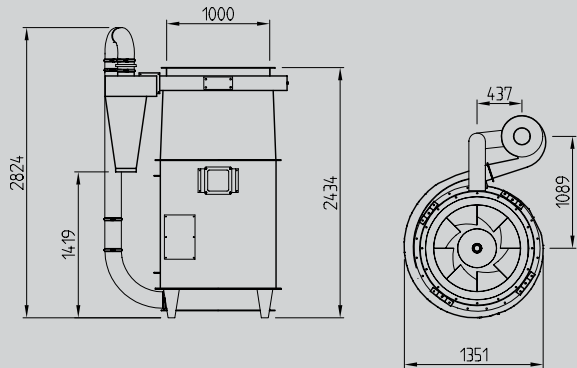
The fan casing and the separation unit are made from hot dip galvanized steel and the impeller in wet painted steel. Other components are zink coated.

The impeller in the TC is of diagonal type with particularly high efficiency and low noise. The impeller, which has backward curved blades is both statically and dynamically balanced, and mounted directly onto the motor's shaft extension.

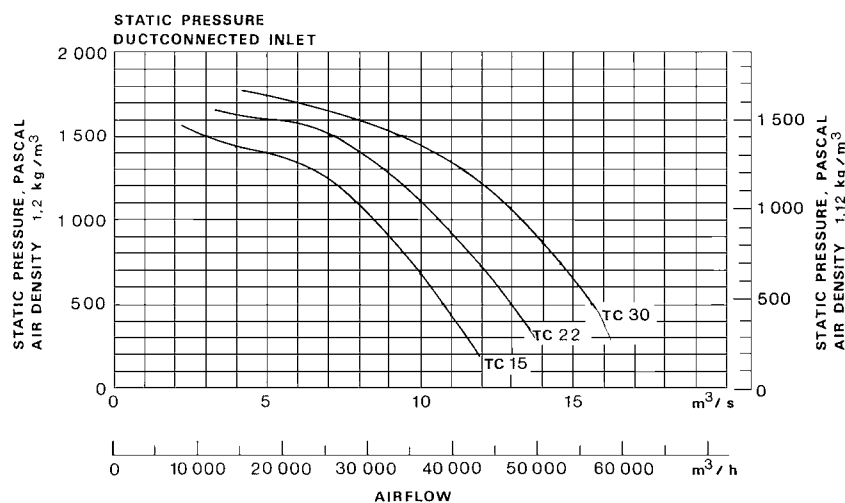
Any wire guard for the TC fan unit's in- or outlet side is an accessory. A wire guard must be fitted if the fan unit is installed where the moving parts are accessible.



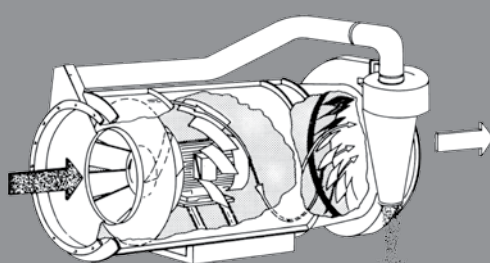
Turboclean H

Turboclean stoftavsklijningsfläkt ▪ *Turboclean particle extraction fan*

| Storlek Size | Position | Motor kW | Ampere (400 V) | rpm | Anslutningsflänsar ▪ <i>Connection flanges</i> | Bultcirkel Ø [mm] Bolt circle Ø [mm] | Antal hål No of holes | Hål-Ø [mm] Hole Ø [mm] | m kg |
|-----------------|----------|-------------|-------------------|------|--|---|--------------------------|---------------------------|---------|
| TC15H | H | 15 | 28 | 1460 | 1070 | 16 | 15 | 510 | |
| TC22H | H | 22 | 40 | 1465 | 1070 | 16 | 15 | 570 | |
| TC30H | H | 30 | 54 | 1475 | 1070 | 16 | 15 | 665 | |
| TC15V | V | 15 | 28 | 1460 | 1070 | 16 | 15 | 510 | |
| TC22V | V | 22 | 40 | 1465 | 1070 | 16 | 15 | 570 | |
| TC30V | V | 30 | 54 | 1475 | 1070 | 16 | 15 | 665 | |

Kapaciteter Turboclean ▪ *Capacities Turboclean*

Effektiv avskiljning. Turbocleanfläktens effektiva partikelavskiljning uppnås genom att luften sätts i rotation samtidigt som den leds genom fläkthuset. Partiklar i luften pressas då utåt av centrifugalkraften och skalas av och leds till en minicyklon. Partiklarna faller ner i en behållare och den rena luften från minicyklisten leds tillbaka till fläktinloppet.



Effective particle extraction. The Turboclean's effective particle extraction is facilitated by setting the air in rotation. Particles in the air are pushed outwards by the centrifugal forces, where they are skimmed off and led to a mini-cyclone. The particles fall down into a container, and the cleaned air is led back into the fan inlet.

**LDK**

Tvärvågsljuddämpare Transverse wave silencer

Akron tvärvågsljuddämpare LDK är särskilt utvecklad för extra hög dämpning och minimalt luftmot-stånd i tuffa miljöer. Den lämpar sig väl för stora bullerkällor i miljöer med högt ställda krav på ljudnivån, t.ex. för dämpning av fläktljud i stadsmiljö.

LDK har kvadratiskt tvärsnitt med nominella bredd- och höjd mätt i steg om 300mm. Fem grundstorlekar erbjuds, från bredd x höjd = 1200x1200 till 2400x2400mm. Varje grundstorlek erbjuds i tre längder; 1400, 2800 och 5600mm där 1400mm har vertikala bafflear medan 2800 och 5600mm har både vertikala och horisontella.

Dämpningen är identisk för alla grundstorlekar med en och samma längd. Fullt utbyggd, till längd 5600mm, når 99,8% av ljudvågorna in i dämpparens bafflear där ljudenergin absorberas.

De stora luftpassagerna mellan bafflearna, som tillsammans utgör 67% av dämpparens totala tvärsnitts-area, och den aerodynamiska utformningen av bafflearnas in- och utloppssändar bidrar båda till det låga luftmotståndet och den låga egenljudsalstringen.

Material:

- Robust hölle av kraftig varmförzinkad stålplåt, väl lämpat för placering utomhus.
- Ljudabsorbent av mineralull med förstärkt ytskikt, motstår allt normalt slitage från ren luft.

Tillbehör:

- Väderskydd med mynningsgaller. Förhindrar regn, fåglar etc att ta sig in i lufttag eller -utlopp.
- Övergång till cirkulär fläns. För anslutning av axialfläkt, kanalstos eller annan flänsad produkt.

Akron transverse wave silencer LDK is specially developed for extra high attenuation and minimal air resistance in harsh environments. It is well suited for large noise sources in environments with high demands on the noise level, e.g. for attenuation of fan noise in urban environments.

LDK has a square cross section with nominal width and height measurements in 300mm increments. Five basic sizes are offered, from width x height = 1200x1200 to 2400x2400mm. Each base size is offered in three lengths; 1400mm, 2800mm and 5600mm where 1400mm has vertical baffles only while 2800 and 5600mm have both vertical and horizontal.

The attenuation is identical for all basic sizes with one and the same length. Fully expanded, to a length of 5600mm, 99.8% of the sound waves reach the attenuator's baffles where the sound energy is absorbed. The large air passages between the baffles, which together make up 67% of the damper's total cross-sectional area, and the aerodynamic design of the baffles' inlet and outlet ends both contribute to the low air resistance and inherent sound generation.

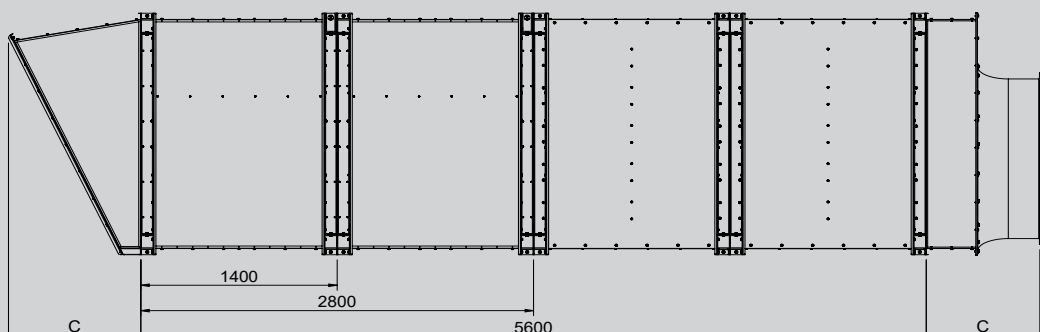
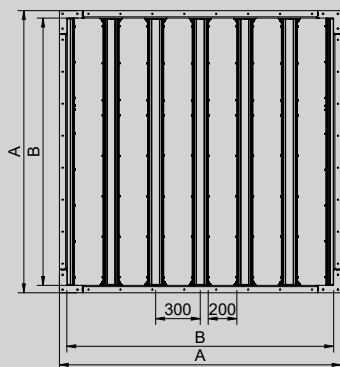
Materials:

- Robust casing made of strong galvanized sheet steel, well suited for outdoor placement.
- Sound absorbent of mineral wool with enforced surface layer, withstands all normal wear and tear from clean air.

Accessories:

- Weather protection with protective grill. Prevents rain, birds etc. from entering the silencer's in- or outlet.
- Adapter with circular mounting flange. For connection of an axial fan, duct spigot or any other flanged product.

Tekniska data / Technical data



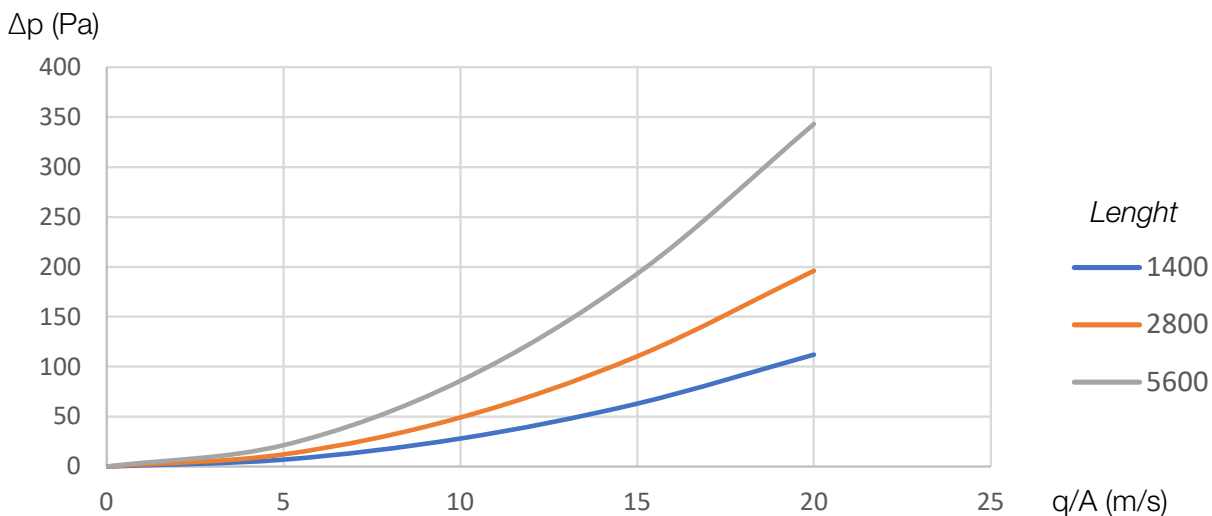
| Dimensioner ▪ Dimensions | | | | | | | |
|--------------------------|---------|---------|--|-------------------------------|--|---|----------------------------------|
| Storlek Size | A mm | B mm | Bruttoarea Gross area m ² | Antal bafflar No of baffle | Väderskydd Weather protection C (mm) | Ändhuv med dysa End cap with bellmouth C (mm) | Övergång Transition C (mm) |
| LDK 120 | 1300 | 1200 | 1.44 | 4 | 715 | 840 | 840 |
| LDK 150 | 1600 | 1500 | 2.25 | 5 | 835 | 840 | 840 |
| LDK 180 | 1900 | 1800 | 3.24 | 6 | 945 | 840 | 840 |
| LDK 210 | 2200 | 2100 | 4.41 | 7 | 1045 | 840 | 840 |
| LDK 240 | 2500 | 2400 | 5.76 | 8 | 1125 | 840 | 840 |

| Insatsdämpning [dB] i oktavband ▪ Insertion loss [dB] in octave bands | | | | | | | | |
|---|-------|--------|--------|--------|---------|---------|---------|---------|
| Total längd Total length | 63 Hz | 125 Hz | 250 Hz | 500 Hz | 1000 Hz | 2000 Hz | 4000 Hz | 8000 Hz |
| 1400mm | 0 | -3 | -7 | -18 | -27 | -20 | -12 | -9 |
| 2800mm | -1 | -4 | -15 | -31 | -35 | -35 | -23 | -17 |
| 5600mm | -3 | -7 | -25 | -36 | -39 | -44 | -35 | -26 |

Strömningsmotstånd / Flow resistance:

Ljuddämpparens strömningsmotstånd är beroende av lufthastigheten, se diagram och exempel nedan.

The silencer's flow resistance depends on the air speed, see diagram and example below.

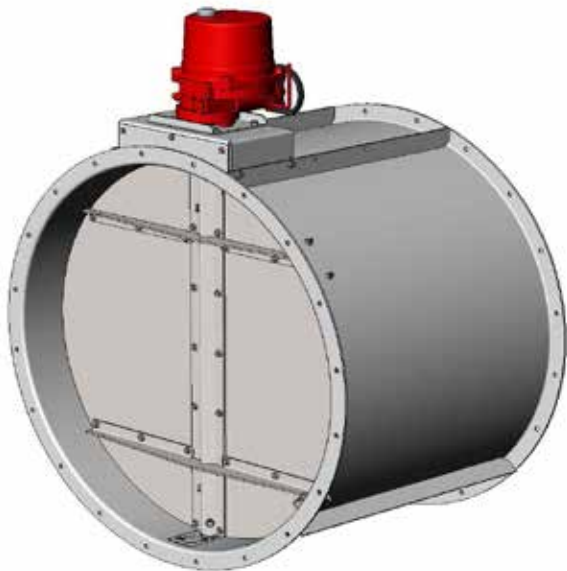


Exempel:

En LDK 150 med längd 2800mm genomströmmas av $22.5 \text{ m}^3/\text{s}$. Bruttoarean för LDK 150 är 2.25 m^2 (se tabell). Lufthastigheten är $22.5/2.25 = 10 \text{ m/s}$. Strömningsmotståndet utläses till 50Pa.

Example:

An LDK 150 with length 2800mm is flowed through by $22.5 \text{ m}^3/\text{s}$. The gross area for LDK 150 is 2.25 m^2 (see table). The air speed is $22.5/2.25 = 10 \text{ m/s}$. The flow resistance is read out to 50Pa.



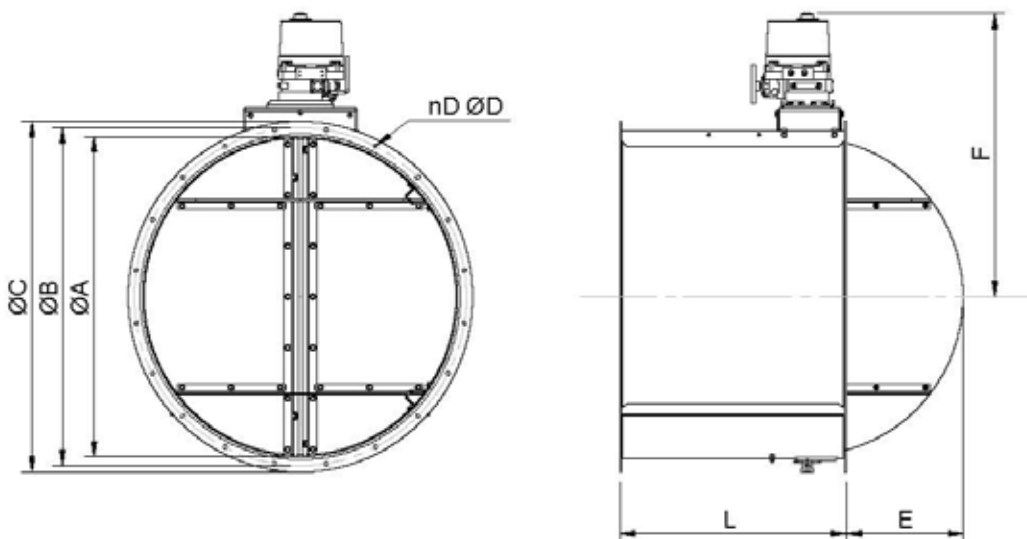
TS

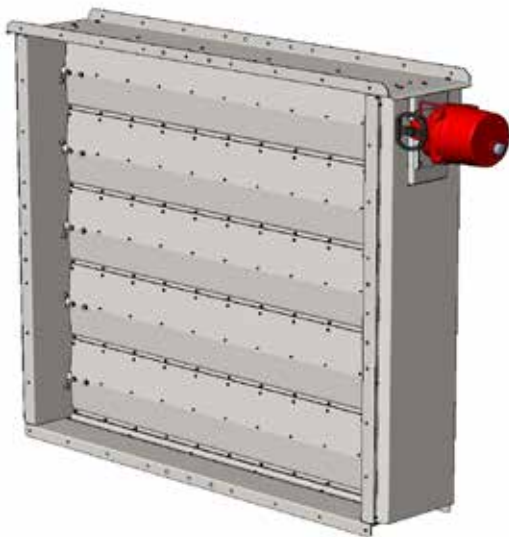
Trottelspjäll *Throttle damper*

Akrons motordrivna trottelspjäll för medelstora fläktar är anpassad för de tuffaste applikationerna, t ex gruvor och tunnlar.

Akron's motor driven throttle damper for medium-sized fans are designed for the toughest applications, e.g mines and tunnels.

| Storlek Size | Dimensioner ▪ Dimensions | | | | | | | | | | |
|-----------------|--------------------------|----------|----------|----|----------|---------|---------|---------|-----------------------------|----------------------------|---------|
| | ØA mm | ØB mm | ØC mm | nD | ØD mm | L mm | E mm | F mm | Motor storlek Motor Size | Vridmoment Torque Nm | m kg |
| 080 | 800 | 860 | 920 | 16 | 15 | 650 | 245 | 815 | 50 | 490 | 169 |
| 090 | 900 | 970 | 1020 | 16 | 15 | 650 | 295 | 883 | 50 | 490 | 190 |
| 100 | 1000 | 1070 | 1120 | 16 | 15 | 650 | 345 | 986 | 100 | 980 | 214 |
| 112 | 1120 | 1190 | 1240 | 16 | 15 | 900 | 405 | 1036 | 100 | 980 | 282 |
| 125 | 1250 | 1320 | 1370 | 20 | 15 | 900 | 470 | 1112 | 100 | 980 | 311 |
| 140 | 1400 | 1470 | 1520 | 20 | 15 | 900 | 545 | 1178 | 100 | 980 | 346 |





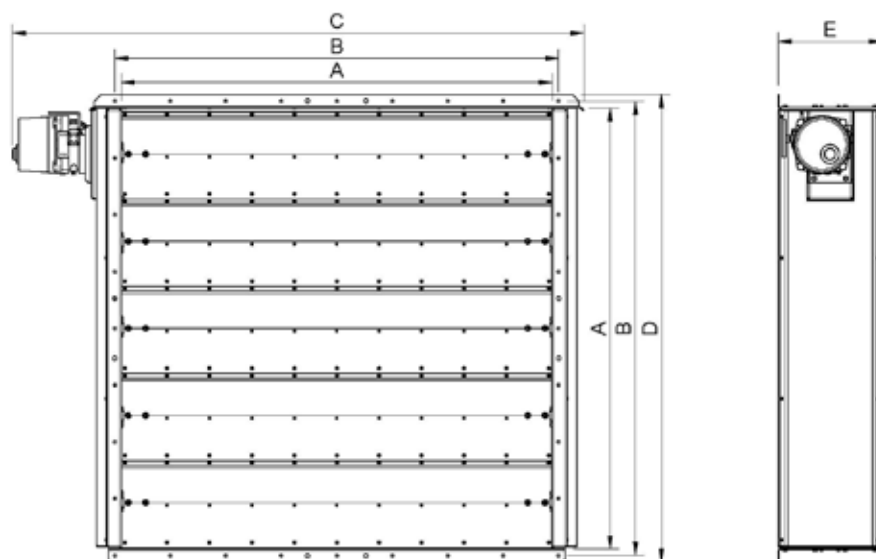
JS

Jalusispjäll *Damper*

Akrons motordrivna jalusispjäll för stora fläktar är anpassad för de tuffaste applikationerna, t ex gruvor och tunnlar.

Akron's motor driven damper for large fans are designed for the toughest applications, e g mines and tunnels.

| Storlek <i>Size</i> | Dimensioner ▪ <i>Dimensions</i> | | | | | | | Vridmoment <i>Torque</i> Nm | m kg |
|------------------------|---------------------------------|---------|---------|---------|---------|---|------------------------------------|-----------------------------------|---------|
| | A mm | B mm | C mm | D mm | E mm | n | Motor storlek <i>Motor Size</i> | | |
| 160 | 1600 | 1660 | 2226 | 1720 | 480 | 4 | 100 | 980 | 330 |
| 180 | 1800 | 1860 | 2426 | 1920 | 480 | 4 | 100 | 980 | 410 |
| 200 | 2000 | 2060 | 2626 | 2120 | 480 | 5 | 100 | 980 | 490 |





FS

FSL

Fjärilsspjäll *Butterfly dampers*

Akrons fjärilsspjäll finns i två utföranden; FSL för de flesta vanliga fall och förstärkta FS konstruerad för de tuffaste applikationerna, t ex gruvor och tunnlar.

Båda typerna finns med justerbart fjädermotstånd där trycket från fläkten öppnar spjället. FS finns dessutom med motordrift. När spjället är öppet hålls tryckförlusterna på minimal nivå genom att de två axlarna, vari spjällbladen är fästa, är placerade efter varandra i strömningsriktningen och att spjällbladens infästning i axlarna är aerodynamiskt utformade.

Akron's butterfly dampers are available in two versions; FSL for most ordinary cases, and the reinforced FS designed for the toughest applications, e g mines and tunnels.

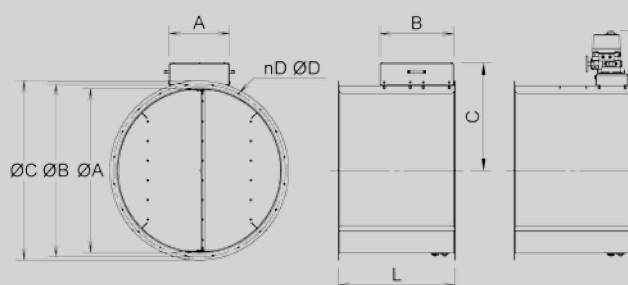
Both types are available with adjustable spring resistance where the pressure of the fan opens the damper. FS can also be motor operated. When the damper is open, pressure losses are kept to a minimum by placing the two shafts, onto which the damper vanes are attached, inline in the flow direction and by fixing the vanes to the shafts in an aero dynamical manner.

FS/FSL fjärilsspjäll ▪ FS/FSL butterfly damper

| Storlek <i>Size</i> | ØA mm | ØB mm | ØC mm | nD | ØD mm | A mm | B mm | C mm | Cm mm | L mm | mF* kg | mM* kg |
|------------------------|----------|----------|----------|----|----------|---------|---------|---------|----------|---------|-----------|-----------|
| 080 | 800 | 860 | 920 | 16 | 14,5 | 461 | 564 | 597 | - | 650 | 150 | - |
| 090 | 900 | 970 | 1020 | 16 | 14,5 | 461 | 564 | 647 | - | 650 | 166 | - |
| 100 | 1000 | 1070 | 1120 | 16 | 14,5 | 461 | 564 | 697 | 941 | 650 | 182 | 202 |
| 112 | 1120 | 1190 | 1240 | 20 | 14,5 | 461 | 564 | 757 | 1001 | 900 | 249 | 269 |
| 125 | 1250 | 1320 | 1370 | 20 | 14,5 | 461 | 564 | 822 | 1066 | 900 | 275 | 295 |
| 140 | 1400 | 1470 | 1520 | 20 | 14,5 | 461 | 564 | 897 | 1141 | 900 | 307 | 337 |
| 160 | 1600 | 1680 | 1720 | 24 | 18,5 | 461 | 564 | 997 | 1241 | 960 | 366 | 396 |
| 180 | 1800 | 1880 | 1920 | 24 | 18,5 | 461 | 564 | 1097 | 1341 | 1150 | 489 | 519 |

*) Vikt mF = fjäderbelastat spjäll, mM = motordrivet spjäll.

*) Weight mF = damper with spring actuation, mM = damper with motor.



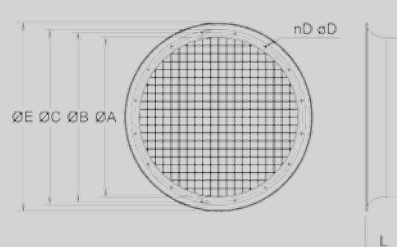


Dysa med beröringsskydd Nozzle with wire guard

Chassit på Akrons fläktar AK, AKD och EVS har fläns i båda ändar. Flänsen är inte lämpad som inlopp; dels skapas tryckförluster vid inströmningen i chassit och dels försämras fläkthjulets verkningsgrad: En inloppsdyxa med beröringsskydd bör monteras, dessa tillhandahålls i galvaniserat och lackerat utförande.

The casings for Akron fans AK, AKD and EVS have flanges at both ends. The flange is not suitable as air inlet, firstly it causes pressure losses at the influx to the casing and secondly it deteriorates the impeller efficiency: An inlet nozzle with wire guard should be fitted; these are available in galvanized and painted design.

| Dysa med beröringsskydd ▪ Nozzle with wire guard | | | | | | | | |
|--|----------|----------|----------|----------|----|----------|---------|---------|
| Storlek Size | ØA mm | ØB mm | ØC mm | ØE mm | nD | ØD mm | L mm | m kg |
| 050 | 500 | 560 | 600 | 675 | 12 | 12 | 150 | 8 |
| 056 | 560 | 620 | 660 | 735 | 12 | 12 | 150 | 9 |
| 060 | 600 | 656 | 700 | 775 | 8 | 12 | 150 | 10 |
| 063 | 630 | 690 | 730 | 805 | 12 | 12 | 150 | 10 |
| 071 | 710 | 770 | 810 | 900 | 16 | 12 | 225 | 14 |
| 080 | 800 | 860 | 900 | 990 | 16 | 12 | 225 | 16 |
| 090 | 900 | 970 | 1000 | 1090 | 16 | 14,5 | 225 | 25 |
| 100 | 1000 | 1070 | 1100 | 1190 | 16 | 14,5 | 225 | 28 |
| 112 | 1120 | 1190 | 1220 | 1310 | 20 | 14,5 | 225 | 32 |
| 125 | 1250 | 1320 | 1350 | 1440 | 20 | 14,5 | 225 | 36 |
| 140 | 1400 | 1470 | 1500 | 1635 | 20 | 14,5 | 300 | 52 |
| 160 | 1600 | 1680 | 1720 | 1835 | 24 | 18,5 | 300 | 60 |
| 180 | 1800 | 1880 | 1920 | 2035 | 24 | 18,5 | 300 | 68 |



Tillbehör för kanalfläktar

Accessories for duct mount fan units

Akron strävar efter att kunna leverera en så komplet och optimal fläktlösning som möjligt till varje projekt. Vi lagerför ett stort antal olika tillbehör men utvecklar också speciellösningar om ytterligare behov uppstår. Nedan visas ett urval av de vanligare tillbehören.

Akron strives to be able to deliver as complete and optimised fan solutions as possible for each given project. We stock a wide array of different accessories but we also design specific solutions should the need arise. An assortment of common accessories are shown below.



Diffusor

Diffusorn omvandlar rörelseenergi till statisk energi, dvs till tryck och man når önskad tryckuppsättning med lägre energiåtgång. Öppningsvinkeln bör vara liten och hastighetssänkningen stor, en bra diffusor blir därför vanligen lång. Akrons korta diffusor med insats löser detta problem på ett elegant sätt. Akrons diffusorer är vanligen varmgalvade och optimeras och tillverkas enligt specifikation för det aktuella projektet.

Diffuser

A diffuser converts kinetic energy into static, i e into pressure; the desired pressure development is reached with lower energy consumption. The opening angle should be small and the reduction in speed large, a good diffuser is therefore usually long. Akron's short diffuser with conical insert solves this problem in an elegant manner. Akron diffusers are normally hot dip galvanized and optimised and dimensioned for each specific project.



Ledskeneapparat

Fläktar typ AB och AK med ställbara fläktjhul PFJ1 kan ges extra trycktillskott med hjälp av ledskenor på fläktchassits utlopp. Ledskenorna är galvaniserade och sitter infästa i en kort kanal. Ledskenorna riktar upp luften till axiell riktning och omvandlar rörelseenergi till statisk energi, dvs till tryck. Man når önskad tryckuppsättning med lägre energiåtgång samtidigt som tryckförlusterna nedströms fläkten minskar, med ytterligare energibesparing som följd.

Guide vane assembly

Fan units type AB and AK with adjustable PFJ1 impellers may be given an additional pressure development using guide vanes on the fan outlet. The guide vanes are galvanized and mounted in a short duct. Guide vanes straighten up the airflow to axial direction and converts kinetic energy into static, i e into pressure. The desired pressure increase is reached with lower energy consumption while the pressure losses downstream of the fan are reduced, with further energy savings as a result.

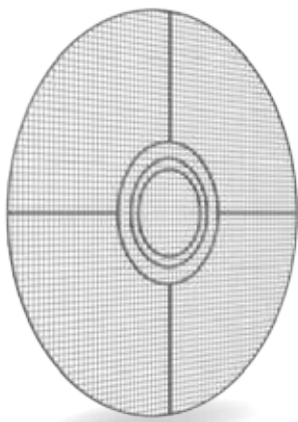


Kvadratisk monteringsram

En kraftig galvaniserad konstruktion för montage av fläkt i vägg eller montage av flera fläktar parallellt. Infästningspunkter finns runt om på ytter- och framsida. Ramen bär hela tyngden av AB- och AK-fläktar. AKD och EVS behöver normalt ytterligare stöd. Mått etc visas i avsnitt AF/AFR.

Square mounting frame

A strong galvanized construction for mounting the fan in a wall or mounting of multiple fans in parallel. Fixing points are placed around the outer and front sides. The frame carries the full weight of AB and AK fan units. AKD and EVS normally need further support. Dimensions etc are shown in section AF/AFR.



Beröringsskydd

Beröringsskydd för Akrons fläktar AB, AK, AKD, EVS och ACR är alltid tillbehör och måste beställas separat om fläkten skall installeras på ett sätt som gör de rörliga delarna åtkomliga. I AF, AFR och PFV ingår ett skydd monterat mellan motor och fläkthjul, eventuellt ytterligare skydd till dessa modeller beställs separat. Akrons beröringsskydd är normalt tillverkade i gulkromaterat stål och finns tillgängliga för samtliga fläktstorlekar.

Wire guard

Wire guards for Akron's fans AB, AK, AKD, EVS and ACR are always accessories and must be ordered separately if the fan is installed in a way that makes the movable parts accessible. In the AF, AFR and PFV units a wire guard is mounted between the motor and impeller, any additional protection to these models is ordered separately. Akron wire guards are usually made of chromed steel and are available for all fan sizes.



Flänsar och kanalanslutningar

Flänsar för anslutning av fläkt mot t ex kanal eller vägg tillhandahålls i ett flertal utföranden för samtliga fläktstorlekar.

Spiroanslutning för anslutning av fläkt mot spirokanal tillverkas i galvad stålplåt och kläms fast mot fläktens utlopp med hjälp av en motfläns, se ovan. Anslutningen är gummitätad och har nippelmått. Akron tillhandahåller även kraftiga varmgalvaniserade anslutningar för montage av fläkt mot andra cirkulära kanaler.

Flanges and duct connections

Flanges for connection of fans to e.g. ducts or walls are provided in several versions for all fan sizes.

Adapters for connecting fans to spiral ductings are manufactured in galvanized steel. The adapter is clamped on to the fan's outlet by using a flange, see above. The adapter is rubber sealed and has male dimensions. Akron also provides heavy duty hot-dip galvanized adapters for mounting fans to other types of circular ductings.



Motorer för fläktdrift Motors for fans

Akron har över 50 års erfarenhet av motorer för fläktdrift. De vanligaste motortyperna finns alltid i lager. Normalt används 3-fas asynkron-motorer med isolationsklass F och skyddsform IP 55, avsedda för drift i temperaturer upp till 40°C.

Mindre motorer, t.o.m. 4 kW, är normalt lindade för D230/Y400V. Större motorer, fr.o.m. 5,5 kW är i utförande D400/Y690V och därmed möjliga att Y/D starta i 400V nät.

Normalt är motorer i storlek upp till 225 försedda med permanentsmorda spårkullager från SKF. Storlekarna 250 och större har eftersmörjning som standard. Variationer mellan fabrikat förekommer. Standardlagren är avsedda för drift i omgivningstemperatur -10 - +50C.

Speciella krav

Akron har stora möjligheter att anpassa fläktar efter särskilda önskemål och behov som t ex större temperaturspann, avvikande huvudspänningar eller explosionssäker klassning.

Drift i fuktig miljö

Stilleståndsvärme och / eller dräneringshål (IP44) rekommenderas på motorer som utsätts för stora temperaturväxlingar vid hög relativ fuktighet.

Drift vid avvikande temperatur och densitet

Motorer med isolationsklass F är avsedda för drift vid märkeffekt i omgivningstemperatur 40°C. Tabellerna nedan visar tillåtet procentuellt effektuttag vid olika omgivningstemperaturer respektive höjd över havet. Normalt görs inte korrektioner för intervallet 0-40°C.

Motorer avsedda för drift i avvikande temperatur eller densitet förses på begäran med kompletterande märkskytt som visar tillåten effekt respektive ström för aktuellt förhållande.

Akron has more than 50 years experience of motors for fan drive. Common models are always kept in stock. Normally 3-phase asynchronous motors with insulation class F and protection form IP 55 are used in temperatures up to 40°C.

Smaller motors, up to 4 kW, are normally wound for Δ230/Y400V. Larger motors, 5,5kW and up are for Δ400Y690V and hence possible to start with star/delta starters in the 400V net.

Motors of size 225 and smaller are normally equipped with sealed bearings from SKF. Motors of sizes 250 and up have on line greasing as standard. Variations between makes occur. Standard bearings are for use in ambient temperatures between -10 and +50°C.

Special demands

When desired or necessary Akron can specify fans to accommodate special requirements, e g temperatures outside normal working conditions, deviating main voltage or explosion proof classification.

Usage in humid environment

Space heaters and / or drain holes (IP44) are recommended on motors running in high humidity or considerable temperature changes.

Deviating temperature and density

Motors with insulation class F are designed for a ambient temperature 40°C. The tables below show maximum allowed output at different ambient temperatures and altitudes. Normally, no corrections are made for temperatures between 0-40°C.

Motors for usage in deviating temperature or density are provided with an additional motor plate. The plate show allowed current and output for the specific conditions.

| Tillåtet effektuttag vid avvikande temperatur och höjd över havet ▪ Permissible power output at different temperatures and altitudes | | | | | | | | | | | | | |
|--|------|------|------|------|------|------|------|-----|-----|----|----|----|---|
| Temperatur Temperature | -40 | -30 | -20 | -10 | 0 | 10 | 20 | 30 | 40 | 50 | 60 | 65 | °C |
| Effektuttag Power output | 127 | 120 | 115 | 110 | 105 | 104 | 103 | 101 | 100 | 93 | 80 | 73 | % av nominell effekt % of nominal output |
| Höjd över havet Altitude | 1000 | 1500 | 2000 | 2500 | 3000 | 3500 | 4000 | | | | | | m |
| Effektuttag Power output | 100 | 98 | 93 | 87 | 82 | 78 | 73 | | | | | | % av nominell effekt % of nominal output |

| Pnom (kW) | Poles | Speed (rpm) | Size | ~Amp (400V) | ~m (kg) | ~L (mm) |
|--------------|-------|----------------|------|----------------|------------|------------|
| 0,09 | 6 | 895 | 63 | 0,5 | 5,5 | 184 |
| | 8 | 660 | 71 | 0,6 | 7,5 | 208 |
| 0,12 | 4 | 1380 | 63 | 0,5 | 5,5 | 184 |
| | 8 | 660 | 71 | 0,7 | 7,5 | 208 |
| 0,18 | 4 | 1370 | 63 | 0,6 | 5,5 | 184 |
| | 6 | 910 | 71 | 0,8 | 7,5 | 208 |
| | 8 | 695 | 80 | 1,1 | 9,0 | 238 |
| 0,25 | 4 | 1400 | 71 | 0,8 | 7,5 | 208 |
| | 6 | 920 | 80* | 1,1 | 9,0 | 238 |
| | 8 | 640 | 80 | 1,5 | 9,0 | 238 |
| 0,37 | 2 | 2815 | 71 | 0,9 | 7,5 | 208 |
| | 4 | 1410 | 71 | 1,1 | 7,5 | 208 |
| | 6 | 920 | 80 | 1,1 | 9,0 | 238 |
| | 8 | 700 | 90S | 1,6 | 13 | 272 |
| 0,55 | 2 | 2820 | 71 | 1,2 | 7,5 | 208 |
| | 4 | 1400 | 80 | 1,6 | 9,0 | 238 |
| | 6 | 920 | 80 | 1,8 | 9,0 | 238 |
| | 8 | 680 | 90L | 2,4 | 15 | 272 |
| 0,75 | 2 | 2820 | 80 | 1,6 | 9,0 | 238 |
| | 4 | 1390 | 80 | 1,8 | 9,0 | 238 |
| | 6 | 940 | 90S | 2,1 | 13 | 272 |
| | 8 | 690 | 100L | 2,9 | 27 | 308 |
| 1,1 | 2 | 2870 | 80 | 2,5 | 9,0 | 238 |
| | 4 | 1400 | 90S | 2,0 | 13 | 272 |
| | 6 | 935 | 90L | 3,0 | 15 | 272 |
| | 8 | 690 | 100L | 3,4 | 27 | 308 |
| 1,5 | 2 | 2840 | 90S | 3,1 | 13 | 272 |
| | 4 | 1435 | 90L | 3,8 | 15 | 272 |
| | 6 | 940 | 100L | 4,2 | 27 | 308 |
| | 8 | 700 | 112M | 4,1 | 33 | 322 |
| 2,2 | 2 | 2850 | 90L | 4,8 | 15 | 272 |
| | 4 | 1425 | 100L | 4,8 | 27 | 308 |
| | 6 | 945 | 112M | 5,9 | 33 | 322 |
| | 8 | 710 | 132S | 5,9 | 54 | 371 |
| 3,0 | 2 | 2880 | 100L | 5,6 | 27 | 308 |
| | 4 | 1430 | 100L | 7,1 | 27 | 308 |
| | 6 | 955 | 132S | 7,5 | 54 | 371 |
| | 8 | 700 | 132M | 8,0 | 54 | 371 |
| 4,0 | 2 | 2850 | 112M | 7,6 | 33 | 322 |
| | 4 | 1430 | 112M | 8,0 | 33 | 322 |
| | 6 | 955 | 132M | 9,9 | 54 | 371 |
| | 8 | 710 | 160M | 9,6 | 121 | 495 |

L = Längd utan axel men med kylfåtkåpa. Längdmåttet kan variera, ±5 mm för storlek 63-132, ±10 mm för storlek 160-315. För storlek 160 och uppåt visas längdmåttet för utförande B3.

| Pnom (kW) | Poles | Speed (rpm) | Size | ~Amp (400V) | ~m (kg) | ~L (mm) |
|--------------|-------|----------------|-------|----------------|------------|------------|
| 5,5 | 2 | 2880 | 112M | 10,2 | 31 | 322 |
| | 2 | 2885 | 132S | 10,3 | 54 | 371 |
| | 4 | 1450 | 132S | 11,6 | 54 | 371 |
| | 6 | 975 | 132M | 11,0 | 54 | 371 |
| 7,5 | 8 | 710 | 160M | 12,9 | 121 | 495 |
| | 2 | 2885 | 132S | 13,8 | 54 | 371 |
| | 4 | 1450 | 132M | 15,3 | 54 | 371 |
| | 6 | 975 | 160M | 15,0 | 121 | 495 |
| 11,0 | 8 | 710 | 160L | 18,0 | 143 | 540 |
| | 2 | 2920 | 132M | 19,8 | 78 | 371 |
| | 2 | 2920 | 160M | 20 | 121 | 495 |
| | 4 | 1460 | 160M | 23 | 121 | 495 |
| 15,0 | 6 | 975 | 160L | 23 | 143 | 540 |
| | 2 | 2925 | 160M | 27 | 121 | 495 |
| | 4 | 1465 | 160L | 28 | 143 | 540 |
| | 6 | 975 | 180L | 30 | 204 | 605 |
| 18,5 | 2 | 2920 | 160L | 34 | 143 | 540 |
| | 4 | 1475 | 180M | 35 | 174 | 567 |
| | 6 | 975 | 200L | 35 | 254 | 680 |
| | 2 | 2930 | 180M | 41 | 174 | 567 |
| 22,0 | 4 | 1470 | 180L | 40 | 204 | 605 |
| | 6 | 975 | 200L | 42 | 254 | 680 |
| | 2 | 2950 | 200L | 54 | 254 | 680 |
| 30,0 | 4 | 1480 | 200L | 56 | 254 | 680 |
| | 6 | 980 | 225M | 56 | 380 | 725 |
| | 2 | 2950 | 200L | 66 | 254 | 680 |
| 37,0 | 4 | 1470 | 225S | 73 | 350 | 700 |
| | 6 | 980 | 250MX | 69 | 500 | 830 |
| | 2 | 2965 | 225M | 79 | 380 | 715 |
| 45,0 | 4 | 1475 | 225M | 84 | 380 | 725 |
| | 6 | 985 | 280S | 82 | 620 | 895 |
| | 2 | 2955 | 250MX | 91 | 500 | 830 |
| 55,0 | 4 | 1480 | 250MX | 101 | 500 | 830 |
| | 6 | 980 | 280M | 104 | 700 | 945 |
| | 2 | 2960 | 280M | 128 | 700 | 945 |
| 75,0 | 4 | 1490 | 280S | 131 | 620 | 895 |
| | 2 | 2975 | 280M | 150 | 700 | 945 |
| 90,0 | 4 | 1480 | 280M | 157 | 700 | 945 |
| | 2 | 2975 | 315S | 187 | 900 | 1010 |
| 110,0 | 4 | 1485 | 315M | 224 | 950 | 1060 |
| | 2 | 2988 | 315L | 270 | 1200 | 1125 |
| 132,0 | 4 | 1488 | 315LX | 337 | 1200 | 1220 |
| | 2 | 2988 | 315LX | 337 | 1200 | 1220 |

L = Length excl shaft but inclusive of cooling fan cover. The length can vary, ±5 mm for sizes 63-132, ±10 mm for sizes 160-315. Length for B3 version is shown for sizes 160 and upwards.

| Motordata ▪ Motor data | | | | | | | | | | | | | | | | |
|--------------------------------|-----------|-------|----|-------|-----|----------------------|-----|-------|-----|-----|-----|-----|-----|---------|-------|----|
| Motorstorlek Frame size | 63 | 71 | 80 | 90 | 100 | 112 | 132 | 160 | 180 | 200 | 225 | 250 | 280 | 315 S/M | 315 L | mm |
| | 2p | 4p/6p | 2p | 4p/6p | 2p | 4p/6p | 2p | 4p/6p | 2p | 4p | 2p | 4p | 2p | 4p | mm | |
| Axeldiameter Shaft diameter | 11 | 14 | 19 | 24 | 28 | 28 | 38 | 42 | 48 | 55 | 55 | 60 | 60 | 65 | 65 | mm |
| Axellängd Shaft length | 23 | 30 | 40 | 50 | 60 | 60 | 80 | 110 | 110 | 110 | 110 | 140 | 140 | 140 | 140 | mm |
| Material | Aluminium | | | | | Gjutjärn ▪ Cast iron | | | | | | | | | | |

AKRON är Sveriges ledande tillverkare av tunga fläktlösningar för alla typer av applikationer inom industri, lantbruk, torklösningar och gruv- och tunnelventilation. Vi har ett starkt fokus på egen forskning och utveckling, vilket ger oss oöverträffade möjligheter att leverera kundanpassade lösningar optimerade för specifika behov.

Vårt huvudkontor och vår tillverkning finns i Järpås. Våra produkter är i drift över hela världen.

AKRON is Sweden's leading manufacturer of heavy fan solutions for all types of industrial, drying, grain processing and mining and tunneling applications. Our strong commitment to internal research and development give us unparalleled possibilities to deliver customer-focused solutions optimised for specific needs.

Our head office and manufacturing plant is located in Järpås, Sweden. Our products are used all over the world.

akron.se

